

# НУБІП України

МАГІСТЕРСЬКА РОБОТА

02.08 – МР.051 «С» 2021.01.14 014 ПЗ

Саюк Ілля Андрійович

2021

НУБІП України

НУБІП України

НУБІП України

НУБІП України

НАЦІОНАЛЬНИЙ ХНІВЕРСИТЕТ БІОРЕСУРСІВ  
І НЕРІДОКОРИСТУВАННЯ УКРАЇНИ

ННІ ЕНЕРГЕТИКИ, АВТОМАТИКИ І Енергозбереження

УДК 621.3.631.24(477.81)

ПОГОДЖЕНО

Директор ННІ енергетики,  
автоматики і енергозбереження

Каплун В.В.

(підпис)

2021 р.

ДОПУСКАЄТЬСЯ ДО ЗАХИСТУ

Завідувач кафедри  
електротехніки, електромеханіки та  
електротехнологій

Жильцов А.В.

(підпис)

2021 р.

НУБІП України

МАГІСТЕРСЬКА РОБОТА

на тему „РОЗРОБКА СИСТЕМИ ЗНІЗАРАЖУЮЧОЇ ОБРОБКИ  
КОРМІВ НА ПТАХОФЕРМІ”

Спеціальність 141 - Електроенергетика, електротехніка та електромеханіка  
Освітня програма Електроенергетика, електротехніка та електромеханіка  
Блок дисциплін Світлотехніка та джерела світла

Орієнтація освітньої програми освітньо-професійна

Керівник магістерської роботи  
к.т.н., доцент  
(науковий ступінь та вчене звання)

Усенко С.М.

(ПІБ)

Саюк І.А.

(ПІБ)

Виконав

(підпис)

Консультант  
к.т.н., доцент  
(науковий ступінь та вчене звання)

Коробський В.В.

(ПІБ)

Окушко О.В.

(ПІБ)

Консультант  
к.т.н., доцент  
(науковий ступінь та вчене звання)

(підпис)

НУБІП України

**НАЦІОНАЛЬНИЙ УНІВЕРСИТЕТ БЮРЕСУРСІВ  
ПРИРОДОКОРИСТУВАННЯ УКРАЇНИ**

**НІІ ЕНЕРГЕТИКИ, АВТОМАТИКИ І ЕНЕРГОЗБЕРЕЖЕННЯ**

**ЗАТВЕРДЖУЮ**

**Завідувач кафедри  
електротехніки, електромеханіки та  
електротехнологій**

**д.т.н. проф. Жильцов А.В.**

**2021 р.**

**НУБіП**

**д.т.н. проф.**

**України**

**(підпис)**

**ДО ВИКОНАННЯ МАГІСТЕРСЬКОЇ РОБОТИ СТУДЕНТУ**

**Саюку Іллі Андрійовичу**

**Спеціальність 141 – електроенергетика, електротехніка та електромеханіка**

**Освітня програма електроенергетика, електротехніка та електромеханіка**

**Блок дисциплін Свілотехніка та джерела світла**

**Орієнтація освітньої програми освітньо-професійна**

**Тема магістерської роботи: „Розробка системи знезаражуючої обробки кормів на  
птахофермі”**

**затверджена наказом ректора НУБіП України від 14.01.2020 № 051 "С"**

**Термін подання завершеної роботи на кафедру 15. 11. 2021**

**Вихідні дані до магістерської роботи**

**«Правила устроюства електроустановок»; «Правила технічної експлуатації  
електроустановок споживачів»; «Правила безпеки експлуатації електроустановок  
споживачів».**

**Перелік питань, що підлягають дослідженню:**

- 1. Провести аналіз виробничо-господарської діяльності та стаду електрифікації  
птицефабрики.**
- 2. Виконати проектування електрифікації та автоматизації технологічних процесів  
у птичнику.**
- 3. Розробити систему знезараження кормів.**
- 4. Дослідити ефективність озонування кормів.**
- 5. Виконати розрахунок елементів системи електропостачання господарства.**
- 6. Обґрунтувати заходи з монтажу та налагодження електрообладнання у  
господарстві.**
- 7. Розробити заходи з охорони праці.**
- 8. Провести техніко-економічне обґрунтування системи очистки води та кормів**

**Дата видачі завдання 02.02.2021 р.**

**Керівник магістерської роботи**

**Завдання прийняла до виконання**

**Усенко С.М.**

**Саюк І.А.**

# НУБІО України

Магістерська робота: 109 с., 25 рис., 22 табл., 22 джерел.

## Реферат

**Мета роботи.** Обґрунтування систем електрообладнання, а також засобів автоматичного керування на птахофермі, який забезпечить підвищення ефективності технологічних процесів, якість продукції та зменшить її собівартість.

**Об'єкт дослідження.** Технологічні процеси на птахофермі.

**Предмет дослідження.** Технічні характеристики та закономірності системи електрообладнання і засобів автоматичного керування з урахуванням їх призначення на птахофермі.

**Методи дослідження.** При розв'язанні задач, висвітлених у магістерській роботі, запропоновано застосування методів інтегрування аналітично заданих функцій, дослідження й оптимізації електрофізичних процесів, характеристика електрофізичних показників у деяких технологічних процесах. Для обчислення різних електрических показників використовувалися математичні й фізичні моделі. Дослідницькі випробування в лабораторних умовах проводилися на промислових установках.

Дослідження проводились за сучасними методиками. Обробка результатів виконувалась на ПК в середовищі математичного програмного забезпечення "Mathcad 15.1". Застосування цих методів дало цілком надійні та точні результати.

В магістерській роботі представлено вибір технологічного обладнання для приготування та розподілу кормів, озноової обробки зерна, напування тварин, видалення гною та підтримка необхідних параметрів мікроклімату, освітлення .

Розраховано електроприводи, обрані відповідні електродвигуни. Розраховано та проведено вибір пристройів контролю та захисту, перевірено їх відповідності.

Проведено розрахунки освітлення на птахофабриці, основне приміщення розраховано за методом світлового потоку, а допоміжні приміщення - методом питомої потужності. Підібрано провода, кабелі та світлові прилади.

Розроблено та досліджено системи керування режимами освітлення.

Проведено розрахунки ліній електропередачі 0,38 кВ. Розраховано потужність підстанції 10 / 0,4 кВ.

Детально розроблено пристрой для зараження зерна.

Проаналізовано питання безпеки праці та використання електроприладів у пташникі. Проводяться техніко-економічні розрахунки. Розраховано річне споживання електроенергії в системі.

#### Положення що виносяться на захист:

- Вибір технологічного обладнання різних технологічних процесів на птахофермі;
- Розрахунок та вибір електротехнічного обладнання різних технологічних процесів на птахофермі;
- Розрахунок доцільності використання пристрійв знезараження зерна;
- Розрахунок електроосвітлення і вибір освітлювальних установок;
- Розрахунок електричних навантажень, вибір джерел живлення і зовнішніх електрических мереж;
- Організація обліку та раціонального використання електроенергії;
- Заходи з охорони праці;
- Заходи з пожежної безпеки.

# НУВІП України

## ЗМІСТ

Перелік умовних позначень, символів, одиниць, скорочень, термінів  
ВСТУП

РОЗДІЛ 1. АНАЛІЗ ВИРОБНИЧО ГОСПОДАРСЬКОЇ ДІЯЛЬНОСТІ  
ГОСПОДАРСТВА

1.1. Виробничо-господарська характеристика господарства.

1.2 Стан електрифікації птахоферми

1.3 Обґрунтування та вибір технологічного процесу

1.4 Обґрунтування та вибір технологічного обладнання.

## РОЗДІЛ 2. ЕЛЕКТРОТЕХНІЧНА ЧАСТИНА

2.1. Розрахунок водопостачання пташника.

2.2 Розрахунок вентиляції пташника.

2.3. Розрахунок опалення пташника.

2.4. Розрахунок освітлення пташника

2.5. Опромінення птиці

2.6 Розрахунок і вибір електресилового обладнання.

## РОЗДІЛ 3 РОЗРОБКА СИСТЕМИ УПРАВЛІННЯ РЕЖИМАМИ ОСВІТЛЕННЯ

3.1 Вплив режимів освітлення на стан і продуктивність птиці

3.2. Аналіз засобів автоматизації процесу керування освітлювальними

установками в пташниках

3.3 Розробка пристрою автоматичного керування освітлювальними

установками у виробничому приміщенні пташника

## РОЗДІЛ 4. РОЗРОБКА ТЕХНОЛОГІЧНОГО ПРОЦЕСУ ЗНЕЗАРАЖЕННЯ КОРМІВ

4.1. Аналіз стану сучасних технологій знезаражуючої обробки.

4.2. Озонування кормів, як ефективний спосіб підвищення харчової

цінності.

4.3 Розробка технології знезараження кормів

## РОЗДІЛ 5 ЕЛЕКТРОПОСТАЧАННЯ ПТАХОФЕРМИ

5.1. Розрахунок електричних навантажень

5.2 Вибір джерела живлення

5.3. Перевірка захисної апаратури на спрацювання при однофазному або трифазному короткому замиканні.

# НУБІП України

РОЗДІЛ 6. ОБСЛУГОВУВАННЯ І РЕМОНТ ЕНЕРГЕТИЧНОГО  
ОБЛАДНАННЯ

6.1. Розрахунок об'єму робіт з обслуговування енергетичного обладнання.

6.2. Розрахунок річних трудозатрат на проведення ТО і ПР електротехнічного обладнання.

6.3. Планування технічного обслуговування та ремонту електрообладнання в літніку.

РОЗДІЛ 7. ЗАХОДИ З ОХОРОНИ ПРАЦІ

7.1. Аналіз стану безпеки праці в господарстві.

7.2. Організаційні та технічні заходи щодо усунення небезпечних та виробничих факторів.

7.3. Вибір індивідуальних заходів захисту.

7.4. Розрахунок завемлюючого пристрію.

7.5. Пожежна безпека.

РОЗДІЛ 8. ТЕХНІКО-ЕКОНОМІЧНА ОЦІНКА ІНЖЕНЕРНИХ РІШЕНЬ.

Висновки.

Список використаної літератури.

**Н**

**ПЕРЕЛІК УМОВНИХ ПОЗНАЧЕНЬ, СИМВОЛІВ, ОДИНИЦЬ,  
СКОРОЧЕНЬ І ТЕРМІНІВ**

**1**

А - Ампер;

В - Вольт;

Вт - Ват;

гр. - група;

грн. - гривень;

ел. двигун - електродвигун;

ККД - коефіцієнт корисної дії;

КЛ - кабельна лінія;

КТП - комплектна трансформаторна підстанція;

ЛЕП - лінії електропередач;

м. - метр;

м. - місто;

НКП - низьковольтний комплектний пристрій;

ПР - поточний ремонт;

р. - рік;

рис. - рисунок;

с. - секунда;

САК - система автоматичного керування;

табл. - таблиця;

ТО - технічне обслуговування;

ТП - трансформаторна підстанція;

у.о. - умовна одиниця;

ФГ - фермерське господарство;

ШІМ - широтно-імпульсний модулятор;

Я - ящик.

**1**

**1**

**1**

**1**

**Н**

**НУБІП України**

**НУБІП України**

# НУБІП України

## ВСТУП

На даному етапі розвитку агропромислового сектору відоувачається процес реформування. Організовуються багато різноманітних сільськогосподарських підприємств таких, як товариства з обмеженою відповідальністю, фермерські господарства, тощо.

Головною умовою розвитку сучасного сільськогосподарського виробництва є широке використання сучасних електротехнічних пристрій, систем автоматичного керування, встановлення надійного електропостачання, забезпечення агропромислових підприємств та комплексів найновітнішими досягненнями науково-технічного прогресу і передового досвіду.

**Мета роботи.** Обґрутування систем електрообладнання, а також засобів автоматичного керування на птахофермі, який забезпечить підвищення ефективності технологічних процесів, якість продукції та зменшить її собівартість.

**Об'єкт дослідження.** Технологічні процеси на птахофермі.

**Предмет дослідження.** Технічні характеристики та закономірності системи електрообладнання і засобів автоматичного керування з урахуванням їх призначення на птахофермі.

**Методи дослідження.** При розв'язанні задач, висвітлених у магістерській роботі, запропоновано застосування методів інтегрування аналітично заданих функцій, дослідження й оптимізації електрофізичних процесів, характеристика електрофізичних показників у деяких технологічних процесах. Для обчислення різних електрических показників використовувалися математичні й фізичні моделі. Дослідницькі випробування в лабораторних умовах проводилися на промислових установках.

Дослідження проводились за сучасними методиками. Обробка результатів виконувалась на ПК в середовищі математичного програмного забезпечення "Mathcad 15.1". Застосування цих методів дало піком надійні та точні результати.

# НУБІП України

# НУБІП України

## РОЗДІЛ 1. АНАЛІЗ ВИРОБНИЧО ГОСПОДАРСЬКОЇ ДІЯЛЬНОСТІ ГОСПОДАРСТВА

### 1.1. Виробничо-господарська характеристика господарства.

Господарство розміщене в зоні помірного континентального клімату.

Середній показник температури повітря становить літом  $24^{\circ}\text{C}$ , а зиму  $-13^{\circ}\text{C}$ , середня швидкість вітру для даної кліматичної зони  $9\text{ м/с}$ .

Таблиця 1.1

#### Використання земельних угідь на 01.01.2021 р.

Назва угідь	Площа, га
Загальна земельна площа	3250
Всього	2425
із них рілі	2235
Пасовища	220
осушених земель	25

Таблиця 1.2

#### Валовий збір і урожайністьожної культури

Назва культури	Площа, га	Валовий збір, ц/га	Урожайність, ц	Собівартість продукції, тис. грн..
Зернові і бобові (озимі і ярі)	735	12400	32,6	124
Озимі зернові	420	540	30	45
Ярі зернові	315	700	35	79
Кукурудза	85	4880	48,8	26,8
Кормові коренеплоди	65	49488	706	193
Багаторічні трави	195	10015		140

1.2 Стан електрифікації птахоферм.

# НУВІСТ України

Електропостачання підприємства забезпечується від підстанції 35/10 кВ по лінії 10 кВ довжиною 15 км.

Високовольтні лінії, змонтовані на залізобетонних опорах і виконані проводом СП-50, СП-70.

Стан ліній 35, 10 кВ задовільний.

На території господарства встановлено 5 трансформаторних підстанції загальна потужність яких складає 486 кВА.

Лінії 0,38 кВ змонтовані проводами марки СП-16, СП-25, СП-35 на залізобетонних опорах. Відстань між опорами складає 40 метрів. Висота підвісу проводів відповідає вимогам ПУС і знаходиться в задовільному технічному стані.

Освітлення на фермі, вулицях та інших об'єктах підприємства виконані світлодіодними світильниками.

Облік витрат електроенергії виконується лічильниками активної енергії. Лінії 0,38 кВ виконані із глухо заземленою нейтраллю. РНЕ проводи освітлювальних і силових мереж виконані проводами такого ж перерізу як і фазні.

Повторне заземлення лінії 0,38 кВ виконано відповідно з вимогами ПУС. Відстань між заземлювачами не перевищує 100м.

Для захисту будівель від влучання блискавки виконано захисний контур, який виготовлений із сітки та стержневих блискавковідводів.

Для керування та захисту електроприводів та іншого електрообладнання обрано пускачі, теплові реле, автоматичні вимикачі, рубильники, перемикачі, УЗО та інші апарати.

Стан електрифікації підприємства представлено в таблицях 1.3 та 1.4.

Таблиця 1.3

## Перелік електротехнічного обладнання підприємства

Назва	Кількість (шт)	Потужність
Загальна кількість ТП	5	486 кВА
Всього електростанцій	2	75 кВт
в т. ч.: пересувних	1	37,5 кВт
Електродвигуни	711	2275 кВт
Електроустановки, обслуговуючі виробничі процеси	32	424
Довжина мережі	18 км	

# НУБІП України

Показники спопживання електроенергії

Таблиця 1/4

Покази	Кільк. тис. кВт·год
Отримано електроенергії	1869
В тому числі в рамках ліміту	1230
Всього	1869
На виробничі потреби	1342
На освітлення і побутові потреби	211
Підприємства зв'язку, охорони, торгівлі, загального харчування	130
Іншими організаціями і підприємствами	166
Втрати електроенергії в мережах і трансформаторах	20

### 1.3 Обґрутування та вибір технологічного процесу.

Для 10000 голів з клітковим утриманням згідно технологічних норм необхідні розміри будівлі  $12 \times 48$  м. Відповідно на даний площині розміщується 3 трьохярусні кліткові батареї по 420 кліток КБК-Н-3, що дозволяє розмістити 10080 голів птиці.

Кліткова батарея КБК-Н-3 призначена для розміщення промислового стада курей-несучок у закритих приміщеннях із регульованим кліматом та може бути використана у всіх кліматичних зонах. Обладнання, яким комплектується батарея забезпечує автоматичне виконання основних технологічних процесів:

напування, роздачі корму, прибирання посліду, збору яєць. КБК-Н-3 це багатоярусний каркас, що містить батареї кліток, і елементи виконавчих механізмів розташованих в торцях батареї.

Система годування має загальний привід, розташовані поясно в передній частині батареї.

Система напування це система пластикових труб, ніпельними напувалками встановлюваних в клітках. Система забезпечує подачу води птиці, що знаходиться в клітках батареї.

# НУБІП України

Таблиця 1.5

## Технічні характеристики кліткової батареї КБК-Н-3

Розмір клітки	Одиниці вимірювання	Тип установки
Ширина	ММ	КБК-Н-3
Глибина	ММ	600
Висота фасаду	ММ	485
Висота тилу	ММ	395
Висота решітки фасаду	ММ	230
Ілоща підлоги	СМ <sup>2</sup>	2910
Решітка підлоги:		
– ширина комірки	ММ	25x50
– уклін	ММ	7,58
– діаметр дроту	ММ	2
Площа посадки	СМ <sup>2</sup>	420
Місткість клітки	голів	8

Система обробки яєць це система транспортерів розташованих на

кожному із ярусів батареї, які забезпечують переміщення яєць до краю батареї.

Звідки яйця вертикальним елеватором переміщується на еклад та сортується

Для годівлі птиці використовуються повнораціонні корми, які надходять

зі складу до бункера сухих кормів, звідки на горизонтальний транспортер КУТ-

ЗВ із потужністю 0,5 кВт, яким подається до кормороздавачів розміщених безпосередньо в кліткових батареях.

Послід із кожного яруса приирається скребковими механізмами МПС-

6М. З приміщення пташника послід вивантажується транспортером НКЦ 07-12

потужністю 3 кВт щляхом завантаження в транспортні засоби

При виборі обладнання для водопостачання враховують фактори: глибину залягання і дебіт джерела води, якість води та характер споживання, тип водозабірних пристрій, можливості енергозабезпечення.

Насоси «Водолій» типу БЦПЭ працюють при повному заглибленні корпусу в середовище. Це вимагає надійної ізоляції електропроводки. Насоси використовуються для підйому води із скважин і мають забезпечувати високий тиск. Заглибні насоси вирішують більшість задач систем водопостачання, оскільки звичайний агрегат встановлений на "суші", не забезпечить подачу води з глибин (максимальна висота "всмоктування" таких систем не перевищує 7 м).

Використовуємо центробіжний насос БЦПЭ-0,5 - 63У :

Таблиця 1.6

#### Характеристики насоса БЦПЭ-0,5 - 63У

Потужність, кВт	Частота обертання, об/хв	Номінальна об'ємна подача води, м <sup>3</sup> /год	Максимальна подача води, м <sup>3</sup> /год	Вага, кг
1,2	2800	1,8	3,6	17,8

Оскільки споживання води протягом доби нерівномірне для узгодження роботи насосних станцій в системі водопостачання зазвичай передбачаються спеціальні водонапірні башти. В яких створюється недобійний запас води на випадок зупинки насоса при аваріях, гасінні пожежі, тощо. Згідно розрахунків обираємо безшатрову водонапірну башту типу БР-15У.

Для керування роботою свердловини використовується комплектний пристрій „Каскад“. За технічними характеристиками насоса приймаємо „Каскад“ 1-0-У2 із ящиком керування типу ЯГ5102-2А7Б1У2.

Життєдіяльність і продуктивність залежить від того, наскільки умови середовища відповідають потребам птиці. До цих умов відносяться: вологість, температуру, швидкість руху повітря та вміст в ньому кисню, шкідливих газів (вуглекислий газ, аміак, сірководень), запиленості. Дані фактори визначають

мікроклімат пташника. Стан мікроклімату від конструкції пташника та використаних будівельних матеріалів, систем вентиляції і опалення, технології утримання (щільноті посадки птиці), пори року, погоди.

Температура повітря - один із головних параметрів мікроклімату, що

впливає на організм і ступінь обміну речовин. Відхилення температури повітря

в приміщенні від рекомендованих нормативами значень призводять до порушення фізіологічних процесів в організмі птиці. Порушення режимів споживання кормів, води, зниження продуктивності та навіть загибелі.

Особливо вразливий від порушення температурного режиму молодняк

птиці протягом 10-20 днів життя. В даному віці терморегуляція недостатньо

розвинена. Вологість повітря також знаходиться в прямій залежності від

температури. Молодняк поглинає вологу залежно від температури. Основними

джерелами вологи є сама птиця. Волога випаровується із поїлок, годівниць,

посліду. Також вона може проникати через стіни, підлогу, стелю при

недостатній вологозоляції.

За умови надлишкової або низької вологості повітря порушується тепловий баланс між тваринами і середовищем. Це призводить до зниження продуктивності та погіршення протидії організму до захворювань.

Швидкість руху повітря є одним із факторів, що також впливає на продуктивність курей. В приміщеннях для вирощування птиці повітря має перебувати в постійному русі. Переміщення повітряних мас відбувається із-за

різниці між температурою тіла птиці та температурою повітря в приміщенні,

між температурою в приміщенні і температурою зовні, засобів примусової

вентиляції. Основним збудником руху повітря у пташниках є система

примусової вентиляції. При некоректній роботі системи рух повітря може бути

або занадто сильним, або в окремих частинах пташника створюються застійні

зони. Все це негативно позначатись на здоров'ї та продуктивності птиці.

Занадто висока швидкість руху повітря призводить до переохолодження при низьких температурах, а в жаркі періоди до сильного висушування підстилки та осідання пилу. При занижених швидкостях руху повітря із зони

розміщення птиці не в повній мірі виділяється вуглекислота, волога, надлишкове тепло. Це призводить до накопичення шкідливих речовин, поступового отруєння організму, намокання підстилки.

У теплу пору року швидкість руху повітря для молодняку старше місячного віку не повинна бути більше 1,2 м/с., а в холодний період року 0,2-0,5

М/с.  
Нормативні параметри повітря в приміщенні, що передбачені нормативами для молодняку курей при клітковому утриманні складають:

- відносна вологість 60-70%;

- температура в холодну пору року 16°C;

- вміст вуглекислого газу в повітрі не повинен перевищувати 0,25%.

Згідно вище перелічених умов приймаємо вентиляційну систему з штучним збудженням. Для створення примусового повіtroобміну обираємо вентиляційну установку "Клімат 45".

Тепловий режим зумовлює багато в чому здоров'я та продуктивність птиці. В залежності від температури зовнішнього повітря, типу будівель, кліматичної зони, системи утримання, температурний режим може значно коливатись і не відповідати фізіологічним вимогам птиці. Для забезпечення

необхідної температури в приміщенні використовуються різного роду системи опалення. Опалення пташника в холодний період здійснюється за допомогою теплогенератора типу ТГ-3 із тепловою потужністю 48,5 кВт, який забезпечує подачі нагрітого повітря до пташника.

Найпоширенішим джерелом світла є лампи розжарювання, але вони досить енергозатратні. Для освітлення приміщення застосовується система загального рівномірного освітлення. В якості джерела світла обрані світлодіодні лампи. Розташування світильників виконане рядами вздовж приміщення. Для освітлення використовуються світильники НСПО 3-60-01.

Електричні установки мають бути захищені від коротких замикань, перевантажень і перепадів напруги. Найбільш широковживаним і ефективним обладнанням є автоматичний вимикач.

В проекті передбачено використання автоматичних вимикачів серії ВА51-29-14 призначених для захисту низьковольтних електрических ланцюгів від струмів короткого замикання, перевантаження та оперативних комутацій електрических ланцюгів.

Для захисту електрических двигунів встановлюються магнітні пускачі ПМЛ

1220-220 В, 10 А, НР40 із тепловим реле РТЛ-1014.

У пташинику для вводу в силовий щит приймаємо силовий провід ВВГ 4x10, а для внутрішніх силових проводок обираємо проводи марки ВВГнг,

трьохжильні із поперечним перерізом жил 2,5 мм<sup>2</sup> та 1,5 мм<sup>2</sup> – ВВГнг 3x2,5 та

ВВГнг 3x1,5.

Важливим профілактичним заходом при вирощуванні птиці є використання ультрафіолетового опромінення. При відсутності ультрафіолетового світла в приміщенні, у птиці виникає ультрафіолетова недостатність, що призводить до послаблення імунітету, спричиняє недолік вітаміну D, розлад нервової системи та появу захворювання.

Для усунення ультрафіолетової недостатності використовуються опромінювальні установки. При клітковому утриманні доцільно використовувати у «УОК-1» із ртутно-кварцевими джерелами. Установка «УОК-1» якраз і

призначена для пташиників з клітинним вирощуванням птиці. Такі установки працюють круглогодично, оскільки птиця, повністю позбавлена природного ультрафіолетового випромінювання. Установка являє собою шасі з приводом від асинхронного двигуна потужністю  $P_n = 0,25$  кВт. Установка рухається по колії кормороздавача між клітковими батареями. Джерелом ультрафіолетового опромінення є лампи ДРТ-400, які змонтовані на стійці.

НУБІП України

# НУБІП України

## РОЗДІЛ 2. ЕЛЕКТРОТЕХНІЧНА ЧАСТИНА

### 2.1. Розрахунок водопостачання пташника.

Одним із заходів щодо підвищення продуктивності виробництва

продуктів птахівництва є покращення якості та надійності постачання водою споживача.

Розрахунок і вибір водопровідної мережі виконуємо за значенням

максимальної витрати води:

$$g_{\max \text{ г}} = (g_{\text{н. с.}} \cdot N / 1000 \cdot 24) \cdot K_{\text{доб.}} \cdot K_{\text{час.}} \quad (2.1)$$

де  $g_{\max \text{ г}}$  – максимальна година витрата води  $\text{м}^3/\text{год.}$ ,

$g_{\text{н. с.}}$  – норма водоспоживання однією куркою, добова норма

водоспоживання становить  $g_{\text{н. с.}} = 0,36 \text{ л.}$

$N$  – кількість голів птиці  $N = 10080$ , враховуючи що в одній кліті знаходиться 7 голів птиці;

$K_{\text{доб.}}$  – коефіцієнт добової нерівномірності споживання води  $K_{\text{доб.}} = 1,3$ ;

$K_{\text{час.}}$  – коефіцієнт годинної нерівномірності водоспоживання  $K_{\text{час.}} = 2,5$ .

$$g_{\max \text{ г}} = (0,36 \cdot 10080 / 1000 \cdot 24) \cdot 1,3 \cdot 2,5 = 0,49 \text{ м}^3/\text{год.}$$

Водопостачання пташника передбачається від водопровідної мережі, яка

включає в себе чотири пташника і одну водонапірну вежу.

Максимальна годинна витрата води за дією схемою:

$$g_{\max \text{ г.}} = 4 \cdot g_{\max \text{ г.}} \quad (2.2)$$

де 4 – кількість пташників, підключених до водопровідної мережі.

Підставляючи отримані дані до формули, визначаємо максимальну годинну витрату води:

$$g_{\max \text{ г.}} = 4 \cdot 0,49 = 1,96 \text{ м}^3/\text{год.}$$

Визначаємо об'єм водонапірної вежі:

**НУБІП України**

$$V_{\text{б.}} = V_{\text{рег.}} + V_{\text{пож.}} + V_{\text{а.}}, \quad (2.3)$$

де  $V_{\text{рег.}}$  – регульований об'єм вежі,  $\text{м}^3$ ;

$V_{\text{пож.}}$  – пожежний запас води,  $\text{м}^3$ ;

$V_{\text{а.}}$  – аварійний запас води,  $\text{м}^3$ .

**НУБІП України**

При автоматичній роботі станції регульований об'єм вежі орієнтовно визначається по формулі:

$$V_{\text{рег.}} = 0,01 \cdot 24 \cdot g_{\text{max г}} / 6, \quad (2.4)$$

**НУБІП України**

$$V_{\text{рег.}} = 0,01 \cdot 24 \cdot 1,96 / 6 = 0,08 \text{ м}^3$$

Величина аварійного запасу води визначається часом необхідним для ліквідації можливої аварії протягом 2-х, 3-х годин:

$$V_{\text{а.}} = g_{\text{max г.}} \cdot t_{\text{а.}}, \quad (2.5)$$

де  $t_{\text{а.}}$  – час аварії, приймаємо  $t_{\text{а.}} = 3$  год.

**НУБІП України**

Підставляючи отримані дані визначаємо величину аварійного запасу води:

$$V_{\text{а.}} = 0,48 \cdot 3 = 1,44 \text{ м}^3.$$

**НУБІП України**

В кожному пташинку передбачається аварійний резервуар ємністю  $V_{\text{а.}} = 1,44 \text{ м}^3$ .

Протипожежний запас води розраховуємо за формулою:

$$V_{\text{пож.}} = 1,44 \cdot g_{\text{пож.}} \cdot n_{\text{пож.}} \cdot t_{\text{пож.}}, \quad (2.6)$$

де  $g_{\text{пож.}}$  – кількість води, що необхідна для ліквідації однієї пожежі, приймаємо  $g_{\text{пож.}} = 15 \text{ л/с}$  згідно площин проміщення;

$n_{\text{пож.}}$  – кількість пожеж, які відбуваються одночасно, для площин до 150 га

приймаємо  $n_{\text{пож.}} = 1$ ;

**НУБІП України**

$t_{\text{пож.}}$  – час розвинення однієї пожежі,  $t_{\text{пож.}} = 0,17 \text{ год.}$

$$V_{\text{пож.}} = 1,44 \cdot 15 \cdot 1 \cdot 0,17 = 1,22 \text{ м}^3$$

# НУБІП України

За формуллою (2.3) знаходимо мінімальний об'єм водонапірної вежі:

$$V_{\min} = 0,08 + 1,22 + 0,48 = 3,67 \text{ м}^3$$

Вибираємо без шатрову водонапірну вежу БР-15У об'ємом  $V_b = 15 \text{ м}^3$ .

Технічна характеристика вежі :

Ємність бака, $\text{м}^3$	15
Резервна ємність для води в опорі, $\text{м}^3$	14
Діаметр бака, мм	2500

Діаметр опори, мм	1 220
Висота до дна баку, мм	12 000
Маса, кг	3160

Для подачі води із свердловини вибираємо заглибний насос за секундним

об'ємом витрати води, розрахунок ведемо за формулою:

де	$g_c = g_{\max. g.} \cdot 10^3 / 3600 + g_{\text{пож.}}$	(2.7)
$g_{\max. g.}$	— максимальна витрата води за годину;	

$$g_c = 1,96 \cdot 10^3 / 3600 + 15 = 15,05 \text{ л/с}$$

При виборі насоса додержуємося умов:	$g_c \leq g_{\text{с. нас.}}$ ,
Вибираємо насос типу БЦГ-0,5-63У.	$H \leq H_{\text{нас.}}$

Технічна характеристика насоса:

Діаметр свердловини, мм	150
Подача, $\text{м}^3/\text{год}$	3,6
Напір, м	100
Потужність двигуна, кВт	1,2
Номінальна напруга, В	380

Номінальний струм, А	3
Маса, кг	17,8

Для автоматичного місцевого і дистанційного керування роботи свердловини приймаємо комплектний пристрій „Каскад“. В цьому випадку потрібно керувати роботою електродвигуна центробіжною свердловиною насоса ЭЦВ 8-25-100. Згідно технічних характеристик насосу приймаємо пристрій типу „Каскад“ 1-0-У2 з ящиком управління типу ЯГ5102-2А7Б1У2.

**2.2 Розрахунок вентиляції пташника.**  
Визначаємо годинну витрату повітря, необхідну для видалення  $\text{CO}_2$ :

$$L_{\text{CO}_2} = 1,2 \cdot C_n \cdot N / C_{\text{дп}} - C_3, \quad (2.8)$$

де  $C_n$  – кількість вуглекислого газу, що виділяє один птах,  $\text{m}^3/\text{год} \cdot \text{кг}$

Для ремонтного молодняку курей при клітковому утриманні  $C_n = 0,92 \cdot 10^{-3} \text{ m}^3 \text{ год} \cdot \text{кг}$  на 1 кг живої ваги птиці, урахуванням живої маси птиці  $m = 1,5 \text{ кг}$  визначасмо кількість вуглекислого газу, що виділяє один птах:

$$L_{\text{CO}_2} = 1,2 \cdot 1,5 \cdot 0,92 \cdot 10^{-3} = 1,38 \cdot 10^{-3} \text{ м}^3/\text{год.}$$

$N$  – кількість голів птиці в приміщенні,  $N = 10080 \text{ гол.}$   
 $1,2$  – коефіцієнт врахування виділення вуглекислого газу  
 мікроорганізмами;

$C_{\text{дп}}$  – допустима кількість вуглекислоти в приміщенні,  $\text{m}^3$ ;  $C_{\text{дп}} = 0,0025 \text{ м}^3$ ;  
 $C_3$  – кількість вуглекислоти в зовнішньому повітрі,  $\text{m}^3$ ,  $C_3 = 0,0003 \text{ м}^3$ .  
 Підставляючи отримані значення, виконуємо розрахунок годинної витрати по-вітря, необхідного для видалення  $\text{CO}_2$ :

$$L_{\text{CO}_2} = 1,2 \cdot 1,38 \cdot 10^{-3} \cdot 10752 / 0,0025 - 0,0003 = 8093,3 \text{ м}^3/\text{год.}$$

Кількість повітря необхідного для видалення лишньої вологи:

$$L_{H_2O} = R_1 \cdot W_n \cdot m \cdot N / W_{\text{дп.}} - W_3, \quad (2.9)$$

де  $L_{H_2O}$  – часова годинна витрата повітря, необхідна для видалення водяних парів,  $\text{м}^3/\text{год.}$

$R_1$  – коефіцієнт, враховуючий випаровування вологи з підлоги, стін та ін. конструкцій, приймаємо  $R_1 = 1,1$ ;

$$W_n = \text{кількість водяних парів, що виділяються одним птахом на 1 кг живої ваги утиці, г/год · кг.}, \text{приймаємо } W_n = 3 \text{ г/год · кг.}$$

$N$  – кількість голів птиці,  $N = 10080 \text{ гол.};$

$m$  – маса однієї птиці,  $m = 1,5 \text{ кг.}$

$$W_{\text{дп.}} = \text{допустима кількість вологи в повітрі приміщення, } \text{г/м}^3;$$

$$W_3 = \text{кількість водяних парів в зовнішньому повітрі, } \text{г/год · кг.}$$

Значення  $W_{\text{дп.}}$  і  $W_3$  визначаємо за формулами:

$$W_{\text{дп.}} = W_{\text{нас. п.}} \cdot \phi_n / 100 \quad (2.10)$$

$$W_3 = W_{\text{нас. н.}} \cdot \phi_n / 100 \quad (2.11)$$

де  $W_{\text{нас. п.}}$  і  $W_{\text{нас. н.}}$  – вміст водяних парів при повному насиченні відповідно при оптимальній для даного приміщення температурі і при розрахунковій

$$\text{температурі зовнішнього повітря, } \text{г/м}^3;$$

$\phi_n$  і  $\phi_h$  – відносна вологість повітря в приміщенні і зовні, %.

Розрахунок проводимо для двох випадків: зима і літо.

Розрахункова зовнішня температура повітря для вентиляції:

$$\Theta_{\text{зим.}} = -10^\circ\text{C}, \Theta_{\text{літ.}} = 25^\circ\text{C}$$

Розрахункова відносна вологість повітря:

$$\phi_{n \text{ зим.}} = 85\%, \phi_{n \text{ літ.}} = 50\%, \phi = 70\%.$$

Атмосферний тиск:

$$P_{\text{зим.}} = 9978 \text{ Па}, P_{\text{літ.}} = 99552 \text{ Па}$$

Вміст водяних парів в повітрі:

$$W_{\text{нас. п.}} = 13,6 \text{ г/м}^3, W_{\text{нас. зим.}} = 2,14 \text{ г/м}^3, W_{\text{нас. літ.}} = 2,3 \text{ г/м}^3.$$

# НУБІП України

Підставляючи дані до формул (2.10) і (2.11) отримаємо:

$$W_{\text{шп}} = 13,6 \cdot 70 / 100 = 9,52 \text{ г/м}^3;$$

$$W_{\text{н. зим.}} = 2,14 \cdot 85 / 100 = 1,82 \text{ г/м}^3;$$

$$W_{\text{н. літ.}} = 2,31 \cdot 50 / 100 = 11,55 \text{ г/м}^3.$$

# НУБІП України

В зимній період:

$$L_{H_2O \text{ зим.}} = 1,1 \cdot 3 \cdot 1,5 \cdot 10080 / 9,52 - 1,82 = 6480 \text{ м}^3/\text{год.}$$

В літній період:

$$L_{H_2O \text{ літ.}} = 1,1 \cdot 3 \cdot 1,5 \cdot 10080 / 9,52 - 11,55 = -24579 \text{ м}^3/\text{год.}$$

# НУБІП України

В літній період необхідно зволожувати повітря, яке поступає в приміщення пташника. Мінімальна кількість повітря, яку необхідно подати в пташник на 1 кг живої маси тіла дорівнює  $g = 0,75 \text{ м}^3/\text{год.}$

# НУБІП України

Мінімальна кількість зовнішнього повітря, яке необхідно подати в пташник визначається за формулою:

$$L = g \cdot m \cdot N, \quad (2.12)$$

де  $m$  – маса одного птаха, кг;  $m = 1,5 \text{ кг};$

# НУБІП України

Для літнього періоду визначаємо витрату повітря, що необхідна для видалення надлишкового тепла:

# НУБІП України

де  $g_t$  – кількість вільного тепла, яке виділяється одним птахом на 1 кг живої

ваги за 1 годину,  $\text{кДж} / (\text{год} \cdot \text{кг}),$

$$g_t = 26,4 \text{ кДж} / (\text{год} \cdot \text{кг});$$

$L_t$  – повітробмін по видаленню надлишкового тепла,  $\text{м}^3/\text{год.}$

$Q_{\text{огр}} = \text{витрати тепла через зовнішню огорожу, кДж / год;}$   
 $\alpha = \text{температурний коефіцієнт розширення повітря, } 1/{^\circ}\text{C}; \alpha = 1/273 \cdot 1/{^\circ}\text{C;}$   
 $C_b = \text{теплоємність } 1 \text{ м}^3 \text{ повітря, кДж / (м}^3 \cdot \text{град);}$   
 $C_b = 1,283 \text{ кДж / (м}^3 \cdot \text{град);}$

$\Theta_{\text{п}} - \Theta_{\text{н}} = \text{температура повітря відповідно внутрішня та зовнішня, } {^\circ}\text{C; } \Theta_{\text{п}} = 16 {^\circ}\text{C; } \Theta_{\text{н}} = 25 {^\circ}\text{C}$   
**НУБІП України**  
 Втрати теплоти через огорожу визначаються за формулою:

$$Q_{\text{огр}} = V \cdot g_0 \cdot (\Theta_{\text{п}} - \Theta_{\text{н}}) \quad (2.14)$$

де  $g_0 = \text{теплова характеристика приміщення, кДж / (м}^3 \cdot \text{град)}$   
 $g_0 = 2,1 \dots 2,9 \text{ кДж / (м}^3 \cdot \text{град);}$   
 $V = \text{об'єм пташника, м}^3;$   
 $V = 12 \cdot 48 \cdot 3 = 1728 \text{ м}^3.$

**НУБІП України**  
 Тоді:

$$Q_{\text{огр}} = 1728 \cdot 2,5 \cdot (16 - 25) = 38880 \text{ кДж / год.}$$

**НУБІП України**  
 Згідно розрахунків можна зробити висновок, що найбільший

повіtroобмін потрібен літом для видалення надлишкового тепла. Остаточно за розрахунковий повіtroобмін приймаємо  $L_t = 20917 \text{ м}^3 / \text{год.}$

**НУБІП України**  
 Кратність зміни повітря в пташнику за годину визначаємо за формулою:  
 $R = L_t / V,$   
 $R = 20917 / 1728 = 12,1$

**НУБІП України**  
 Приймаємо вентиляцію із штучним збудженням.  
 Для створення розрахованого повіtroобміну вибираємо вентиляційну установку „Клімат 45“ з основними вентиляторами ВО-Ф5,6.

Технічна характеристика „Клімат 45”:

Номінальна напруга, В	380
Номінальна частота мережі живлення, Гц	50
Потужність електродвигуна АД80АБУ2, Вт	0,37

Продуктивність	8000 м <sup>3</sup> /час
ККД, %	97
Ступінь захисту	IP 55
Діапазон регулювання вихідної напруги не менше	1 : 6

Допустимі відхилення номінального значення вихідної напруги, % -7,5 ; +10

Маса, кг

2600
2.3. Розрахунок опалення пташника.

Для визначення необхідної кількості теплоти для обігріву приміщення

використовуємо рівняння теплового балансу. Розрахунок проводиться для зимового періоду.

Розрахункова зовнішня температура повітря приймаємо  $Q_h = 20^{\circ}\text{C}$ .  
Визначимо тепlopродуктивність системи опалення, кДж / год.

$$Q_h = Q_{\text{огр}} + Q_b - Q_j \quad (2.16)$$

де  $Q_{\text{огр}}$  – теплові витрати приміщення через огорожу, кДж / год.  
 $Q_j$  – кількість теплоти, що виділяється птицею, кДж / год.

Витрати теплоти через огорожу пташника:

$Q_{\text{огр}} = V \cdot g_0 \cdot (\Theta_b - \Theta_h) \quad (2.17)$

де  $V$  – об'єм приміщення,  $V = 1728 \text{ м}^3$ ,  
 $g_0$  – теплова характеристика приміщення,  $g_0 = 2,1 \dots 2,9 \text{ кДж}/(\text{м}^3 \cdot \text{град} \cdot \text{год})$ ;  
приймаємо  $g_0 = 2,5 \text{ кДж}/(\text{м}^3 \cdot \text{град} \cdot \text{год})$ ;

$\Theta_b$  – внутрішня температура приміщення,  $^{\circ}\text{C}$ ;

$\Theta_h$  – зовнішня температура,  $^{\circ}\text{C}$ ;  
приймаємо  $16^{\circ}\text{C}$ ,  $\Theta_h = -20^{\circ}\text{C}$ .

$$Q_{\text{огр}} = 1728 \cdot 2,5 \cdot (16 - (-20)) = 155520 \text{ кДж / год.}$$

# НУБІП Україні

Кількість теплоти, яка витрачається при вентиляції повітря в приміщенні, визначаємо за формулою:

$$Q_B = L \cdot C \cdot (\Theta_B - \Theta_H) \quad (2.18)$$

де  $L$  – максимальний повіtroобмін. Приймаємо мінімальну кількість

повітря згідно розрахунків вентиляції розділ 2.2.2,  $L = 11340 \text{ м}^3/\text{год}$ .

Отже,

$$Q_B = 11340 \cdot 1,28 \cdot (16 - (-20)) = 522547,2 \text{ кДж / год.}$$

Тепло, яке виділяє птиця, визначаємо за формулою:

$$Q_K = g_K \cdot m \cdot N \cdot R_t \quad (2.19)$$

де  $g_K$  – норма виділення тепла птахом на 1 кг живої маси,  $\text{кДж / год.}$

$$g_K = 26,4 \text{ кДж / год.}$$

$m$  – маса птиці, кг;  $m = 1,5 \text{ кг.}$

$N$  – кількість голів птиці,  $N = 10080 \text{ гол.}$

$R_t$  – коефіцієнт, враховуючий зміну тепловиділення птиці при зміні температури  $R_t = 0,92.$

$$Q_K = 26,4 \cdot 1,5 \cdot 10080 \cdot 0,92 = 367234,5 \text{ кДж / год.}$$

Вводимо всі розрахункові дані в формулу (2.16).

$$Q_H = 155520 + 522547,2 - 367234,5 = 310832 \text{ кДж / год.}$$

Виходячи з розрахункового теплообміну, необхідного для опалення пташиника в зимовий період і повіtroобміну вибираємо теплоенератор ТГ-3, що призначений для повітряного опалення і вентиляції виробничих приміщень птахівництва.

Технічна характеристика теплоенератора ТГ-3:

- потужність, кВт  $45,5$
- теплопродуктивність,  $\text{кДж / год}$   $300 \cdot 10^3$

- об'єм нагрітого повітря зведеній до  
 стандартних вимог, м<sup>3</sup> / год 10000  
 - температура нагрівання повітря, °C 50±5  
 - ККД, % 88

- встановлені потужності, кВт

<ul style="list-style-type: none"> <li>• головний вентилятор</li> <li>• вентилятор форсунки</li> </ul>	4АМ80А4У3	1,1
- напруга, В	4АМ63А2У3	0,37
- кіл керування		220

- силових кіл	380
- маса, кг	300

#### 2.4. Розрахунок освітлення пташника

Освітлення є важливим фактором, що впливає на продуктивність виробництва продукції птахівництва. Тому, відповідність наявних значень освітленості в пташнику нормативним має неабияке значення.

Для освітлення пташника застосовується система загального

рівномірного освітлення з розташування світильників рядами вздовж

приміщення.

Розрахунок освітлення проводиться за методом коефіцієнта використання світлового потоку.

Згідно вимог в приміщенні для кліткового утримання курей норма освітленості на рівні кормушок, поїлок повинна бути не менше Е = 30 лк.

Виходячи з умов оточуючого середовища, вибираємо для освітлення приміщення для утримання птиці світильники типу НСП03-10-01.

**Визначення числа світильників і їх розміщення.**

Вихідні дані:

Довжина приміщення А = 42 м, ширина В = 12 м, висота Н = 2,5 м.

Коефіцієнти відбиття  $\rho_c = 30\%$ ;  $\rho_{ст} = 10\%$ ;  $\rho_{п} = 10\%$

Коефіцієнт запасу:  $K_p = 1,3$ .  
 Коефіцієнт нерівномірності освітлення:  $Z = 1,1$ .  
 Найвигідніша відносна відстань для світильників з кривою світлорозподілу  $\lambda = 1,4 \dots 1,6$ .

Висота підвісу світильника  $h_{cb} = 0,34$  м.

**НУБІП України**  
 Число світильників в приміщенні визначаємо з умови найкращої

відносної відстані між ними по відомих параметрах приміщення: довжині, ширині і розрахунковій висоті.

**НУБІП України**  
 Розрахункова висота визначається по формулі:

$$H_p = H - h_{cb} - k_p, \quad (2.20)$$

де  $H_p$  – розрахункова висота, м;

$H$  – висота приміщення, м;

$h_{cb}$  – відстань від стелі до світлового центру світильника, м;

$k_p$  – рівень робочої поверхні над підлогою, м.

$$H_p = 2,5 - 0,34 - 0,16 = 2 \text{ м}$$

**НУБІП України**  
 Для прийнятого типу світильника за кривою сили світла (КСС) приймаємо значення найвигіднішої відносної відстані між світильниками  $\lambda$  і визначаємо розрахункову відстань між світильниками  $L$ :

**НУБІП України**  
 де  $L = \lambda \cdot H_p$ , м  
 $\lambda$  – найвигідніша відносна відстань.

Залежно від типу кривої сили світла (КСС) світильника  $\lambda$  має різні значення: Д – косинусна,  $\lambda = 1,4 \div 1,6$ ;

**НУБІП України**  
 $L = (1,4 \dots 1,6) \cdot 2 = 2,8 \dots 3,2 \text{ м}$

Приймаємо  $L = 3,2$  м.

Визначаємо кількість світильників в ряду, кількість рядів (при системі загального рівномірного освітлення) і загальну кількість світильників відповідно з виразів:

$$n_a = A / L; \quad (2.22)$$

**НУБІП Україні**

де  $A$  – довжина приміщення, м;

$$n_b = B / L; \quad (2.23)$$

$$N = n_a \cdot n_b, \quad (2.24)$$

$B$  – ширина приміщення, м;

**НУБІП Україні**

$n_a$  – кількість світильників в ряду, шт;

$n_b$  – кількість рядів світильників, шт;

$N$  – загальна кількість світильників, шт.

Число світильників в ряду:

**НУБІП Україні**

Число рядів:

$$n_b = \frac{12}{3,2} = 3,75 \text{ шт, приймаємо } 4 \text{ ряди.}$$

**НУБІП Україні**

Число світильників:  $N = 13 \cdot 4 = 52$  шт.

### Розрахунок освітленості методом коефіцієнту використання світлового потоку.

**НУБІП Україні**

Мета розрахунку: визначення потужності ламп по розрахунковому світловому потоку.

Світловий потік ламп визначається за формулою:

$$\Phi = E \cdot K_3 \cdot S \cdot Z / N \cdot \eta, \quad (2.25)$$

**НУБІП Україні**

де  $\Phi$  – розрахунковий світловий потік лампи, лм;

$E$  – нормована (мінімальна) освітленість робочої поверхні, лк;

$K_3$  – коефіцієнт запасу ( $K_3 = 1,3$ );

$Z$  – коефіцієнт нерівномірності освітлення (відношення середньої освітленості до мінімальної)  $Z=1,1 \dots 1,2$ ;

$S$  – площа приміщення,  $\text{м}^2$ ;

$N$  – кількість світильників, шт;

$\eta$  – коефіцієнт використання світлового потоку, відн. од.

**НУБІП України**

Індекс приміщення визначається за формуллю:

$$i = S / H_p(A+B), \quad (2.26)$$

де  $S$  – площа приміщення,  $S = A \cdot B$ ,  $\text{м}^2$ ;

$H_p$  – розрахункова висота підвісу світильника, м;

$A$  і  $B$  – довжина і ширина приміщення, що розраховується, м

$$i = 504 / 2(42 + 12) = 3,7$$

Із таблиць для вибраного типу світильника за коефіцієнтами відбиття та індексом приміщення вибираємо коефіцієнт використання світлового потоку  $(\eta=0,6)$ .

Всі одержані дані підставляємо у формулу (2.25) і визначаємо розрахунковий світловий потік лампи:

**НУБІП України**

Фл  $= 30 \cdot 1,3 \cdot 504 \cdot 1,15 / 52 \cdot 0,6 = 724,5 \text{ лм}$

За розрахованим світловим потоком із відповідної таблиці вибираємо джерело світла, світловий потік якого найбільше відповідає розрахунковому.

Приймаємо світлодіодну лампу Eurolamp серія ЕКО А60 10w E27 зі світловим потоком  $\Phi_l = 715 \text{ лм}$ , потужністю  $P = 10 \text{ Вт}$ .

Оскільки нормована освітленість в приміщенні не відповідає розрахунковому потоку, визначаємо фактичну освітленість  $E_\phi$ :

$$E_\phi = E_n \frac{\Phi_\phi}{\Phi_p} \quad (2.27)$$

де  $E_n$  – нормована освітленість в даному приміщенні, лк;

$\Phi_\phi$  – нормативний світловий потік вибраної лампи, лм;

$\Phi_p$  – розрахований світловий потік, лм.

**НУБІП України**

Після цього визначається відповідність допустимому відхиленню освітленості за формулою:

**НУБІП України**

$$\Delta E = \frac{E_{\phi} - E_H}{E_H} \cdot 100 \% \quad (2.28)$$

Для сільськогосподарських приміщень дозволяється відхилення фактичної освітленості від нормованої в межах  $\Delta E = -10 \% \dots + 20 \%$ .

**НУБІП України**

Отже, в даному випадку відхилення фактичної освітленості в межах норми.

Визначаємо установлена потужність освітлювальної установки:

$$P_y = P_{\text{л}} \cdot N = 10 \cdot 52 = 3120 = 3,12 \text{ кВт.}$$

**НУБІП України**

**Повірочний розрахунок освітленості точковим методом**

Точковий метод застосовується при повірочному розрахунку місцевого, локалізованого та вуличного освітлення, а також загального рівномірного освітлення світильниками прямого світла та негоризонтальних площин.

**НУБІП України**

Намічамо контрольні точки на робочій поверхні з вірогідними мінімальною та максимальними освітленостями.

Розрахункова формула :

**НУБІП України**

$$E_A = \sum_i^n e_i \quad (2.29)$$

де  $n$  – кількість світильників, освітленість від яких враховується в даній точці поверхні;

$e_i$  – освітленість у даній точці, створена від  $i$ -го світильника.

**НУБІП України**

Е – горизонтальна освітленість в точці розрахунку, лк;

Ось інші вирази:

**НУБІП Україні**

$$e_i = (I_{\alpha i} \cos^3 \alpha_i) / (H_p^2), \quad (2.30)$$

де  $I_{\alpha i}$  – сила світла від світильника в напрямку до точки розрахунку, кд;

$\alpha$  – кут між віссю симетрії світильника та напрямком до точки розрахунку, град;

$H_p$  – розрахункова висота підвісу світильника, м.

**НУБІП Україні**

Визначаємо тангенс кута падіння світлового променя в точку розрахунку (рис. 2.1)

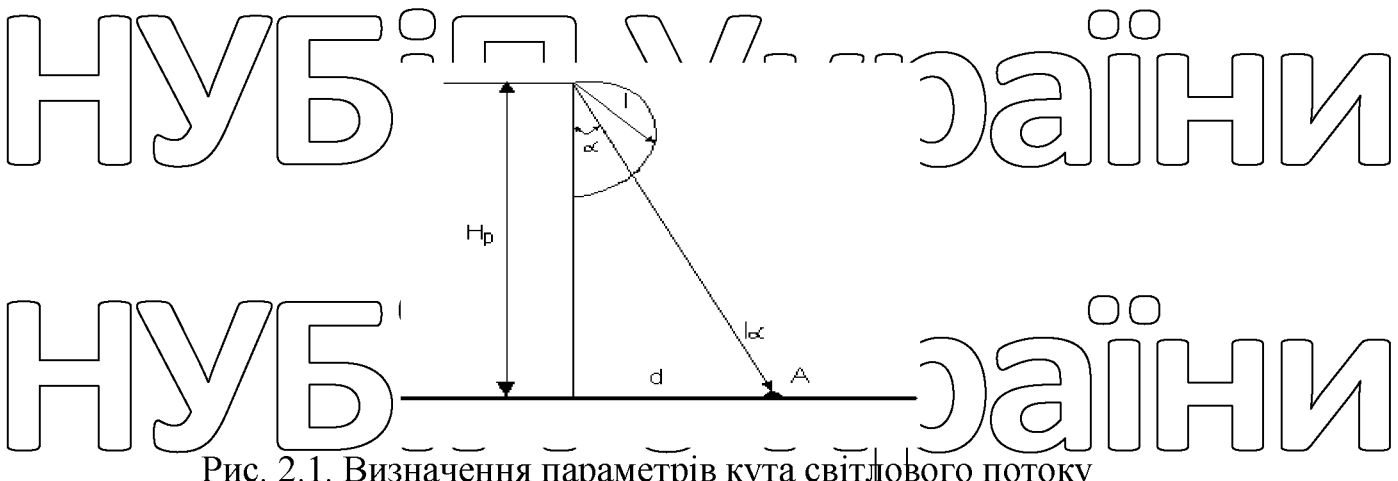
$$\operatorname{tg} \alpha = d / H_p, \quad (2.31)$$

**НУБІП Україні**

де  $d$  – відстань від точки розрахунку до проекції осі симетрії світильника на площину, яка є перпендикулярна і проходить через точку розрахунку.

Дану відстань вимірюють на плані приміщення з урахуванням масштабу;

$H_p$  – розрахункова висота підвісу, м.



**НУБІП Україні**

Проводимо розрахунок найменш освітленої точки в приміщенні

Для точки А

$$d_1 = \sqrt{\left(\frac{L}{2}\right)^2 + \left(\frac{L}{2}\right)^2}, \quad (2.32)$$

$$d_2 = \sqrt{\left(\frac{L}{2}\right)^2 + \left(\frac{3L}{2}\right)^2}; \quad (2.33)$$

**НУБІП Україні**

$$d_3 = \sqrt{\left(\frac{3L}{2}\right)^2 + \left(\frac{3L}{2}\right)^2} \quad (2.34)$$

$d_1 = 1,5 \text{ м}; d_2 = 4,5 \text{ м}; d_3 = 2,9 \text{ м};$   
 $\operatorname{tg} \alpha_1 = 1,5 / 2 = 0,75;$   
 $\operatorname{tg} \alpha_2 = 4,5 / 2 = 2,25;$   
 $\operatorname{tg} \alpha_3 = 2,9 / 2 = 1,45;$

По обрахованому тангенсу вираховуємо  $\alpha$  та  $\cos^3 \alpha$ :  
 $\alpha_1 = \arctg \alpha_1 = 36,9^\circ \text{C};$   
 $\alpha_2 = \arctg \alpha_2 = 66^\circ \text{C};$   
 $\alpha_3 = \arctg \alpha_3 = 55,4^\circ \text{C};$

$\cos^3 \alpha_1 = 0,51;$   
 $\cos^3 \alpha_2 = 0,07;$   
 $\cos^3 \alpha_3 = 0,18,$

Знаходимо силу світла :

$I_\alpha = (I_\alpha)_t \Phi_p / 1000,$  (2.35)  
 де  $(I_\alpha)_t$  — сила світла світильника з умовою лампою 1000 лм, кд;  
 $\Phi_p$  — світловий потік вибраної лампи, лм.

$$I_{\alpha 1} = 195 \cdot (715 / 1000) \approx 139,425 \text{ кд};$$

$$I_{\alpha 2} = 122 \cdot (715 / 1000) \approx 87,23 \text{ кд};$$

$$I_{\alpha 3} = 145 \cdot (715 / 1000) \approx 103,675 \text{ кд};$$

Розраховуємо освітленість в точці розрахунку відносно кожного світильника :

$e_i = (I_{\alpha i} \cos^3 \alpha_i) / (H_p^2),$  (2.36)  
 $e_1 = (139,425 \cdot 0,51) / 2^2 = 19,8 \text{ лк};$   
 $e_2 = (87,23 \cdot 0,07) / 2^2 = 2,53 \text{ лк};$   
 $e_3 = (103,675 \cdot 0,18) / 2^2 = 6,67 \text{ лк};$

$E_A = \sum e_i = 19,8 + 2,53 + 6,67 = 29 \text{ лк.}$

# НУБІП України

Розрахунок освітлення для технічних та промислових приміщень

методом питомої потужності.

Для приміщення персоналу з площею  $10 \text{ м}^2$  розраховується освітлення методом питомої потужності і вибираються світильники з лампами розжарювання. Приймаємо загально-рівномірну систему освітлення з робочим видом освітлення. Нормована освітленість в приміщенні складає  $E_n = 75 \text{ лк}$ .

Враховуючи умови навколошнього середовища вибираємо світильник типу НСП03-15-01

Визначаємо розрахункову висоту підвісу світильника

$$H_p = H - h_c = 3 - 0,5 = 2,5 \text{ м.}$$

Визначаєм відстань між світильниками (для кривої  $\lambda = 1,4 \dots 1,6$ ):

$$L = \lambda H_p = (1,4 \dots 1,6) \cdot 2,5 = 2,38 \dots 2,72 \text{ м}$$

Визначаємо кількість рядів:

Визначасмо кількість світильників в ряду:

$$\frac{A}{L} = \frac{2,4}{2,4} \approx 1 \text{ ряд}$$

$$\frac{B}{L} = \frac{5}{2,4} = 2,5 \approx 3 \text{ шт.}$$

Знаходимо розрахункову потужність лампи за формулою:

де  $P_{\text{пит}} = P_{\text{лам}} \cdot S \cdot n \cdot \eta \cdot V_t$  (4.37)

$S$  – площа приміщення,  $\text{м}^2$ ;

$n$  – кількість ламп у світильнику, шт;

$N$  – кількість світильників, шт.

$$P = 26,4 \cdot 10 / 3 = 106 \text{ Вт.}$$

Згідно даних таблиць ця потужність може бути забезпечена лампою розжарювання Б 215-225-100, ми ж обираємо світлодіодний аналог з аналогічним світловим потоком, лампу Eurolamp серія ЕКО А60 15w E27 зі світловим потоком  $\Phi_L = 1100$  лм, потужністю  $P = 15$  Вт.

Для інших приміщень розрахунок проводиться аналогічно.

В приміщеннях з малою площею розрахунок освітлення зводиться до вибору ламп за прямими нормативами.

Всі результати розрахунків заносимо у світлотехнічну відомість.

Передбачаємо чергове освітлення, яке становить 10% від основного освітлення.

Таблиця 2.1.

#### Розподіл освітлювальної проводки на групи

№ гр упи	Система	Номер приміщення на плані	Кількість ламп, шт.	Установлена потужність ламп, кВт	Примітка
1	A+N	1	26	1,56	
2	B+N	1	26	1,56	
3	C+N	2,5,6	8	0,6	Потужність групи з врахуванням розетки 1,04 кВт
4	C+N	3,4,7	7	0,55	

Розрахункові струми груп визначаються за формулою:

$$I_{gp} = \frac{P \cdot 10^3}{U_\phi},$$

$$I_{gp1} = 1,56 \cdot 10^3 / 220 = 7,1A;$$

$$I_{gp2} = 1,56 \cdot 10^3 / 220 = 7,1A;$$

$$I_{gp3} = 0,6 \cdot 10^3 / 220 = 3,72A;$$

$$I_{gp4} = 0,55 \cdot 10^3 / 220 = 2,5A;$$

Розрахунковий струм всіх груп:

$$I_p = I_{\text{grp}1} + I_{\text{grp}2} + I_{\text{grp}3} + I_{\text{grp}4};$$
$$I_p = 7,1 + 7,6 + 2,72 + 2,5 = 19,42 \text{ A.}$$

# НУБІП України

Для освітлення обираємо тип розподільчого щита ПР11-3046-21УЗ ПР11-

3046-54УЛ.

# НУБІП України

Вибір типу ввідного апарату:

Робочий струм вводу в приміщення визначаємо за виразом:

# НУБІП України

для однофазної мережі:

$$I_{\text{роб. в.}} = P / U_\phi , \text{A} \quad (2.39)$$

для чотирьохпроводної, п'ятипровідної мережі:

$$I_{\text{роб. в.}} = P / \sqrt{3} U_\phi = P / 3U_\phi , \text{A} \quad (2.40)$$

# НУБІП України

де  $I_{\text{роб. в.}}$  - робочий струм вводу в приміщення, А;

$P$  – загальна потужність всіх ламп, Вт;

$U_\phi$  – фазна напруга, В.

# НУБІП України

$P = 4540 \text{ Вт.}$

$U_\phi = 380 \text{ В.}$

$$I_{\text{роб. в.}} = 4540 / 380 = 12 \text{ A.}$$

# НУБІП України

Для вводу обираємо автоматичний вимикач типу ВА51-25-34

(номінальний струм  $I_{\text{ном}} = 25 \text{ A}$ ) зі струмом електромагнітного розчіплювача

$I_{\text{уст}} = 16 \text{ A}$ . Перевіряємо:

$$I_{\text{уст}} \geq I_{\text{роб.}},$$

$$16 \text{ A} \geq 12, \text{ A};$$

# НУБІП України

Даний вимикач відповідає умовам вибору.

За аналогічною методикою обираємо автоматичні вимикачі для всіх групових ліній. Результати вибору представлені в таблиці 2.2.

Таблиця 2.2.

№ групки	Розрахунковий струм групи, $I_{\text{розр}}$	Тип автоматичного вимикача	Номінальна сила струму, А	
			Вимикача	Розчіплювачів
1	7,1	BA51-25-34	25	16
2	7,1	BA51-25-34	25	16
3	2,72	BA51-29-14	25	6,3
4	2,5	BA51-29-14	25	6,3

**Вибір проводів**  
Згідно рекомендацій в основному приміщенні для утримання чтиць приймаємо провід ВВГнг. Провід кріпиться на трос, має мідні жили та ізоляцію з полівінілхлориду.

При виборі перерізу проводів необхідно виконувати умови

$$I_{\text{роб}} \leq I_{\text{дов. доп.}}, \quad (2.41)$$

де  $I_{\text{роб}}$  – робоча (розрахункова) сила струму освітлювальної мережі, А;

$I_{\text{дов. доп.}}$  – тривалодотримана сила струму для вибраного перерізу проводу, А.

Робочий струм групи і вводу в приміщення визначаємо за виразом:

– для однофазної мережі:

$$I_{\text{роб}} = P / U_{\Phi} \cos\phi, \text{ А} \quad (2.42)$$

– для чотирехпроводної, п'ятипроводної мережі:

$$I_{\text{роб}} = P / \sqrt{3}U_{\text{л}} \cos\phi = P / 3U_{\Phi} \cos\phi, \text{ А} \quad (2.43)$$

де  $U_{\Phi}$  – фазна напруга, В;

$\cos\phi$  – коефіцієнт потужності, від од.;

$U_{\text{л}}$  – лінійна напруга, В.

**НУБІЙ Україні**  
 Приймаємо для монтажу 1-ої групи провід ВВГнг – провід з мідними жилами, з ізоляцією з полівініхлоридного пластикуту ВВГнг  $3 \times 1,5$  трьохжильний, площею поперечного перерізу жили  $1,5 \text{ mm}^2$  і тривалодопустимим струмом 16 А.

Перевіряємо провід на тривалодопустимий струм:

**НУБІЙ Україні**  
 $I_{\text{роб}} \leq I_{\text{дов. доп.}}$ ,  
 $7,1 \text{ A} < 16 \text{ A}$  – умова виконується, провід вибрано вірно.  
 Отже, провід вибрано правильно.

Аналогічно за даною методикою обираємо проводи для всіх груп.

**НУБІЙ Україні**  
 Для подачі живлення до щита обираємо кабель ВВГ – кабель з мідними жилами, оболонка із полівініхлоридного пластикуту без захисного покриття ВВГ  $4 \times 4,0$ , з чотирма одножильними проводами, площею поперечного перерізу  $4 \text{ mm}^2$  і допустимим струмом 25 А.

Перевіряємо провід на тривалодопустимий струм:

**НУБІЙ Україні**  
 $I_{\text{роб}} \leq I_{\text{дов. доп.}}$ ,  $12 \text{ A} < 25 \text{ A}$  – умова виконується.  
 Перевіряємо провід на механічну міцність. Згідно ПУЕ допустима площа поперечного перерізу вибраного проводу  $F=4 \text{ mm}^2$ .

$$F \geq F_{\text{доп.}} ; 4 \text{ mm}^2 = 4 \text{ mm}^2$$

**НУБІЙ Україні**  
 Отже, кабель вибрано правильно.  
 Результат вибору проводів та кабелів для монтажу електропроводки представлено в таблиці 3.3.

Таблиця 3.3

Результати вибору проводів					
№ПД	Назва споживача	Марка провода (кабеля)	Кількість жил	Допустимий струм жили	Площа поперечного перерізу
1	Перша група	ВВГнг	2	19	2,5
					На тросі

2	Друга група	ВВГнг	2	19	2,5	На тросі
3	Третя група	ВВГнг	2	19	2,5	Під штукатуркою
4	Четверта група	ВВГнг	2	19	2,5	Під штукатуркою
5	Ввод в щит	ВВГнг	4	20	4	Відкрито на скобах

## 2.5. Опромінення птиці

Одним із важливих ветеринарних профілактических факторів при вирощуванні птиці є її опромінення ультрафіолетовими променями. При відсутності ультрафіолетового опромінення в приміщенні де утримується птиця у останньої виникає ультрафіолетова недостатність, що послаблює імунітет організму птиці, спричиняє нехватку вітаміну D, розлад нервової системи та інші небажані явища.

Для запобігання ультрафіолетової недостатності використовуються опромінювальні пристрої. При клітковому утриманні птиці використовують установку «УОК-1» із ртутно кварцовими жилами.

Установка являє собою щасі, що приводиться в рух розташованим у ній асинхронним двигуном потужністю 0,25 кВт. Колеса щасі котяться по колії кормороздавача між рядами кліткових батарей. Джерелом ультрафіолетового опромінення є дві лампи ДРТ-400, які змонтовані на металічній вертикальній стойці. Ультрафіолетове випромінювання, що створюється лампою, підвищує загальну опірність організму, покращує обмін речовин, знижує збудливість нервових елементів шкіри, надає протибактерійну дію.

Технічна характеристика установки «УОК-1»:

- номінальна напруга, В
- споживана потужність, кВт
- швидкість руху установки, м/хв
- тип опромінювача

380/220

1,5

0,5/1

ОРК-021

- тип лампи  
 - кількість ламп, шт  
 - середній строк служби (не врахов. лампи), років

ДРТ 400

**НУБІП України**

## 2.6 Розрахунок і вибір електросилового обладнання.

### Розрахунок і вибір електроприводів.

Для приводу робочих машин і механізмів електродвигун вибирається за родом струму, величині напруги, режиму роботи, конструктивному виконанню і способу монтажу, кліматичного виконання, ступеня захисту від впливу зовнішнього середовища, частоті обертання і потужності.

Електропостачання здійснюється від джерела змінного струму, тому для приводу машин і механізмів приймаються асинхронні електродвигуни серії АІР з короткозамкнутим ротором, які вмикаються на лінійну напругу мережі рівну  $U_L = 380$  В і призначенні для роботи від мережі змінного струму з частотою  $f = 50$  Гц.

Пітачник являє собою закрите приміщення із штучною вентиляцією, захищене від атмосферних опадів і сонячної радіації. Тому вибираємо електродвигуни кліматичного виконання і категорії УЗ. Ступінь захисту електродвигунів П44.

В теперішній час сільсько-господарські машини поставляють, як правило, разом із електроприводами, тому немає необхідності проводити повний вибір електропривода. Задача зводиться до оцінки відповідності електропривода робочій машині.

Визначаємо потужність електродвигуна, що приводить в рух шнековий транспортер бункера сухих кормів БСК-15

$$P_{\text{дв. р.}} = Q \cdot (P \cdot L + H) / 102 \cdot \eta \cdot \eta_{\text{пер.}} \quad (2.44)$$

де  $H$  – висота підачі,  $H = 2$  м;

$P_{\text{дв. р.}}$  – розрахункова потужність двигуна, кВт;

$Q$  – продуктивність шнека,  $Q = 2,4$  т/р,

$L$  – довжина шнека,  $L=5\text{ м}$ ;  
 $R$  – коефіцієнт враховуючий сили тертя,  $R=1,1$ ;  
 $\eta_{\text{пер.}}$  – коефіцієнт корисної дії передачі,  $\eta_{\text{пер.}}=0,95$ ;  
 $\eta$  – коефіцієнт корисної дії двигуна  $\eta = 0,7$ .

$P_{\text{дв. р.}} = 2,4 \cdot (1,1 \cdot 5 + 2) / 102 \cdot 0,95 \cdot 0,7 = 0,27 \text{ кВт}$   
 Синхронна частота обертання ротора двигуна  $n = 1000 \text{ об/хв.}$

Умова вибору двигуна:

$n = 1000 \text{ об/хв.}$ ,  $P_{\text{н. дв.}} \geq P_{\text{дв. р.}}$   
 де  $P_{\text{н. дв.}}$  – номінальна потужність двигуна.

Приймаємо асинхронний електродвигун серії АІР з номінальною потужністю  $P_{\text{н. дв.}} = 0,37 \text{ кВт}$ . Тип двигуна – АІР71А6У3.

$M_{\text{e}} = M_0 + (M_{\text{шн}} - M_0) \cdot (\omega / \omega_n)$   
 Механічні характеристики визначаються за рівнянням:

$$M = M_k(z + g) / (S/S_k + S_k/3 + g) \quad (2.45)$$

$M_e = M_0 + (M_{\text{шн}} - M_0) \cdot (\omega / \omega_n)$   
 де  $S$  – ковзання, від. од.;  
 $M'$  – момент при зниженні напруги на 75% і допустимим відхиленням моменту,  $\text{Н} \cdot \text{м}$ ;

$t$  – час розгону на ділянці,  $\text{s}$ ;  
 $t$  – час з початку розгону,  $\text{s}$ ;  
 $M_d$  – динамічний момент,  $\text{Н} \cdot \text{м}$ ;

$M_c$  – статичний момент інерції,  $\text{Н} \cdot \text{м}$ ;  
 Дані, що отримані при розрахунках заносимо в таблицю 2.4

Таблиця 2.4

S	M <sub>1</sub> Н · м	M <sub>2</sub> Н · м	M <sub>c</sub> , Н · м	M <sub>d</sub> , Н · м	Δt, с	t, с
1	5,6	3,8	0,228	3,6	0,00	0,00
0,9	6,0	4,1	0,57	3,56	0,0047	0,0047
0,8	6,4	4,4	0,57	5,8	0,0045	0,0093
0,3	7,47	5,4	0,57	4,88	0,0034	0,0079
0,01	0,46	0,37	0,57	-0,19	0,003	0,057

## Розрахунок силових мереж.

Вибір апаратури управління і захисту.

Всі електродвигуни повинні бути надійно захищеними від перевантажень

і струмів короткого замикання.

При виборі марки захисного апарату треба враховувати рід струму і рід захисту.

Враховуючи всі ці особливості проводимо вибір автоматичного вимикача

для двигуна АІР90L4У1 приводу скребкового механізму МПС-6М.

		Умова вибору:
1.	U <sub>H</sub> ≥ U <sub>мережі</sub> ,	U <sub>H</sub> ≥ 380 В;
2.	I <sub>н. а.</sub> ≥ I <sub>н. ел. дв.</sub> ,	10А ≥ 5А;

$$3. I_p \geq I_{н. ел. дв}, \quad I_{н.p.} = 6,3 \geq 5 \text{ A};$$

$$4. I_{відс. ел. н. р.} \geq K_3 \cdot K_{p, н. т.} \cdot K_{відс.} \cdot K_n \cdot I_{н. ел. дв.},$$

$$I_{відс. ел. н. р.} = 12 \text{ A}_{нр} = 12 \cdot 6 = 72 \text{ A}, \\ K_3 \cdot K_{p, н. т.} \cdot K_{відс.} \cdot K_n \cdot I_{н. ел. дв.} = 1,1 \cdot 1,25 \cdot 1,2 \cdot 6 \cdot 5 = 49,5 \text{ A},$$

$$72 \text{ A} > 49,5 \text{ A}.$$

Умова вибору автоматичного вимикача виконується. Приймаємо автома-

тичний вимикач типу АВВ S203-P-C63A 3р С 25кА.

Вибір електромагнітного пускача.

**НУБІП України**

Умова вибору:  
 1)  $U_H \geq U_{\text{мережі}}$ ,  
 2)  $I_{\text{м. п.}} \geq I_{\text{н. ел. дв.}}$ ,

3.  $I_{\text{н. т. р.}} \geq I_{\text{н. ел. дв.}}$ ,       $10 \text{ A} \geq 5 \text{ A}$ ;

4.  $I_{\text{н. ел. дв.}} \geq I_{\text{н. е.}}$ ,       $I_{\text{н.е.}} = 6 \text{ A}$ .

**НУБІП України**

Вибираємо електромагнітний пускач серії ПМД 1220 220 В,  $I_{\text{н. т. р.}} = 10 \text{ A}$ .  
 Теплове реле вибираємо типу РТЛ-1014,  $I_{\text{н.е.}} < 6 \text{ A}$ .  
 Регульовання в межах  $T = (3,8 \dots 6) \text{ A}$

Для решти двигунів розрахунок проводиться аналогічно. Дані зводимо в

розрахунково-монтажну таблицю.

### Розрахунок внутрішніх силових проводок.

Переріз струмопровідних жил вибираємо з умови тривалодопустимого струму:

$$I_{\text{тр. доп.}} \geq I_{\text{роб.}}$$

Для двигуна АІР90L4У1  $I_{\text{н.}} = 5 \text{ A}$ , отже для цього двигуна вибираємо провід

живлення ВВГнг 4x2,5 з тривалодопустимим струмом  $I_{\text{тр. доп.}} = 19 \text{ A}$ . Монтаж проводки виконуємо в трубі.

Для визначення діаметру труби виконуємо розрахунок за формулою:

$$d_{\text{тр.}} = d_{\text{пр.}} \sqrt{\frac{n}{k_3}} \quad (2.47)$$

де  $d_{\text{пр.}}$  – зовнішній діаметр проводу, мм,  $d_{\text{пр.}} = 4,2 \text{ мм}$ ,

$n$  – кількість проводів в трубі  $n = 4$ ;

$k_3$  – коефіцієнт заповнення  $k_3 = 0,5$ .

$$d_{\text{тр.}} = 4,2 \sqrt{\frac{4}{0,5}} = 11,8 \text{ мм.}$$

Приймається труба сталева з умовним проходом 15 мм.

Розрахунок для решти силових споживачів проводиться аналогічно. Дані

зводимо в розрахунково-монтажну таблицю.

**НУБІП України**

# РОЗДІЛ 3

## РОЗРОБКА СИСТЕМИ УПРАВЛІННЯ РЕЖИМАМИ ОСВІТЛЕННЯ

### 3.1 Вплив режимів освітлення на стан і продуктивність птиці

Багатьма дослідженнями встановлено, що оптичне випромінювання в

птиці викликає фізіологічні зміни. Світлова енергія, яка сприймається стчаткою, перетворюється в нервові імпульси збуджуючи нервові центри і сприяє обміну речовин. Під дією світла збільшується кількість гемоглобіну,

еритроцитів, фосфору й кальцію, зростає обмін азоту. Світло сприяє підсиленню

бактерицидних властивостей крові, активізує ферментні процеси. Світло має значний вплив на ріст птиці, розмір яєць, яйценосність.

Скоріюючи тривалість світлового періоду доби при вирощування птиці, можливо збільшити продуктивність курей і термін їх експлуатації, отримувати більш яйця. Але режими освітлення, при яких статевий розвиток курей більш

пізніший і дозволяє отримувати більші яйця, як правило призводить до меншої яйценосності, яке в свою чергу призводить до появи тонкої шкаралуні.

Необхідно змінювати тривалість світлового часу доби і в процесі вирощування птиці. Доведено, що на продуктивність впливає не просто тривалість дня, а його

поступове збільшення.

В період вирощування курей-несучок зменшення світлового часу (рис. 3.19) на 2..3 хвилини кожної доби затримує статевий розвиток курей, вони

краще розвиваються і входять у яйцекладку краще розвиненими. Це позитивно впливає на продуктивність курей і якість яєць.

Зниження світлового періоду до 120-го дня впроваджується для сповільнення раннього статевого розвитку курей-несучок.

При скороченні світлового періоду птиця менше схильна до яйцекладки.

Після того як птиця повністю дозріває поступово збільшують світловий час, що

інтенсифікує яйцекладку.

Світловий день для промислової птиці збільшується до 18 годин, а для маточного поголів'я – до 12 годин.

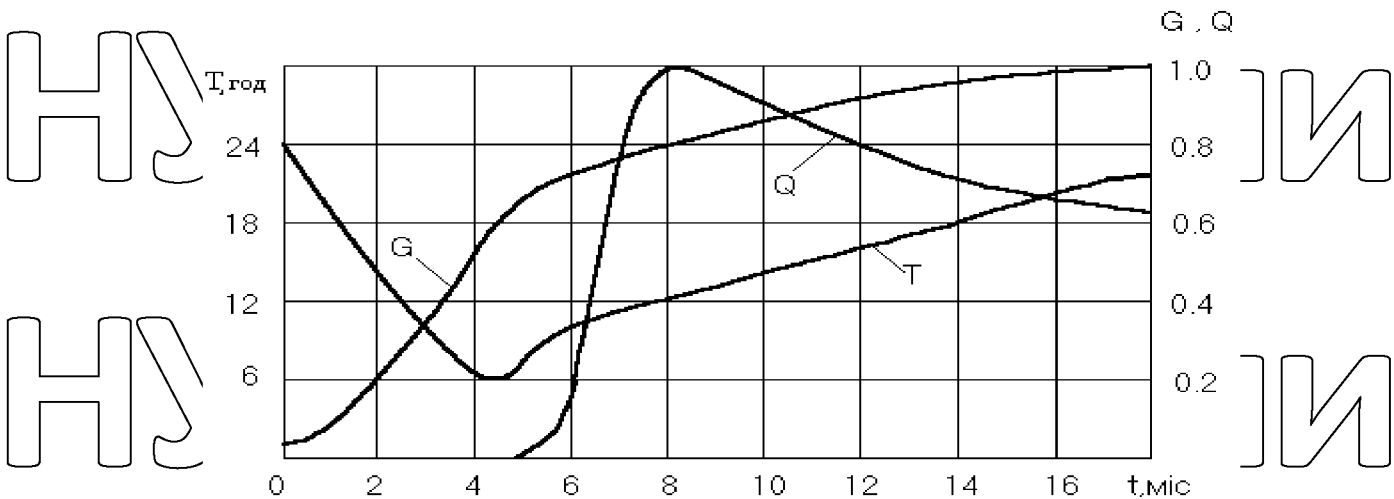


Рис. 3.1. Зміна тривалості світлового періоду доби Т, відносної ваги G і

якісності Q курей протягом періоду вирощування

На рис. 3.2. наведено схему добового ритму птиці в залежності від віку

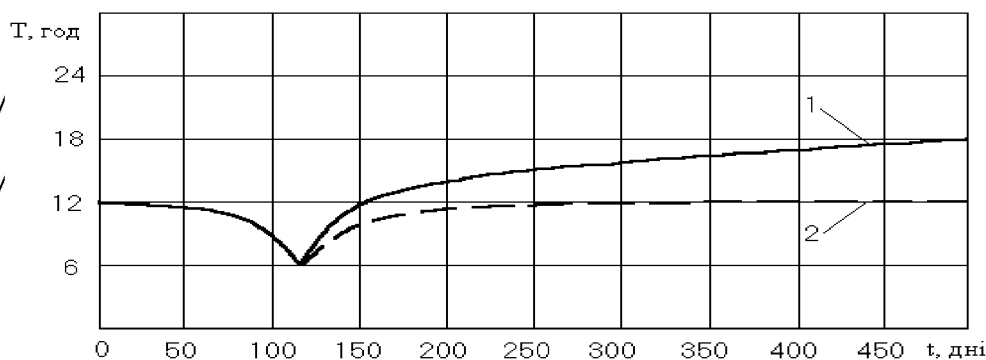


Рис. 3.2. Схема зміни добового ритму в пташинку; 1 – промислове; 2 – маточне поголів'я

В багатьох птахівничих підприємствах м'ясо – яєчного напрямлення

використовують світловий режим наведений в таблиці 3.1.

Також відомо, що переривчасті режими освітлення забезпечують позитивні результати.

Ефективність переривистого режиму в першу чергу залежить від віку птиці, з якого його починають застосовувати.

В таблиці 3.2. представлена світлові режими для вирощування ремонтиного молодняку курей промислового стада.

Таблиця 3.1.

Нубіп України	Добовий режим для різновікової птиці				
	Молодки	Несучки	Світловий	Світловий	день, год. - хв.
Тиждень	Вік, днів	місяців	год.	хв.	день, год. - хв.
1	1 - 7		15 - 00		9 - 30
2	8 - 14		12 - 00		10 - 00
3	15 - 21		9 - 00		11 - 00
4	22 - 28		6 - 00		12 - 00
5 - 19	29 - 135		6 - 00		13 - 00
20	136 - 140		6 - 00		14 - 00
21	141 - 147		6 - 30		15 - 00
22	148 - 154		7 - 00		16 - 00
23	155 - 161		7 - 30		17 - 00
24	162 - 168		8 - 00		19 - 00
25	169 - 175		8 - 30		21 - 00
26	176 - 182		9 - 00		23 - 00

Таблиця 3.2.

### Світловий режим для вирощування ремонтного молодняку

#### курей промислового стада

Нубіп України	Вік птиці, днів	Загальна тривалість періоду, год.		Час вкл./вимкнення освітлення	Час вимкнення освітлення
		Світла	Темряви		
1 - 3	23	1	00	23	
4 - 7	17	7	3	20	
8 - 10	15	9	4	19	
11 - 14	13	11	5	18	
15 - 17	11	13	6	17	
18 - 21	10	14	7	17	
22 - 119	6	18	9	12	
			14	17	

Проаналізувавши найпопулярніші світлові режими можна виділити декілька оснєвних типів:

# НУВІП України

- звичайний (14...18 год. світлового періоду)
- «ахемеральний»
- переривчастий (симетричний або несиметричний)

Крім часу світлового періоду доби є важливим параметром світлового режиму величина освітленості. З однієї сторони, від неї залежить фізіологічний стан птиці та продуктивність, а з іншої сторони освітленість визначає загальну потужність системи освітлення в пташнику.

# НУВІП України

На сьогоднішній день на птахофабриках використовують світлові режими, в яких освітленість або постійна або змінюється під час процесу вирощування птиці.

# НУВІП України

Рекомендована освітленість на рівні годівниць при утримуванні птиці в одноярусних кліткових батареях має становити: перші три дні вирощування 40 лк, в період з 4 по 7 день – 30 лк, а в період з 8 по 21 день – 20 лк, а після після 21 дня – може бути зменшена до 10 лк. Освітленість у верхніх ярусах кліткової батареї може бути вище, ніж у нижніх, і може мати значення: 45...35, 35...25, 25...15 і 15...5 лк у різні періоди вирощування.

# НУВІП України

Також необхідно забезпечити плавну зміну освітленості в момент включення та виключення світла. Це створює ефект штучного світанку та сутінок.

# НУВІП України

Раптова зміна освітленості призводить до стресу птиці. Повільна зміна освітленості на протязі 2...3 хвилин, дозволяє уникнути стресу.

# НУВІП України

Аналізуючи више наведені дані можна виділити основні фактори світлового режиму:

# НУВІП України

- тривалість світлової доби;
  - значення й характер зміни освітленості;
  - спектральний склад джерела випромінювання.
- # НУВІП України

### 3.2. Аналіз засобів автоматизації процесу керування

#### освітлювальними установками в пташниках

Основними вимогами до систем керування освітленням у пташниках є забезпечення ефективного світлового режиму з мінімальними витратами електроенергії.

Засоби керування системами освітлення бувають неавтоматичними – з керування в ручному режимі та автоматичними – для керування системою освітлення за заздалегідь складеною програмою.

Найпростішим апаратом автоматичного керування освітленням в пташниках є добове реле, а також різні пристрой, які містять такі реле. Основним недоліком таких пристрой є відсутність імітації “світанку” та “сутінок”, а також необхідність постійно вносити зміни на програмному диску для збільшення або зменшення світлового дня в пташнику.

Відомі два основні способи регулювання освітленості. Перший спосіб полягає у включені світильників групами. Він реалізується на основі релейних схем керування.

Другий спосіб регулювання освітленості полягає у ступінчатій або плавній змінені світлового потоку світильників.

З розвитком ЕОМ та мікропроцесорної техніки почали з'являтися автоматизовані системи керування світловим днем (АСК ШСД). В АСК застосовуються сучасні методи та засоби керування: математичні моделі керування штучним світловим днем, технічні засоби збору, передачі, зберігання, обробки інформації.

Такі системи керування можуть забезпечити виконання наступних операцій: автоматичне відстеження віку птиці, регулювання тривалості світлового дня та рівня освітленості в залежності від віку тварин; імітацію «світанку» і «заходу»; контроль світлових параметрів в пташнику, друкування добової режимної карти (за запитом) та виведення її на екран.

Для регулювання світлового потоку знайшли широке застосування тиристорні регулятори. Якщо на протязі півперіоду зменшувати час

проходження струму через джерело світла, то це дасть можливість рівнозначному зменшенню середнього значення і відповідно світловий потік буде також зменшуватись.

Недоліками такого способу регулювання є обмеження в границях

регулювання та підвищення пульсації світлового потоку.

На сьогодні розроблено велика кількість засобів автоматичного керування режимами освітлення в пташинику. За призначенням та принципом дії всі вони можуть бути розподілені на групи. Класифікація засобів керування світловими режимами в пташинику представлена на рис.3.3.

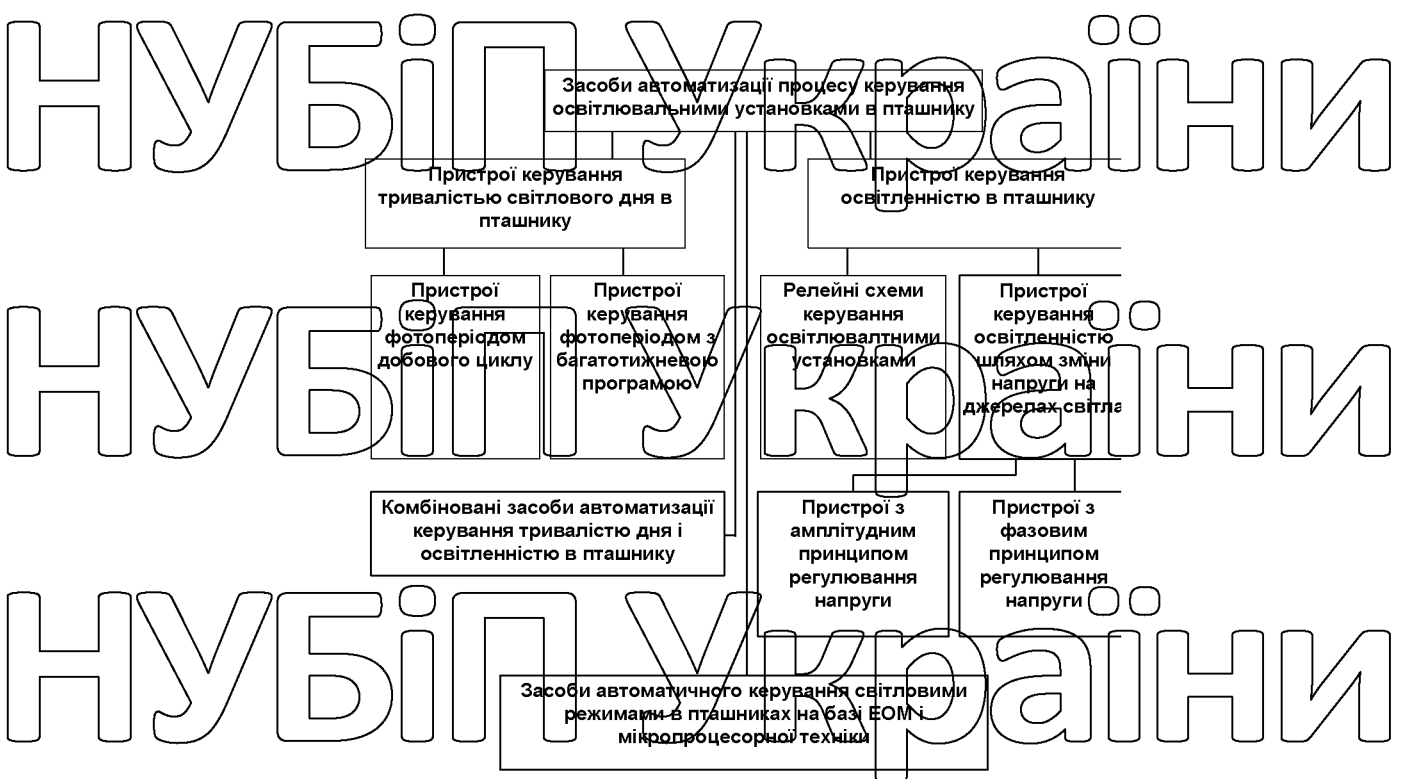


Рис. 3.3. Класифікація систем керування системами освітлення в пташинику

Із аналізу відомих засобів автоматизації процесу керування освітленням в пташниках видно, що вони мають деякі недоліки.

3.3 Розробка пристроя автоматичного керування освітлювальними установками у виробничому приміщенні пташника

Забезпечення ефективного світлового режиму у пташника можливо лише при наявності програмних пристройів автоматичного керування.

Пристрої автоматичного керування освітлювальними установками мають відповідати слідуючим вимогам:

- можливість регулювання тривалості світлової частини доби в залежності від віку тварин;
- можливість регулювання рівня освітленості зі зміною віку птиці;
- можливість керування освітленням в ручному і автоматичному режимі;
- можливість забезпечення плавної зміни освітленості при вимиканні і вмиканні освітлення;

Враховуючи вище наведені вимоги, розроблено пристрой автоматичного керування режимами освітлення в пташниках. До складу якого входять: електронний програматор, автоматичний вимикач, силові елементи - тиристори з радіаторами, блок керування тиристорами, електромагнітний пускач, проміжні реле. Всі елементи закріплені на панелі і розміщені в металевому ящику.

Функціональна схема пристрою представлена на рис. 3.4.

Принципова електрична схема керування режимами освітлення та принципова електрична схема керування тиристорами представлені відповідно на рис. 3.5 та рис. 3.6.

В основу роботи даного пристрою лежить принцип фазового регулювання зміни часу проходження струму по навантаженню у кожний півперіод в залежності від величини напруги мережі.

Напругу комутують силові тиристори VD8, VD9, які вмикаються зі схеми керування через трансформатор TV1 (рис. 3.7)

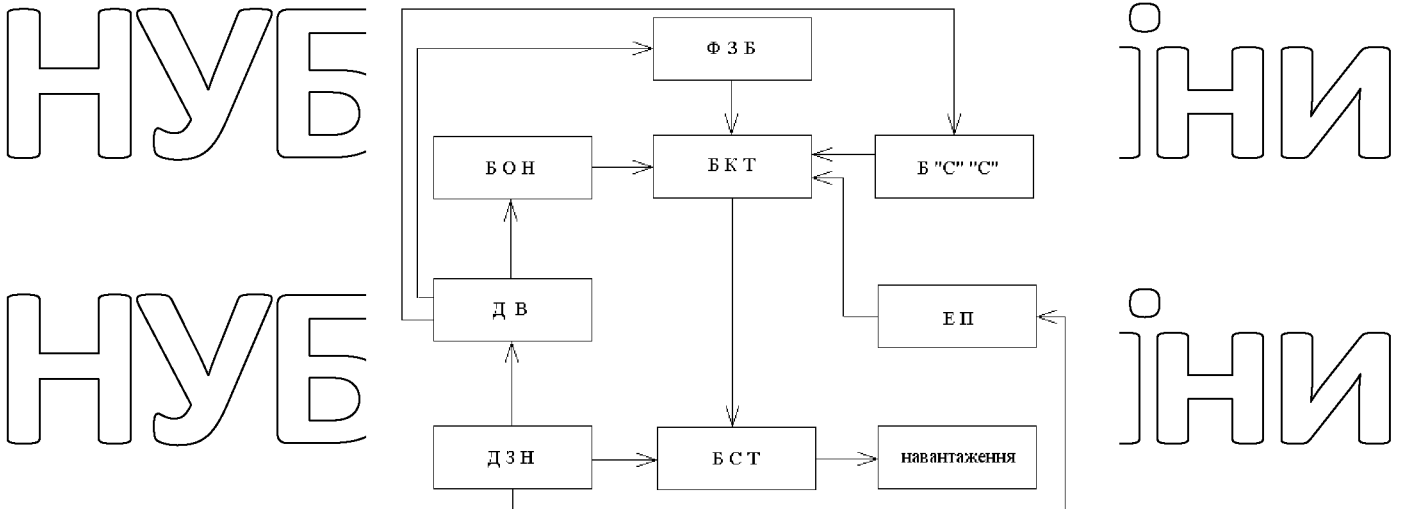


Рис 3.4 Функціональна схема пристроя для керування режимами освітлення: БСТ – блок силових тиристорів; ДЗН – джерело змінного струму; ДВ – дюодний випрямляч; БОН – блок обмеження напруги; ФЗБ – фазозсуваючий блок; БКТ – блок керування тиристорами; Б “С” “С” – блок який забезпечує “світанок” і “сутінки”, ЕП – електронний програматор.

Розглянемо роботу пристроя в автоматичному режимі. В якості керуючого пристроя використовується електронний програматор. Під час умовної ночі в приміщенні струм на навантаження не проходить, тому, що тиристири закриті, але напруга підведена до них. Напруга подається на випрямляч VD1...VD4. Випрямлена напруга після обмежувального резистора R2 подається на подільник напруги R3. Конденсатор C3 зашунтований резистором R1 та польовим транзистором VT3, транзистор VT2 в даному випадку закритий і на електроди керування силових тиристорів VD8 та VD9 імпульс не подається. В час передачений програмою програматор замикає контакти КТ4 та КТ2 (рис 3.5), і живлення подається на котушку реле KV1 і KV3. Відбувається замикання силових контактів KV1.1...KV1.3 та допоміжного контакту KV1.4, і живлення подається на котушку проміжного реле KV2 замикаючи його контакти на положення „d“ (двоанівперіодна напруга).

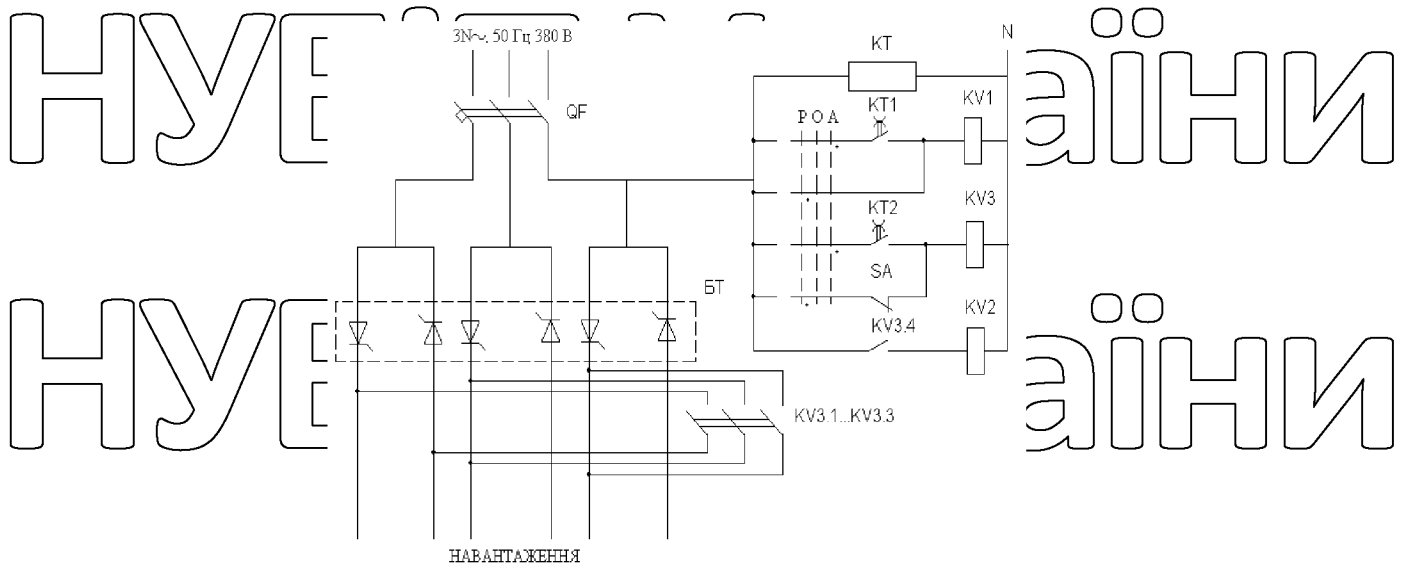


Рис. 3.5. Принципова електрична схема керування освітлювальними установками у виробничому приміщенні пташника

Контакти реле KV1 перемикаються в режим “Св.” (світанок).

Конденсатор С4 при цьому через резистори R14 і R16 починає заряджатися, відповідно напруга на затворі транзистора починає зростати VT3. Зі зміною напруги на затворі також змінюється провідність каналу транзистора. При зростанні напруги на затворі зменшується струм стоку транзистора. Відповідно починає змінюватись напруга на емітері транзистора VT2, значення якого рівне між базовою напругою, яка задається стабілітроном VD7. При відкриванні транзистора VT2 конденсатор С3 дає розряд на первинну обмотку трансформатора імпульсного TV1. При розряді у вторинних обмотках трансформатора виникають імпульси. Ці імпульси подаються на керуючі електроди тиристорів. Відкривається той тиристор, до якого в той чи інший момент підведена напруга.

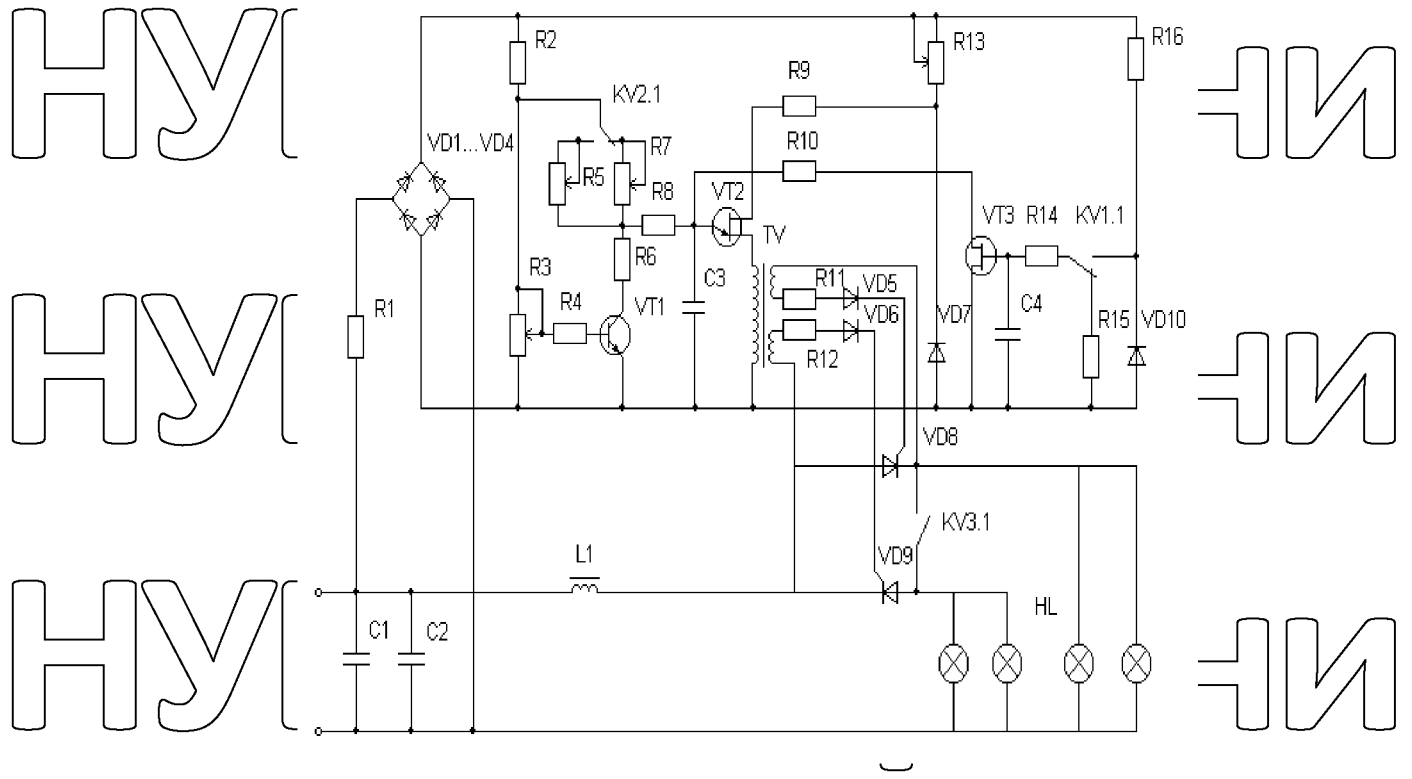


Рис. 3.6. Принципова електрична схема керування силовими тиристорами

Після зменшенням струму стоку транзистора зменшується час заряджання конденсатора С3 і відбувається зміщення моменту виникнення керуючих імпульсів, що змінює інтервал ввімкненого стану елементів комутації

VD8 і VD9. В цей час значення напруги на лампах постійно зростає, відбувається штучний світанок. Рівень значення напруги на лампах задається резистором R5.

В пристрої захист для обмеження напруги на навантаженні при збільшенні її значення в мережі.

Напруга мережі після випрямлення прикладається до підільника напруги R3. Якщо підвищення напруги на навантаженні вище встановленого значення, відповідно зростає напруга між базою та емітером транзистора VT1, і відповідно збільшується струм в ланцюзі емітер–колектор цього ж транзистора,

відповідно зростає час зарядки конденсатора С3 до рівня напруги достатньої для відкриття транзистора VT2 та зміщенню моменту появи імпульсів керування до

зменшення інтервалу відкритого стану тиристорів. В цей час величина робочого значення напруги на навантаженні відновлюється.

При необхідності роботи на однонапівперіодний напрузі, програматор розмикає контакти КТ2, відповідно розмикаються силові контакти

електромагнітного пускача КМ1.1...КМ1.3 та контакт КМ1.4. Контакти реле

КУ2 перемикаються в положення – О (однонапівперіодна напруга). В один

півперіод через тиристор VD9, живлення подається на одну групу ламп, а в інший півперіод, через тиристор VD8 до другої групи ламп. При розмиканні

силових контактів КМ1.1...КМ1.3 пускача величинана пруги на лампах

зменшується в  $\sqrt{2}/2$  рази, на стільки ж зменшується і освітленість у пташнику.

В передбачений програмою час електронний програматор розмикає контакти

КТ1 і контакта КУ1 залишається без живлення. Контакти реле КУ1.1

перемикаються в положення “Сут.” (сутінки).

При ввімкненні даного положення конденсатор С4 починає розряджатися

через резистори R14 і R15. Відбувається зменшення напруги на затворі

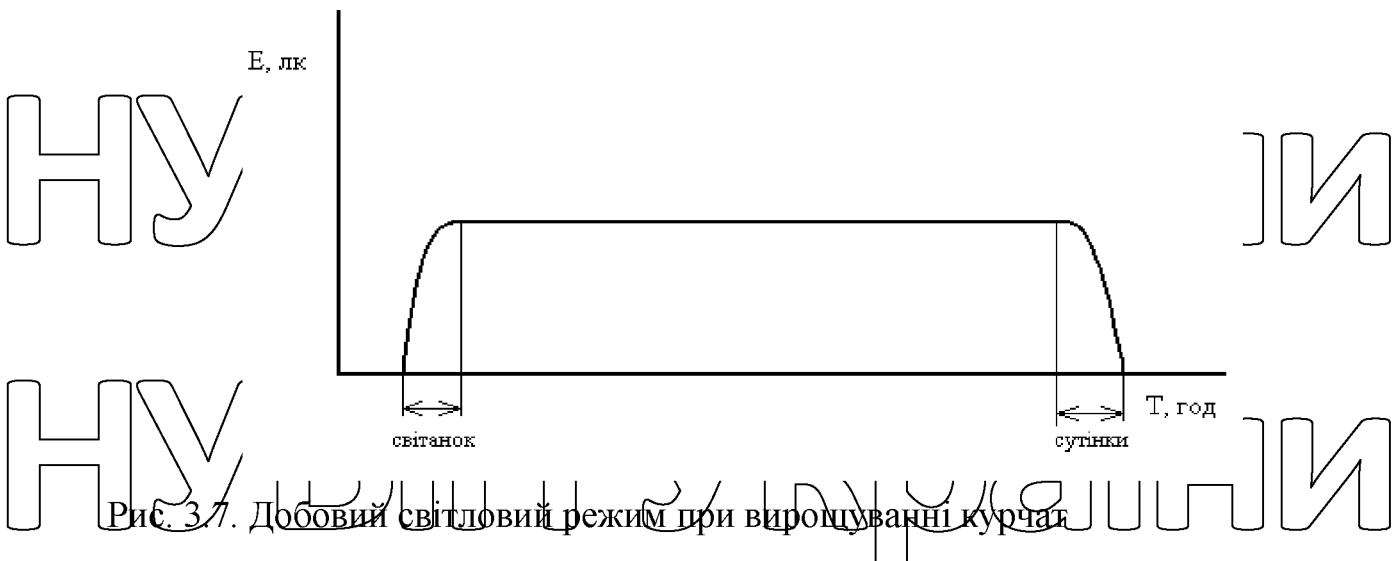
транзистора VT3. Поступово змінюється провідність каналу транзистора і

зростає струм стоку. Це відповідно призводить до зміни інтервалу увімкненого

стану силових тиристорів. Відбувається плавне зменшення величини напруги

на лампах, відбувається імітація “сутінок”.

Даний пристрій дозволяє реалізувати світловий режим наведений на рис.



Світловий режим доби, представлений на рис. 3.7, реалізується за наступним алгоритмом. За номінальної напруги освітленість оптимальна для годування птиці, в інші ж періоди світлового дня на лампи подається півперіодна напруга, при якій рівень освітленості відповідає нормі.

Оптимізації значень параметрів режиму освітлення за рівнем затрат електроенергії, які отримані для птиці різного вікового періоду, дозволили оптимізувати тривалість світлового дня та освітленості. Якщо притримуватись встановлених ефективних значень  $T$  і  $E$ , забезпечуються оптимальні умови освітлення для отримання максимальної маси птиці.

Поседнавши ефективні значення освітленості, світлового періоду та віку птиці в графики залежності отримаємо ефективний світловий режим для вирощування птиці. Графіки представлено на рис. 3.8. та рис. 3.9.

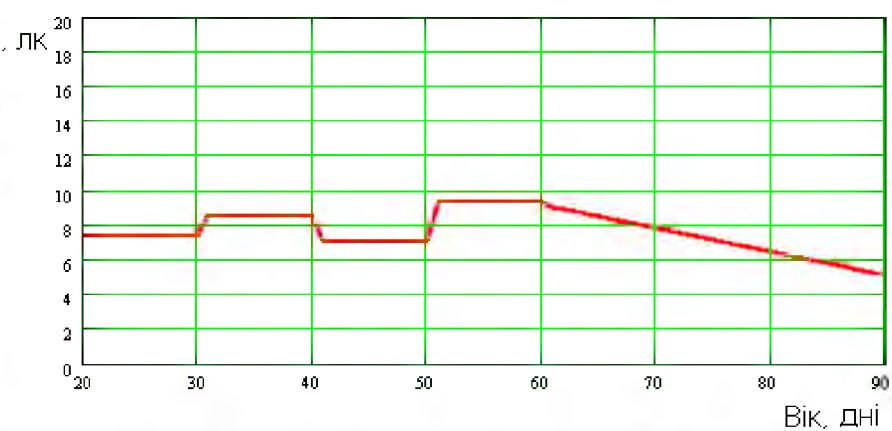


Рис. 3.8. Залежність освітленості у пташнику від віку птиці

При вирощуванні птиці також важливим є режим освітлення протягом доби. Досвід показує, що найбільше уваги необхідно приділяти режиму освітлення в період годування. Оскільки цей період незначну доцільність підвищувати освітленість до 30 лк.

Тобто доцільно використовувати добовий світловий режим, наведений на рис. 3.10.

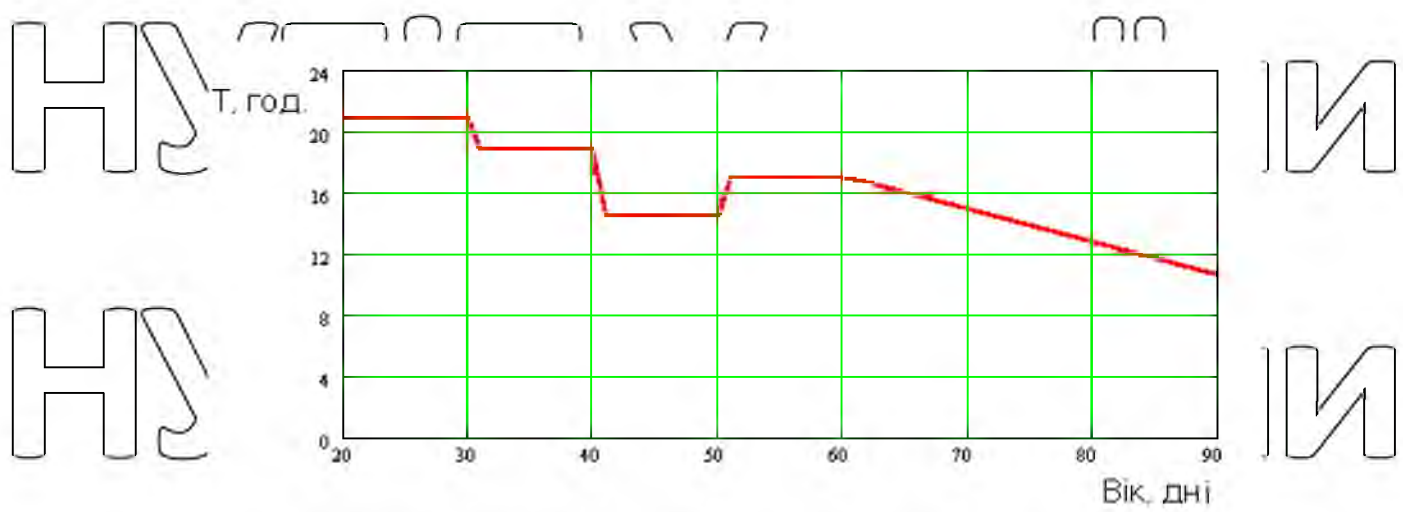


Рис. 3.9. Залежність світлового періоду за добу від віку птиці

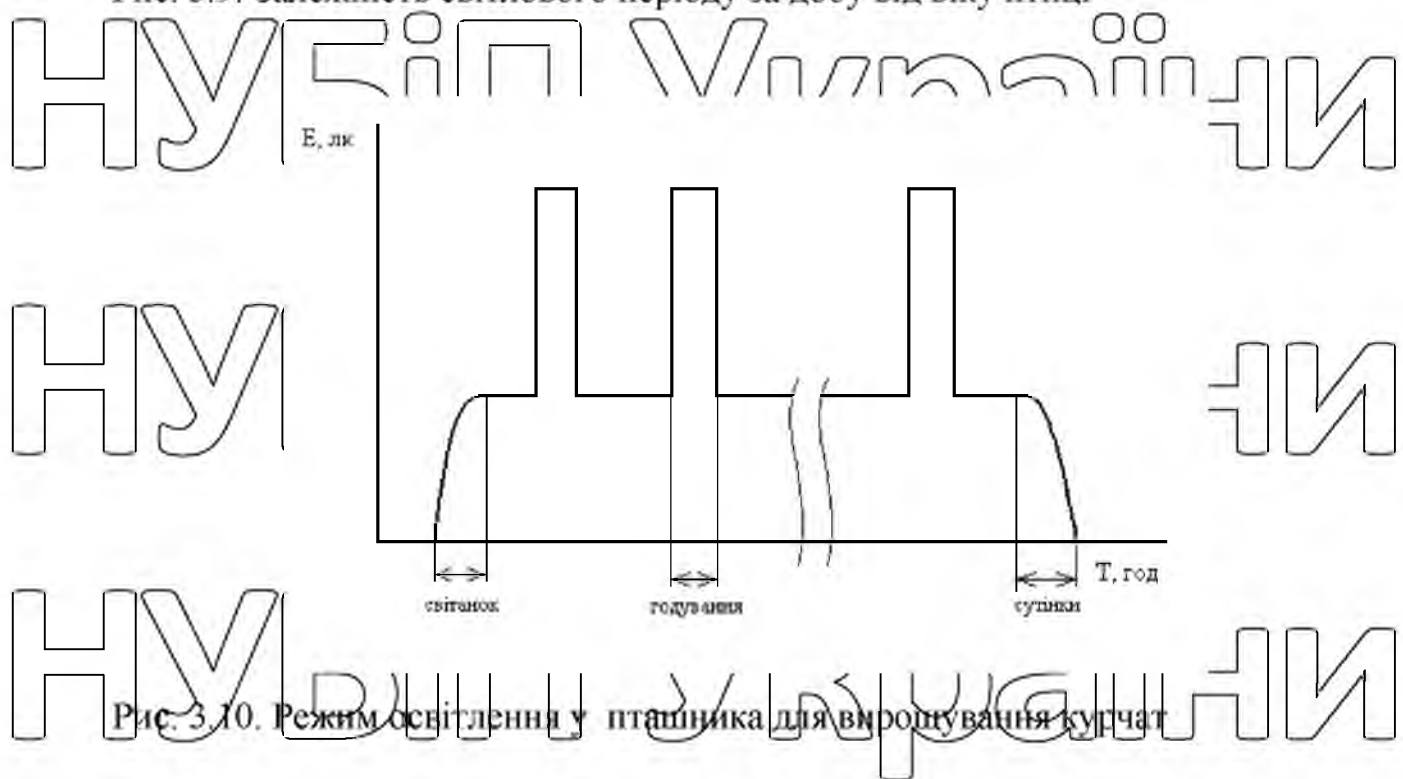


Рис. 3.10. Режим освітлення у пташника для вирощування курчат

# РОЗРОБКА ТЕХНОЛОГІЧНОГО ПРОЦЕСУ ЗНЕЗАРДЖЕННЯ КОРМІВ

## 4.1. Аналіз стану сучасних технологій знезаражуючої обробки.

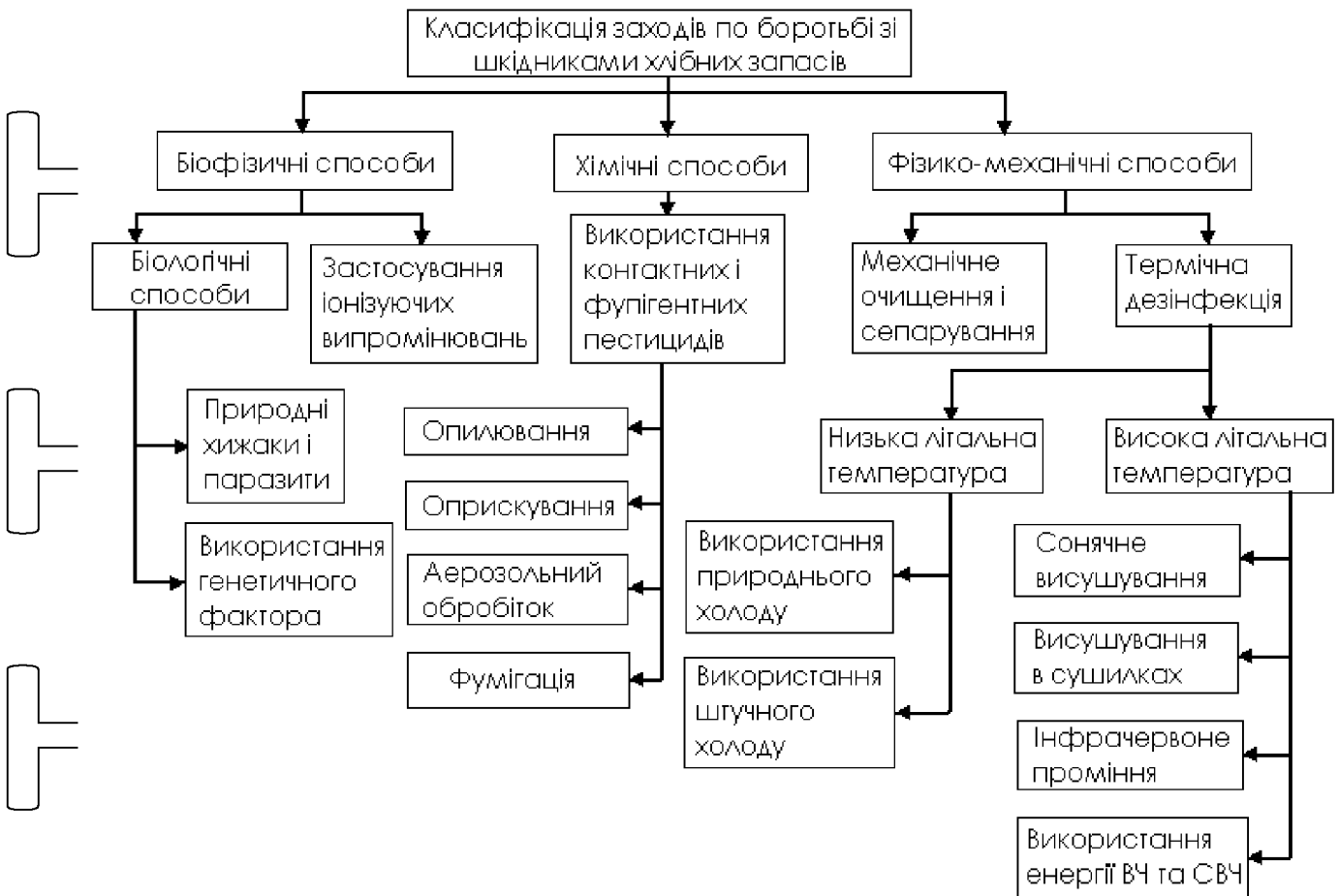
Щоб зекономити хлібні ресурси, потрібно вести постійну боротьбу з шкідниками хлібних запасів. За даними ФАО (організація ООН з питань продовольства та сільського господарства) на теперішній час близько 5% світового збору зернових культур знищується гризунами та шкідниками.

Вживані на теперерішній час засоби та способи боротьби з шкідниками в значній мірі знижують розселення шкідливих комах та кліщів. Оскільки чисельність шкідників та кількість заражених продуктів кожного року залишаються приблизно на одному рівні, потрібно постійно удосконалювати заходи боротьби з шкідниками хлібних запасів. Класифікація цих заходів приведена на рис. 3.1. Розглянемо основні переваги та недоліки існуючих методів. У приведений схемі виділяються три основні способи боротьби: біофізичний, хімічний та физико-механічний, що охоплюють переважну більшість використовуваних або таких, які розробляються прийомами боротьби з шкідниками хлібних запасів.

**Способ біофізичної боротьби.** Розвиток способу біофізичної боротьби з шкідливими комахами та кліщами йде по декількох напрямах: вивчаються природні хижаки та паразити шкідників з світу комах та кліщів, можливість їх акліматизації, масового розведення та використання; розробляються засоби та способи придушення спадковості досліджуються раціональні поєднання пестицидів з бактерійними препаратами. Але відносно шкідників хлібних запасів способи біофізичної боротьби використовуються у менший мірі, ніж другі способи. Це зв'язано з особливостями об'єкту, що піддається захисту від комах. Наприклад, введення в зерно та зернові продукти хижаків та паразитів

чи стерильних самців практично є мало придатним, тому що це засмічує продукт та погіршує його якість. Швидкий розвиток ядерної фізики та

# НУВІЙ Україні



# НУВІЙ Україні

Рис.3.1. Класифікація заходів з боротьбі зі шкідниками зернових

культур.

У основі біологічної дії іонізуючих випромінювань є поглинання їх енергії, яка виявляється в іонізації та збудженні атомів та молекул живої матерії. Іонізація живої тканини що приводить до розриву молекулярних зв'язків та зміни хімічної структури різних з'єднань.

Заміна в хімічному складі клітки порушують їхнє нормальне функціонування, обмін речовин, розмноження та інше і в результаті приводять до загибелі клітки. Недоліки методу променевої дезінфекції зернопродуктів є зменшення агротехнічних якостей зерна при дозах опромінювання, потрібних для повної стерилізації комах, та також істотне

**Н**огіршення товарних якостей зерна при таких підвищених дозах опромінювання. До недоліків способу також відноситься необхідність в створенні специфічних заходів захисту обслуговуючого персоналу від можливості опромінювання. В сучасних установках товщина захисних шарів понад метра з бетону та десятка сантиметрів з свинцю.

**Н**а спосіб хімічної боротьби. Цей спосіб більш радикальний та найбільш поширений та ґрунтуються на застосуванні різних контактних та фумігантних пестицидів. До пестицидів, які використовуються в боротьбі з шкідниками зернопродуктів, приймається цілий ряд вимог. Всі вони мають володіти високою токсичністю, не повинні сильно змінювати своїх пестицидних властивостей під впливом навколоїшніх умов середовища незаселеного шкідниками; вологості, температури, світла та інші. Вони не мають впливати на біохімічні, хлібопекарські, харчові, насінні та інші властивості зерна та продуктів його переробки; не мають передавати їм запаху та залишати шкідливих залишків після обробки; мають бути найменьш отруйними чи неотруйними для людини; не володіти вогне - та вибухонебезпечними властивостями; бути дешевими та недефіцитними. Але практично жоден, із вживаних в теперішній час пестицидів не відповідає перерахованим вимогам.

**Н**а Важлива перевага хімічної збереження зерна низькомолекулярними кислотами простота та можливість швидкого впровадження в виробництво.

**Н**а Проте проблема хімічної збереження зерна до нинішнього часу не вирішена ні в нашій країні, ні за кордоном, проте, не дивлячись на велику кількість робіт в області збереження зерна кислотою пропіона, та іншими жирними кислотами, відсутні чи є неповними дані про їхній вплив на технологічні, біохімічні та харчові властивості зерна.

**Фізико-механічний спосіб.** До такої групи засобів боротьби з шкідниками відносяться сепарація зерна з використанням різних прийомів для околодження зерна до низьких та летальних для шкідників температур чи нагрівання зерна до високих, смертельних для життя шкідників, температур. Механічне очищення зерна на машинах так як спосіб боротьби з шкідливими

комахами та кліщами - не дає надежного ефекту на тривалий час, оскільки зерно повністю не знешкоджує шкідників, які знаходяться в міжзерновому просторі, та абсолютно не відріяються зерна з прихованою формами зараження. Механічне очищення зерна лише ефективне в холодну погоду,

коли з одночасною сепарацією зерно охладжається. Використання низьких

„смертельних” температур для боротьби з комахами та кліщами із застосуванням природно охолодженого повітря має застосування в основному в районах із хорошим для цього кліматом. Так що для забезпечення 100% загибелі цього небезпечного шкідника хлібних запасів,

такі як довгоносик, у коморі необхідно зберігати температуру зерна на рівні мінус 10 °С не менше 14 діб.

І найефективнішим є використання високих „смертельних” температур, де разом із дезинфекцією зерна в короткі терміни відбувається зменшення

його вологості. Педвищенння температури зерна для його дезинфекції можна

різними способами: інфрачервоними променями, передачею тепла, конвекцією, застосуванням енергії надвисокої та високої частот

Температурний режим обробки приймається, виходячи із стану маси та виду шкідника. Проте слід зазначити, для досягнення 100% загибелі всіх шкідників

для всіх стадій, необхідна температура зерна наприклад + (65 °С). В такий же час нагрів до такої температури зерна, за даними ВНІЗ призводить до значного погріяння його агрономічних якостей. З цього бачимо, що

необхідно застосовувати такі методи нагріву, що володіли б селективними

властивостями та забезпечували б бістрій нагрів шкідників, а не зернової маси. До таких методів належать методи нагріву за допомогою

інфрачервоних променів та енергії високої та надвисокої частот.

В теперішній час прогресивнішим слід зазначити метод обробки зерно- продуктів за допомогою енергії надвисокої та високої частот. Особливістю

високочастотного нагріву, який принципово відрізняється від інших методів нагріву, що виділяє теплову енергію в самій масі нагрівального матеріалу.

При такому нагріві енергія електромагнітного поля змінюється в тепло

внаслідок наявності в матеріалах діелектричних втрат. Зерно та продукти цеї переробки, а також шкідники, які в ньому знаходяться, є з фізичної точки зору діелектриками, що підкоряються загальним законам властивим твердим діелектрикам. Общее виділення тепла в матеріалі за одиницю часу від сдвигу заряджених частинок та струмів провідності, виражається формулою:

$$P_{\text{пот}} = 0,55 \varepsilon' \operatorname{tg} \delta f E^2 \cdot 10^{-12} \text{ Bm/cm}^3, \quad (4.1)$$

де  $\varepsilon'$  - відносна діелектрична проникність матеріалу;

$\operatorname{tg} \delta$  - тангенс кута втрат;

$f$  - частота коливань, Гц

$E$  - напруженість поля В/см.

З формулі (4.1) видно, що процес виникнення тепла при нагріванні в

електромагнітному полі високої частоти належить від фізичних властивостей матеріалу, цих електричних параметрів. При неоднорідному складі матеріалу,

до яких і відноситься заражене шкідниками зерно, мають окремі його частини, які мають різні значення  $\operatorname{tg} \delta$ , нагріватимуться порізно. Тому, враховуючи електричні константи середовища, потрібно підібрати таку частоту  $f$ , при якій буде відбувається максимальне поглинання енергії

шкідниками, а не нашимзерном, в тих випадках, коли метою опромінювання є дезинфекція зерна.

Теперішній етап розвитку сільського господарства характеризується слідуючими інтенсифікаціями технологічних процесів при яких забезпечення високої якості продукції, впроваджується потокові лінії, оснащених засобів для автоматичного регулювання процесів, повною їхньою автоматизацією. У цьому плані застосовувати енергію електромагнітного поля високих та надвисоких частот, представляє особливий інтерес.

#### 4.2. Озонування кормів, як ефективний спосіб підвищення

харчової цінності.

Мікрофлора зерна складає майже повністю з аеробних мікроорганізмів. Анаеробні мікроорганізми в які представлені дріжджами, деякими видами мукорових грибів та бактерій.

Відомо, що у випадку доступу повітря до насінньового матеріалу та при наявності других сприятливих умов (відповідної температури та достатньої вологості) всі аеробні мікроорганізми, та в першу чергу плісняви гриби, мають активно розмножуватися. При таких умовах в початковий період зберігання, коли повітря між зернового простору в якому нормальний склад, тобто містить кисень, мікрофлора зерна буде розвиватися дуже швидко.

В умовах, якщо можливий розвиток мікроорганізмів так як у недавно зібраному, та при тривалому зберіганні зерні та насінні всіх культур, що правило насамперед всього розвиваються плісняви гриби. Гриби більш пристосовані до існування в зерновій масі, ніж бактерії, дріжджі та актиноміцети. Це пояснює наступні властивості плісняви:

1. здатність розвиватися при меншій вологості зерна та відносної вологості повітря у між зерновому просторі;
2. не сильно високим температурним оптимумом ( $20\ldots40^{\circ}\text{C}$ ) та здатністю краще розвиватися при більше низьких температурах ( $10\ldots20^{\circ}\text{C}$ );
3. аеробним характером дихання, а при звичайних методах підтримання зернової маси (особливо коли тільки закладена на зберігання) у якого достатній запас кисню;
4. вмістом великого асортименту гідролітичних ферментів, що здатні краще впливати на покривні тканини зерна.

Відомо, для настання стану спокою насіння або зерна при зберіганні необхідно знизити доступ кисню до зародку. Так як зниження інтенсивності дихання є одним із важливих факторів, які впливають на тривалість зберігання насіння. Тому з появою на насінні грибків та бактерій інтенсивність дихання біомаси зразу змінюється. Одним з таких проявів діяльності мікроорганізмів має бути посилення дихання насіння.

Застосування в такому випадку стерилізації насіння надає успішних результатів, що й в самій хімічній протравлювачі здатності показувати вплив на процес дихання. В не багатьох випадках інтенсивність дихання протравленого насіння чи зерна перевищувала на ту же величину у контролі.

Вплив мікроорганізмів може проявлятися у наступних формах:

1. втрати партії зерна ознаки свіжості, наприклад зміною цих показників якості, як колір, смак запах та кислотність;

2. погіршення технологічних якості зерна (мукомельних, круп'яних та хлібопекарських);

3. зменшення посівних та товарних якостей зерна у зв'язку з ураженням його зародку;

4. набування зерном токсичних властивостей;

5. утворення та накопичення в зерновій масі великої кількості тепла;

6. втрати в масі сухої речовини зерна.

Начальний період розвитку мікроорганізмів проходить зовнішньо, майже непомітно. Точно його можна побачити тільки, спостерігаючи динаміку мікрофлори зерна, що на зернах ще не виявляються наявні признаки псування. Небезпека такого періоду полягає в отриманні можливості для

своєї активного розвитку, бактерій та плісняви як правило це не припиняє своєї життєдіяльності без втручання людини та руйнуюча їх робота може довести зерно до неминучої стадії самозігрівання чи за пліснявіння та

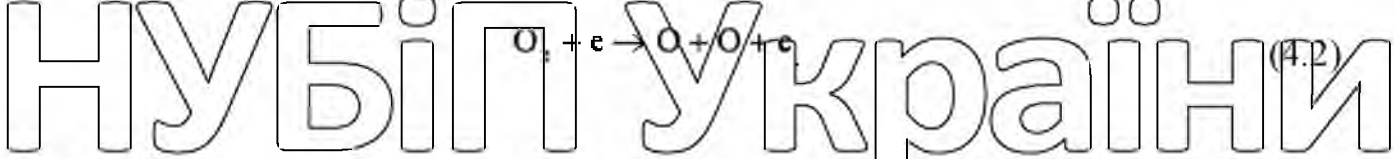
гноїння. Тому, дуже важливо взагалі не допускати в зерновій масі розвитку мікроорганізмів . Та своєчасно прийняти міри по запобіганню активному розвитку мікроорганізмів чи призупиненню його розвитку.

Відомо, що обробка озоном зерна зараженого токсигенним штамом Aspergillus flavus в концентрації 320 – 340 мг/м<sup>3</sup> на протязі 15 хвилин руйнує афлатоксини на 70 %. Токсичні властивості висушеного зерна кукурудзи,

ячменя, пшениці при концентрації озону 2 г/м<sup>3</sup> закінчують діяльність за 4 хвилини після початку обробки .

Тому найперспективним напрямком є обробка в сильних електрических полях. Таким способом який дозволяє утворювати озон по всьому об'єму суміші, без використання окремих генераторів озону із системою поданії їх до насіннєвої суміші. Наприклад має бути спосіб економічний та максимально продуктивним. Саме таким спосібом і пропонується обробка корму птиці.

В результаті виникнення іонізаційних процесів в повітряних прошарках зернової маси відбуваються електрохімічні реакції, в результаті яких є утворення озону та його розкладання. Озон має алотропну форму кисню з хімічною формулою  $O_3$ . При таких нормальних температурах та тиску він являє собою газ із характерним запахом та має блакитний колір (за грецькою озон = що пахне). При температурі кипіння, що дорівнює  $-119,9^{\circ}C$  озон перетворюється в рідину темно-синього кольору. Такий процес утворення озону складається із декількох етапів. Основного реакцію володіє процес дисоціації молекул кисню при взаємодії з вільними електронами:



Постійна часу цього процесу не велика та складає одиниці нано-секунд.

Наступний етап це утворення молекул озону:



В цьому процесі приймає участь третя частина  $M$ : іон, молекула,

електрон чи атом у нейтральному чи збудженному стані. Дані дослідження

показують, що при утворенні озону це потребує час до 10 мс.

Крім того утворення озону відбувається з розкладанням молекул  $O_3$  за реакцією:



Схема визначення концентрації озону в зернові суміші в залежності від інтенсивності іонізаційних процесів наведена на рис. 4.2.

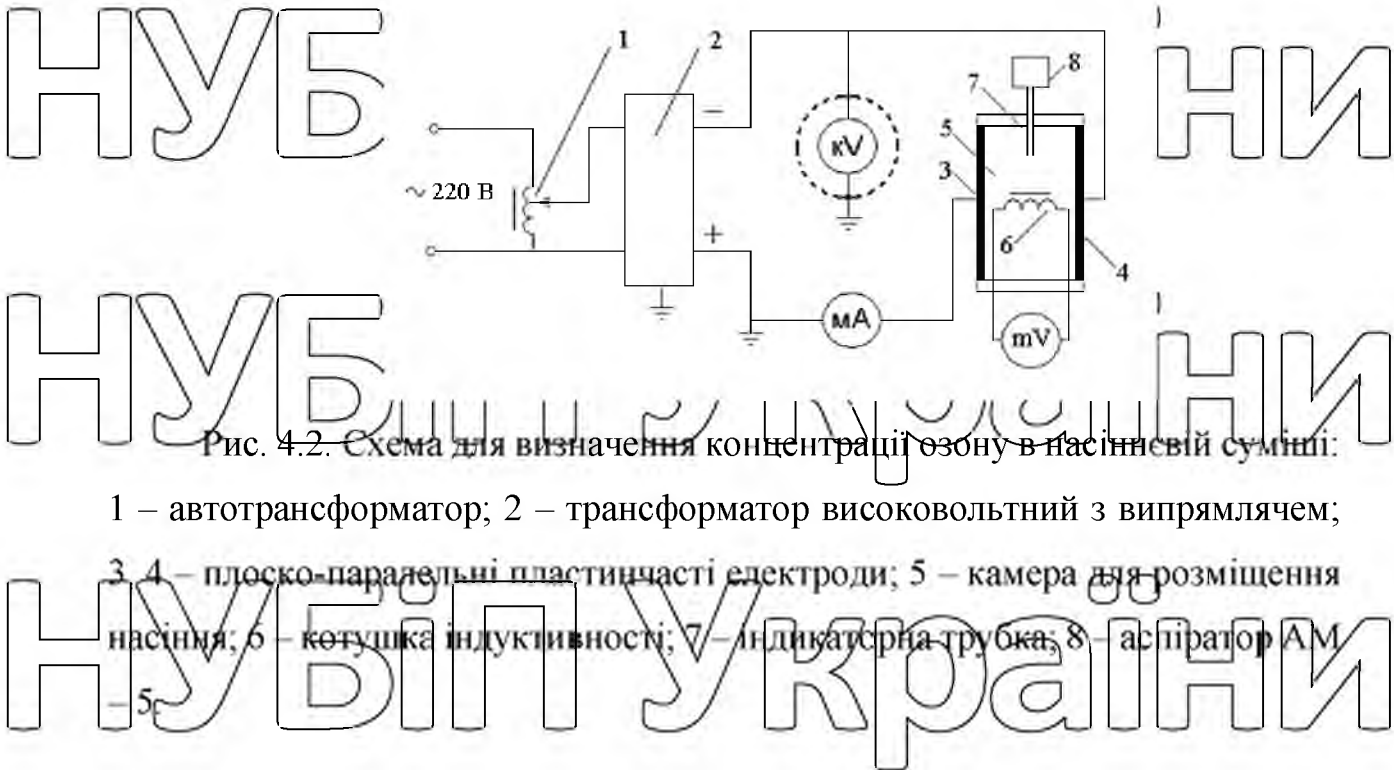


Рис. 4.2. Схема для визначення концентрації озону в насіннєвій суміші:

1 – автотрансформатор; 2 – трансформатор високовольтний з випрямлячем;

3, 4 – плоско-паралельні пластинчасті електроди; 5 – камера для розміщення насіння; 6 – котушка індуктивності; 7 – індикаторна трубка; 8 – аспіратор АМ

В дослідній установці індикаторна трубка 7 (скляна трубка довжиною 45 мм, діаметром 2,5 мм), що наповнена індикаторним порошком, та приєднана з одного боку до аспіратору, а з іншого до камери де розміщене насіння 5. Під час роботи установки в насіннєвій суміші відоувваються іонізаційні процеси які проходять через індикаторний порошок

протягуючись до повітря. При наявності шару, окраїнного в сине-флюетовий колір, мірлялася його довжина. Концентрацію озону ( $Ko$ ) в камері обробки зарнової маси в  $\text{мг}/\text{м}^3$  обраховували за формулоко:

$$Ko = 0,39 \frac{l \cdot 1000}{V}, \quad (4.5)$$

де 0,39 – емпіричний коефіцієнт;

$l$  – довжина окраїнного шару, мм;

$V$  – об'єм проби повітря, мл.

Такі дослідження проводили на ячмені сорту “Скарлет”. Концентрація

озону в насіннєвій суміші визначалася при зміні відносної інтенсивності в іонізаційних процесах  $U_i$  від 3 до 45 мВ. Крім того, щоб досліджувати

залежність концентрації озону від однакової інтенсивності іонізаційних

процесів в залежності від об'єму насіння. Обрахунки досліджень показали, що в такій концентрації озону залежить від відносної інтенсивності іонізаційних процесів та об'єму зерна.

Зрозуміло, що в одній і тіж відносній інтенсивності іонізаційних процесів концентрація озону буде менше, чим більше об'єм зерна. Для перевірки такого положення були проведені деякі експериментальні дослідження. При однаковій відносній інтенсивності іонізаційних процесів ( $U_i=15$  мВ) вираховували концентрацію озону в різному об'ємі насіннєвої маси. Як наприклад, на рис. 4.3. приведені одні із результатів таких досліджень.

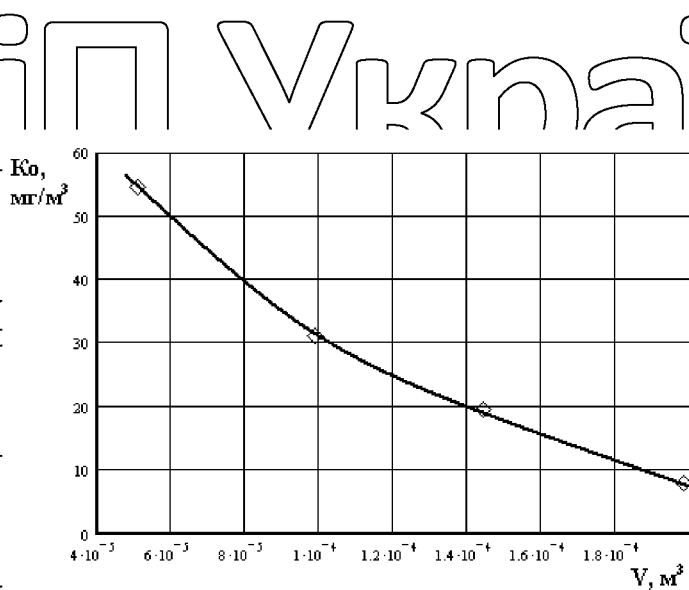


Рис. 4.3. Залежність концентрації озону в зерновій масі ячменя сорту "Скарлет" від об'єму при постійній відносній інтенсивності іонізаційних процесів ( $U_i=15$  мВ).

З приведеного рис. 4.3 видно те, що експериментальні дослідження підтвердили вище приведені припущення щодо зниження концентрації озону при збільшенні об'єму зернової маси. Тому і для характеристики утворення озону в масі зерна, що під дією електричного поля високої напруги,

було зайдено поняття питомої інтенсивності іонізаційних процесів  $U_{i\text{пит}}(\text{В}/\text{м}^3)$ .  $U_{i\text{пит}}$  визначається за формулою:

**НУБІП України**

де  $V$  – об'єм насіннєвої маси,  $\text{м}^3$

(4.6)

За допомогою програмного забезпечення на ПЕОМ було виведено

аналітичний вираз залежності концентрації озону в насіннєвій масі ячменя від питомої інтенсивності іонізаційних процесів  $Ko = f(U_{i,pnu})$ , що представлена формулою:

$$Ko = \frac{a + c \cdot U \min^d}{b + U \min^d}, \quad (4.7)$$

де  $a, b, c, d$  – коефіцієнти які визначаються видом сільськогосподарської культури (для ячменя  $a = -1838$ ;  $b = 14897$ ;  $c = 504$ ;  $d = 1,88$ ).

Результати досліджень приведені на рис. 4.4.

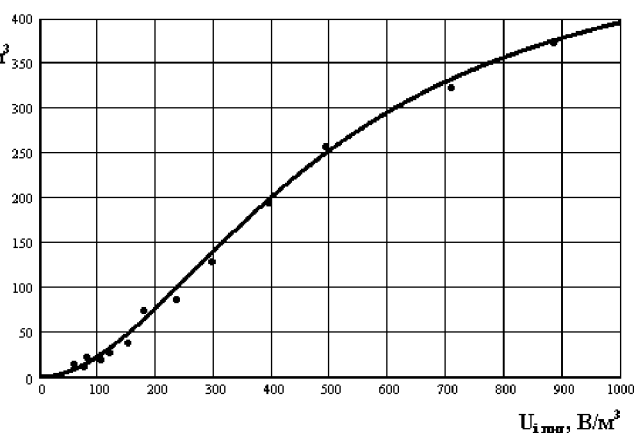


Рис. 4.4. Залежності концентрації озону що впливають на зернову масу

ячменя сорту “Скарлет” від питомої інтенсивності іонізаційних процесів: • –

дані приведені за матеріалами дослідження; — – графік функції побудований за емпіричною формулою.

Підставляючи у рівнянні з визначенням концентрації озону вираз для

питомої інтенсивності іонізаційних процесів ми отримаємо:

**НУБІП України**

**НУБІП України**

$$K_o = \frac{a + c \cdot \sqrt{\frac{116 \cdot E^3 \cdot j^2}{0,07 + 2 \cdot j^2}}}{b + \frac{116 \cdot E^3 \cdot j^2}{0,07 + 2 \cdot j^2}} \quad (4.8)$$

**НУБІП України**  
Цей вираз (4.8) дозволяє визначати найефективніші режими обробки зернового матеріалу.

**НУБІП України**  
Загалом приведені експериментальні дослідження дозволяють дати висновок, що приведена технологія обробки зерна в електричному полі високої напруги по критерію бактерицидної дії повністю відповідає теперійним вимогам.

**НУБІП України**

#### 4.3 Розробка технології знезараження кормів

**НУБІП України**  
Установка з обробки зернового матеріалу в електричних полях високої напруги має відповісти наступним вимогам:

**НУБІП України**  
- забезпечення плавного регулювання напруженості електричного поля в межах 0...10 кВ/см;

- автоматичного відключення установки при перевантаженні;
- забезпеченість безпечної праці обслуговуючого персоналу;

**НУБІП України**  
Виходячи з таких вимог, що передовані засобами з електрофізичної обробки в полях високої напруги, розробили установку для обробки в електричних полях високої напруги, на основі якої використані схемні рішення.

**НУБІП України**  
Розроблена блок-схема алгоритму роботи установки для обробки зернового матеріалу приведена на рис. 4.5.

**НУБІП України**

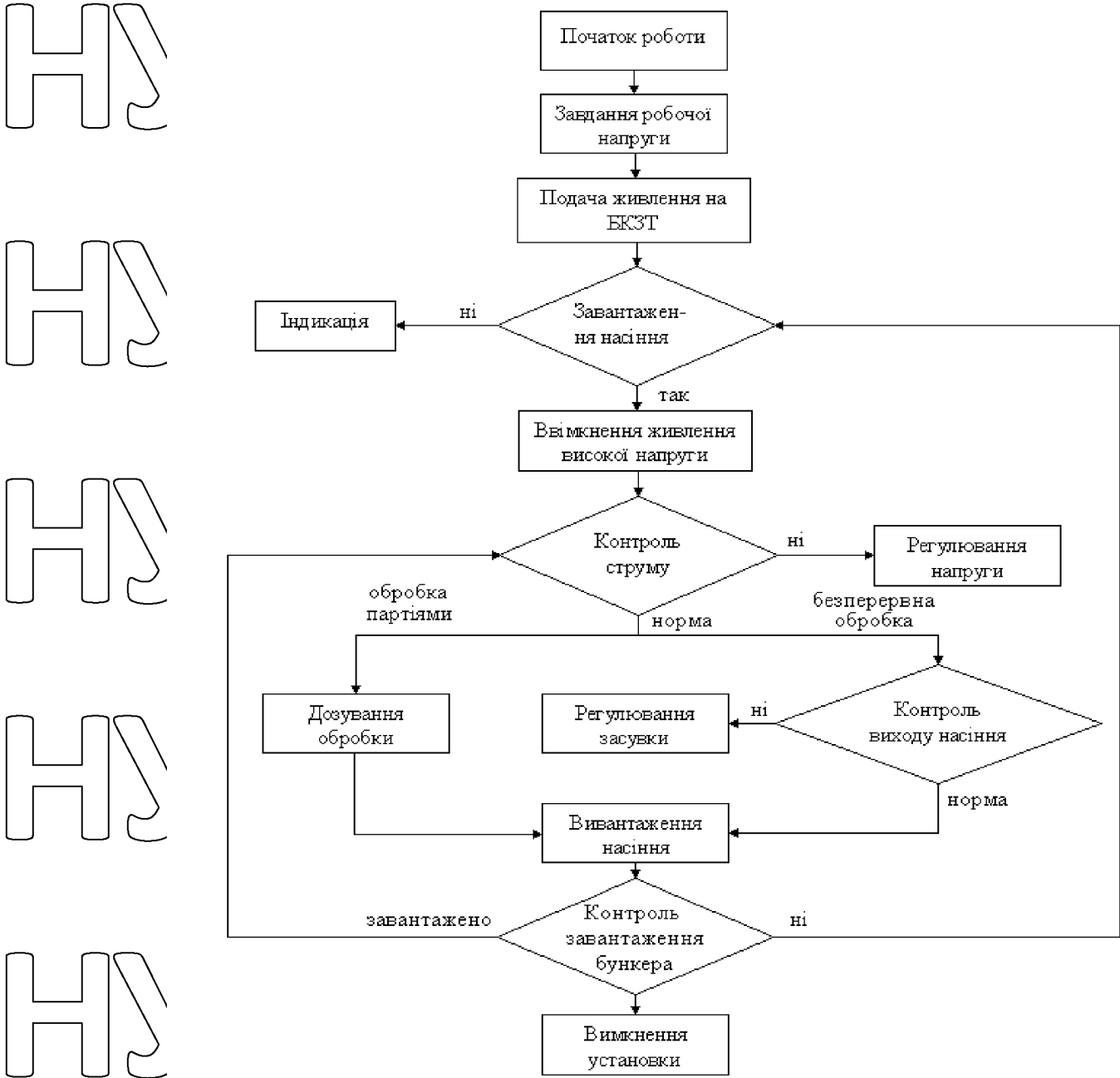


Рис. 4.5. Блок-схема алгоритму роботи установки для обробки

зернового матеріалу.

**НУБІЙ Україні**  
Запропонована електротехнологічний пристрій з впливу сильних електрических полів відрізняється за своєю універсальністю. На одному і тому ж пристрої можна виконати обробку цілого ряду зерна сільськогосподарських культур без заміни конструктивних параметрів, заміни робочих органів та додаткових наладок. Універсальність цієї установки полягає і в тому, що

можна обробляти зерно так як і для покращення зберігання так і з метою стимуляції біологічних процесів у зерні перед самим приготуванням корму для птиці.

Розроблений пристрій що вигідно відрізняється від існуючих

електротехнологічних установок тим, що:

- Не потребує значних коштів для виготовлення;  
- має не великі габарити та матеріаломісткість;  
- режими обробки які забезпечує пристрій не споживає значну

кількість електроенергії;

- є екологічно чистою продукцією рослинництва обробленою в даній установці;  
- через простоту своєї конструкції потребує не висококваліфікованого обслуговуючого персоналу.

Функціональна схема установки приведена на рис. 4.7.

До складу пристрію входять: тиристорний регулятор напруги, підвищувальний трансформатор з дво-полярним помножувачем напруги (чи високовольтний трансформатор з випрямлячем), електронний програматор, вольтметр, амперметр, датчик струму, камера обробки, плоско-паралельні електроди.

Електрична схема установки поєднує ряд ланюгів, що виконують управління живлення установки та перетворення низької напруги 220 В однофазного змінного току промислової частоти в регульовану високу напругу 0...50 кВ. Висока напруга що підводиться до плоских електродів камери, що і відбувається обробка в сильному електричному полі.

НУБІП України

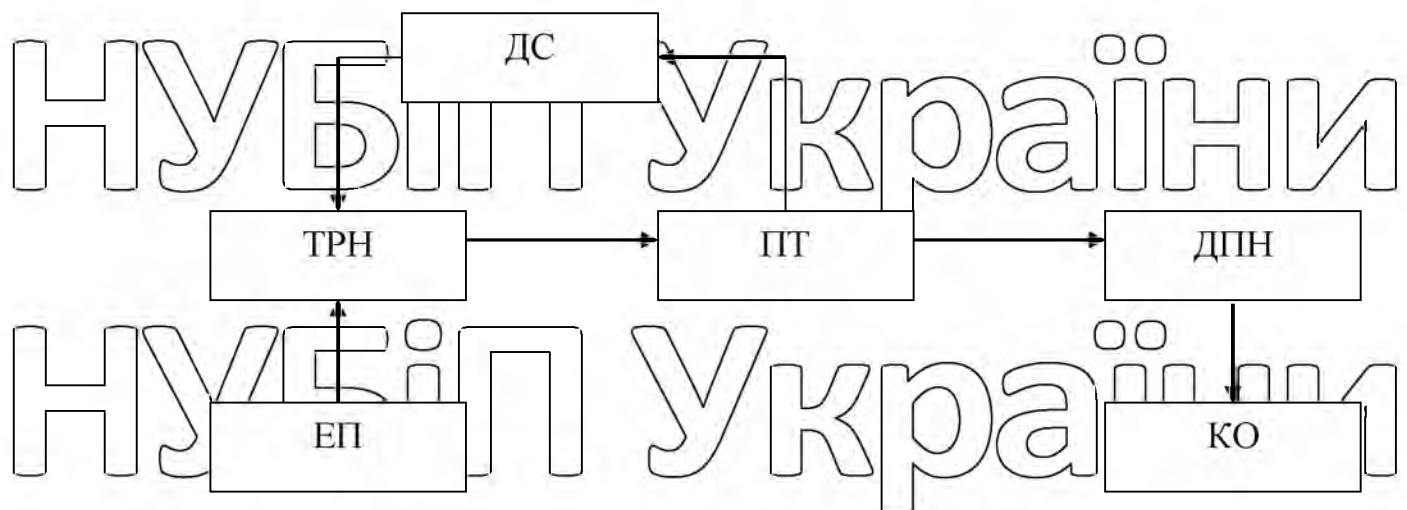


Рис. 4.6. Функціональна схема установки для обробки насіневого матеріалу в електрических полях високої напруги: ЕП – електронний програматор; ТРН – тиристорний регулятор напруги; ПТ – підвищувальний трансформатор; ДПН – двополярний помножувач напруги; ДС – датчик струму; КО – камера обробки.

Робоча камера яка представляє собою систему між собою ізольованих друг від друга плоских паралельних електродів, до яких підводиться висока напруга. В між електродному просторі наше зерно діє електричне поле постійного струму високої напруги та електричний струм, озон і підвищення температури. Об'єм робочої камери може і змінюватися в залежності від виду зернового матеріалу.

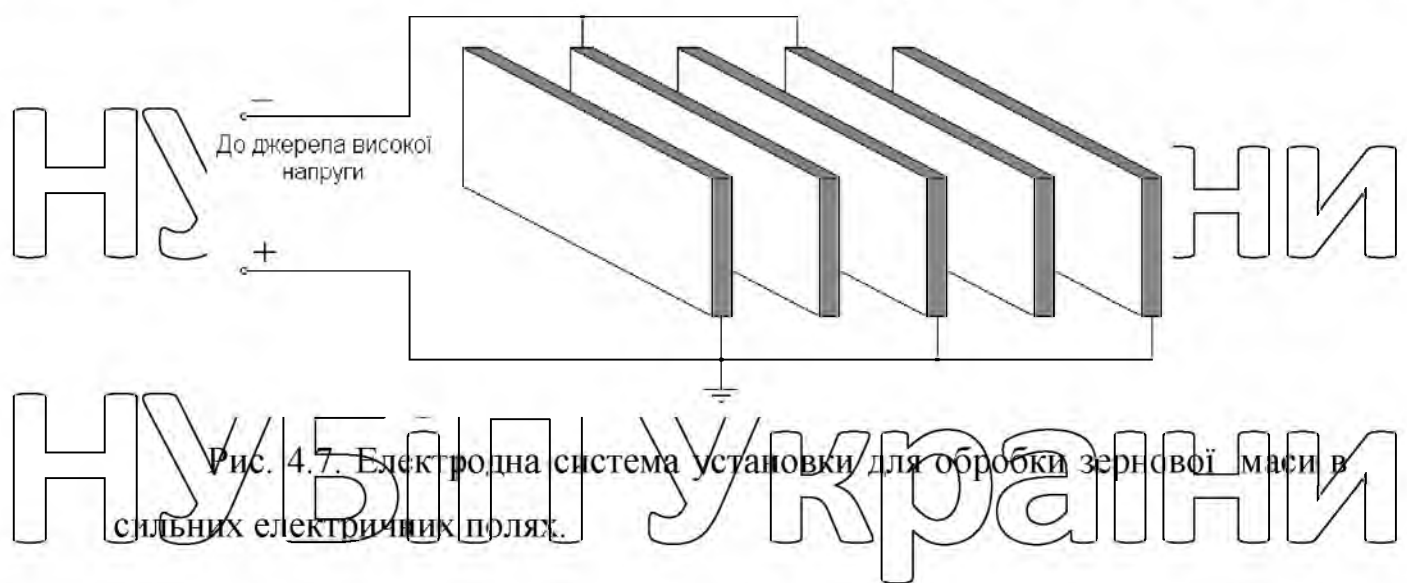


Рис. 4.7. Електродна система установки для обробки зернової маси в сильних електрических полях.

Крім того, даному запропонованому пристрою та способу обробки вигідно відрізняються від існуючих тим, що вони генерують озон та аероній безпосередньо в самій продукції під дією електростатичного поля та високої напруги, тим самим забезпечується рівномірність обробки по всьому об'єму.

Щоб здійснити обробку зерна немає необхідності в окремомій системі вентилювання та генераторі озону, крім того, наший запропонований спосіб та установка для цього дозволяє здійснити обробку продукцію в запечатаних пакетах.

Схема варіанту установки, що використовується тільки для насипного матеріалу представлена на рис. 4.8.

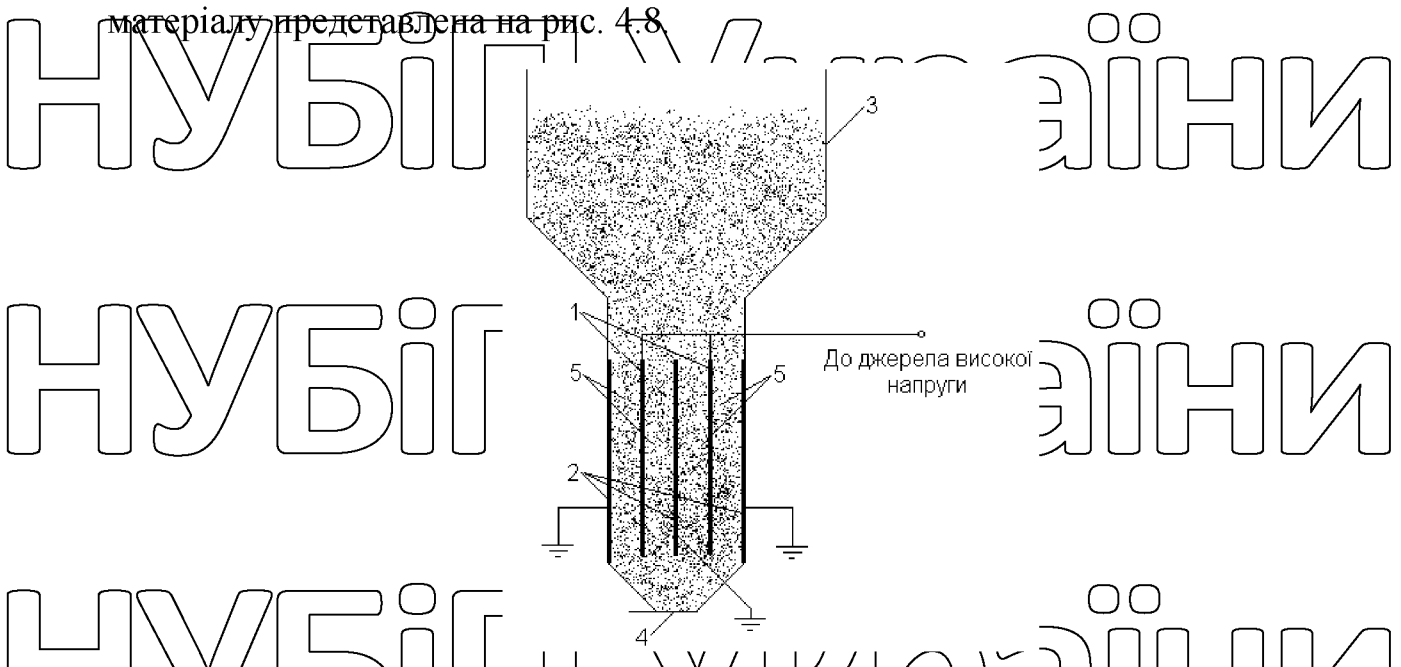


Рис. 4.8. Схема установки для обробки насипного зернового матеріалу в сильному електричному полі: 1 і 2 – плоско паралельні електроди; 3 – бункер; 4 – засувка; 5 – камера обробки.

В даному випадку незаземлений високовольтний електрод занесено в середину установки. Обслуговування електроустановки високої напруги пов'язані з підвищеною небезпекою ураження електричним струмом. У зв'язку з цим нам потрібно користуватися обов'язковою умовою при роботі на установках електронно-іонної технології це с заземлення.

Основним джерелом небезпеки пораження електричним струмом в таких установках високої напруги є електрод, що знаходиться під високим потенціалом по відношенню до заземленого корпусу пристроя, та має відносно легкий доступ до нього обслуговуючого персоналу. В нашій установці електрод із високим потенціалом по відношенню до заземленого корпусу розташоване в середині установки, який в свою чергу виключає контакт із ним обслуговуючого персоналу. Це робить пристрій значною мірою безпечною та ресурсозберігаючим, тому що відпадає потреба в захисному металевому кожусі.

Зовнішній вигляд установки наведено на рис. 4.9.



Рис. 3.11. Зовнішній вигляд установки для обробки насипного зернового матеріалу в сильному електричному полі.

Ще одною з позитивних сторін є розроблення установки те, що вона відносно легко піддається автоматизації процесу. Наведена функціональна схема установки на рис. 4.10.

# НУБІЙ України

Установка може працювати так як і у ручному режимі так і в автоматичному.

В ручному режимі установка працює наступним чином:

Спочатку за допомогою завантажувального транспортера засипається зерновою масою установку. Потім встановлюємо необхідний рівень напруги, та контролюючого значення струму. Потім обробка може відбуватися за двома способами.

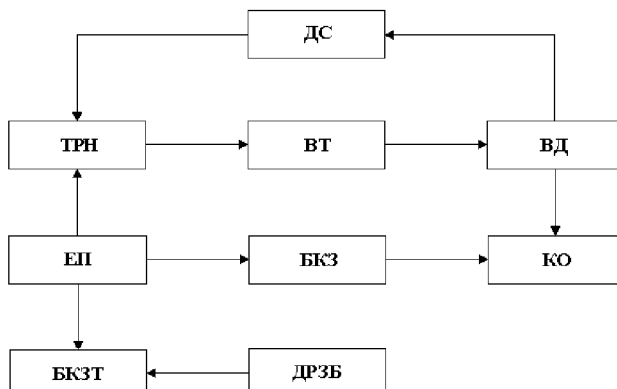


Рис. 3.12. Функціональна схема установки для обробки зернового

матеріалу в сильних електрических полях: ЕП – електронний програматор; ТРН – тиристорний регулятор напруги; ВТ – високовольтний трансформатор; ВД

– відмінник на діодах; ДС – датчик струму; КО – камера обробки; БКЗ – блок керування засувкою; БКЗТ – блок керування завантажувальним транспортером; ДРЗБ – датчик рівня завантажувального бункера.

Перший спосіб. При даному способі попередньо бункер заповнюється

повністю. Потім за допомогою часткового відкривання засувки 4 регулюється необхідний вихід маси з приладу в урахуванням необхідної кількості часу для

переходу зерна від верхнього рівня електродів до нижнього. Потім необхідно

періодично вимикати й вмикати завантажувальний транспортер, заповнивши

таким чином бункер з зерновою масою. Ідея у процесі роботи потрібно

періодично контролювати рівень напруги та струму та при необхідності

регулювати їхній рівень. В результаті обробка зернової маси буде відбуватися безперервно.

*Другий спосіб.* При такому способі зазделегть установка заповнюється зерновою масою повністю по плоско-паралельні електроди 1 та 2. Після необхідного часу обробки треба вимкнути живлення електродів. Далі відкриваючи засувку 4 верно під дією своєї ваги поступає на транспортер чи в мішки. Потім після закриття засувки установки треба знову заповнити зерновою масою та повторити попередні операції. При цьому способі зернова маса обробляється однаково.

В автоматичному режимі установка працює так:

У встановлений час спрацьовує електронний програматор у таким чином вмикається завантажувальний транспортер. Зернова маса поступає зверху в началі в камеру обробки, а потім уже завантажується бункер 3. При досягненні відповідного рівня бункера зерном спрацьовує датчик рівня та завантажувальний транспортер виключається. В автоматичному режимі обробка може також виконуватися двома способами

*Перший спосіб.* Коли заповнеться бункер зерновою масою з допомогою електронного програматора поступає живлення на електроди установки та з відповідною витримкою часу запускає привід засувки, що в свою чергу відрегульована на певний рівень відкриття. При зниженні рівня зернової маси до заданого рівня за допомогою датчика рівня вмикається завантажувальний транспортер.

*Другий спосіб.* Заповнення бункера проходить так як і в першому способі. За допомогою електронного програматора надається живлення на електроди установки. Після чого витримка встановленого проміжку часу, який передбачено необхідним режимом обробки, живлення із електродів вимикається. Поряд з цим включається привід засувки. Засувка залишається

відкритою стільки, скільки потрібно для виходу з камери обробки зерна, що пройшло обробку (рівень верхніх кінців електродів). Потім засувка знову закривається й одночасно поступає живлення на електроди.

# РОЗДІЛ 5.

## ЕЛЕКТРОПОСТАЧАННЯ ПТАХОФЕРМИ

### 5.1. Розрахунок електричних навантажень.

Розрахунок навантажень виконуємо для всієї ферми тобто для п'яти пташників та насосної станції. Визначення електричних навантажень виконуємо на основі сумарних значень навантажень на вводі.

Розрахункові значення навантаження на вводах в окремі будівлі визначаємо на основі графіків електричних навантажень. Побудову графіку електричних навантажень виконуємо за наступним алгоритмом: на осі ординат відмічаємо споживану потужність, а по осі абсцис час роботи відповідного обладнання. Максимальне навантаження на вводі споживача (лівгодинний максимум) – це найбільша споживана потужність згідно даного графіка.

Найбільшими споживачами на фермі є електродвигуни. Потужність споживану ними розраховуємо за наступним рівнянням:

$$P_{ср} = (P_y * K_p) \eta \quad (5.1)$$

де  $P_y$  - номінальна потужність електродвигуна в режимі виконання технологічної операції, кВт;

Повна потужність при цьому складе:

$$Sp = P / \cos \phi = 137,35 / 0,8 = 171,7 \text{ кВА} \quad (5.2)$$

де  $P$  - найбільша споживана потужність, яка визначається із графіка навантаження, кВт.;

$\cos \phi$  - коефіцієнт потужності споживачів.

Навантаження на вводі птахоферми визначаємо методом ефективного числа електроспоживачів ( $n_{\text{еф}}$ ):

$$n_{\text{еф}} = (\sum P_{\text{вст}})^2 / \sum P_{\text{вст}}^2 \quad (5.3)$$

де,  $P_{\text{вст}}$  - загальна потужність електродвигунів, кВт.;

$n_{\text{ef}} = \frac{(2,5^2 + 63^2 + 3,3^2 + 6,6^2)^2}{(2,5^2 + 2,5^2 + 2,5^2 + 2,5^2 + 63^2 + 63^2 + 63^2 + 63^2 + 3,3^2 + 3,3^2 + 3,3^2 + 3,3^2 + 3,3^2 + 3,3^2 + 3,3^2)} = 4,98$

# НУБІП України

Коефіцієнт використання встановленої потужності приймаємо  $K_B = 0,5$ ;

$K_{\text{макс}} = 1,34$ .

Потужність на вводі рівна:

$$P_{\text{поз}} = K_{\text{макс}} * K_B * \sum P_{\text{вст}} = 1,34 * 0,5 * 234 = 156,78 \text{ кВт}, \quad (5.4)$$

# НУБІП України

Відповідно струм на вводі рівний:

$$I_{\text{поз}} = S_{\text{поз}} / \sqrt{3} U_n = (156,78 * 103 * 0,75) / (4,74) = 178,65 \text{ А} \quad (5.5)$$

# НУБІП України

Кабель для облаштування вводу обираємо згідно тривало допустимого струму та способом прокладання. Обираємо кабель АВВГ (4x70+1x70), прокладання в землі згідно діючих норм.

$$I_{\text{тр.доп}} > I_{\text{поз}}$$

$$210 \text{ А} \geq 178,65 \text{ А}$$

# НУБІП України

Вибір відного розподільчого щита виконуємо за напругою  $U_{\text{щ.н}} \geq U_{\text{мер}}$ , способом монтажу; номінальним струмом  $I_{\text{щ.н}} \geq I_{\text{поз}}$ ; наявністю відного вимикача; кількістю та номінальним струмом лінійних вимикачів; ступенем захисту.

# НУБІП України

Приймаємо силовий розподільчий щит накладного монтажу ПР11-386,54УЗ.1. із відним вимикачем ВА51-37-34. Щит містить 12 лінійних вимикачів типу ВА 51. Ступінь захисту PR54. Номінальна напруга 380 В. Номінальний струм 218 А. визначення параметрів трансформаторної підстанції виконуємо по найбільшому навантаженні, яке становить 156,78 кВт.

# НУБІП України

Для всіх інших приміщень розрахунки проводимо аналогічно. Графік роботи інших виробничих споживачів ферми невідомий, тому розрахункові навантаження цих споруд приймаємо за методичними

# НУБІП України

# НУВІП України

вказівкам по розрахунку навантаження в мережах 0,38-110кВ сільськогосподарського призначення'.  
Всі данні заносимо до таблиці 5.1.

Таблиця 5.1

## Електричні навантаження в різних приміщеннях птахоферми

Найменування споживачів	Кількість	Максимум навантажень, кВт
1 Пташник (19696 голів)	1	156,78
2 Пташник (11800 голів)	1	120
3 Пташник (10000 голів)	1	115
4 Пташник (6880 голів)	1	128
5 Пташник (7319 голів)	1	96
Насосна станція	1	11

Визначмо загальне навантаження групи будівель (пташників, насосної станції).

$$P_{\text{тр}} = (P_1 + P_2 + P_3 + P_4 + P_5 + P_{\text{н.с.}}) * k_0 \quad (5.6)$$

де  $P_{\text{тр}}, P_1, P_2, P_3, P_4, P_5, P_{\text{н.с.}}$  - розрахункові потужності всіх пташників птахоферми і насосної станції, кВт;  $k_0$  - коефіцієнт одночасної роботи; (0,8);

$$P_{\text{тр}} = (156,78 + 120 + 115 + 128 + 11 + 96) * 0,8 = 501,4 \text{ кВт},$$

Розраховуєм повну потужність в денний максимум:

$$S_d = P_{\text{тр}} / \cos \phi = 501,4 / 0,8 = 626,7 \text{ кВА} \quad (5.7)$$

## 5.2. Вибір джерела живлення.

Трансформаторна підстанція розміщується на території ферми, радіус електропостачання споживачів має бути не більше 400м. Згідно генерального плану ферми достатньо однієї трансформаторної підстанції. Загальна

потужність трансформатора із масляним охолодженням приймаємо за економічним інтервалом навантаження враховуючи можливість перенавантажень, за умовою:

$$S_{e.h.} \leq S_{\text{розрах.}} \leq S_{e.b.} \quad (5.8)$$

де  $S_{e.h.}$  та  $S_{e.b.}$  – нижня та верхня межа інтервалів навантаження трансформаторів, кВА;

$S_{\text{розрах.}}$  – розрахункове значення навантаження підстанції, кВА.

Згідно з розрахунків встановлюємо КПП ТК-630 тупикового типу.

Розраховуємо дійсний коефіцієнт завантаження трансформатора:

$$K_{\text{зд.}} = S_p / S_{\text{нр.}} = 626,7 / 630 = 0,99 \quad (5.9)$$

де  $S_p$  – споживана потужність в максимум навантаження, кВА;

$S_{\text{нр.}}$  – номінальна потужність трансформатора, кВА;

#### Вибір кількості трас ЛЕП – 0,38 кВ.

Кількість ліній напругою 0,38 кВ, які відходять від трансформаторної підстанції приймається із урахуванням:

- конструкції та схеми выбраної ТП;
- забезпечити надійність електропостачання об'єкта;

- максимального розвантаження ліній;

- зменшення втрат напруги в лініях.

Довжина прокладення та маршрути ліній визначаються з урахуванням можливості забезпечення організації охоронної зони, габаритів ПЛ, і можливості використання опор ПЛ для освітлення проїзної частини.

#### Розрахунок електричної мережі напругою 0,38 кВ.

Навантаження на кожній ділянці:

$$P_{\text{екв.}} = P_p \cdot K; \quad (5.9)$$

де  $P_p$  – максимальне розрахункове навантаження на невід'ємній ділянці,

кВт;

$K$  – коефіцієнт для врахування динаміки росту навантаження,  $K=0,7$ ;

# НУБІЙ України

Рекв - еквівалентне навантаження на певній ділянці кВт.

Переріз проводів ПЛ приймаємо згідно діленого максимального навантаження. Обрані проводи ПЛ перевіряємо на допустиму втрату напруги:

$$\Delta U_{\text{don}} \geq \sum_i^n \Delta U_{\text{num},i} \cdot S_{e,i} \cdot l_i, \quad (5.10)$$

де  $\Delta U_{\text{don}}$  - допустиме значення втрати напруги в лінії, %;

$\Delta U_{\text{num},i}$  - питома втрата напруги в лінії, % на 1кВА-км;

$S_{e,i}$  - еквівалентна потужність на розрахунковій ділянці, кВА;

$l_i$  - довжина розрахункової ділянки ПЛ, км.

Допустимі втрати напруги в ПЛ приймаються за допустимим значенням відхилень напруги на вводі споживачів та за початково-заданим відхиленням напруги на шинах районної підстанції 10 кВ.

Результати розрахунків допустимих втрат напруги в лініях 10кВ та 0,38кВ, вибір надбавок для трансформаторів споживчих підстанцій представлені в таблиці 5.2.

Таблиця 5.2

### Результати розрахунку допустимої втрати напруги

Елементи мережі	100%	25%
Шини 10кВ л/ст. 35/10кв	+5	0
Лінія 10кВ	-6	-1,5
Трансформатор 10/0,4 кВ:		
постійна надбавка	+5	+5
регульована надбавка	+2,5	+2,5
втрати	-4	-1
лінія 0,38 кВ	-7,5	0
споживач	-5	+5
допустима біля споживача	-5	+5

### 5.3. Перевірка захисної апаратури на спрацювання при однофазному або трифазному короткому замиканні.

Повірку вимикача QF3 при однофазному короткому замиканні перевіряємо за умовою:

$$I_{K3} \geq 3I_{ph,n} \quad (5.11)$$

Струм короткого замикання визначаємо згідно рівняння:

$$I_{K3} = \frac{U_\phi}{\frac{Z_{kt}}{3} + Z_n} \quad (5.12)$$

де  $U_\phi$  – фазна напруга, В;  
 $Z_{kt}$  – новий опір трансформатора, Ом;  
 $Z_n$  – повний опір ПЛ, Ом.

Знаходимо повний опір трансформатора:

$$Z_{kt} = \frac{26}{S_n} = \frac{26}{160} = 0,162 \text{ Ом} \quad (5.13)$$

Повний опір лінії визначаємо згідно рівняння:

$$Z_n = \sqrt{\left(\sum R_0^\ell\right)^2 + \left(\sum X_0^\ell\right)^2}, \text{ Ом} \quad (5.14)$$

де  $\sum R_n$  - загальний активний опір ліній, Ом;

$$\sum R_n = R_{l1} + R_{l2} + R_{l3} + R_{\text{конт}}, \text{ Ом} \quad (5.15)$$

$\sum X_n$  - загальний реактивний опір лінії, Ом.

$$\sum X_n = 2X'_{ph,n} + X''_\phi \quad (5.16)$$

де  $R_{l1}, R_{l2}, R_{l3}$  – опори ділянок лінії, Ом;  
 $R_{\text{конт}}$  – опір контактних з'єднань :

$R_{l_1}$  – трансформаторної підстанції 0,01 Ом;  
 $R_{l_2}$  – розподільного пристрою 0,015 Ом;  
 $R_{l_3}$  – магнітного пускача 0,03 Ом [3].

$U_\phi$  – зовнішній індуктивний опір, спричинений взаємодією фазного і нульового проводу, Ом  
 $X$  – внутрішній індуктивний опір, Ом.

$R_{l_i} = \rho \frac{l_i}{S} K_+$ , Ом (5.17)  
 де  $\rho$  – густина матеріалу проводів,  $\text{Ом} \cdot \text{мм}^2/\text{км}$ ;  
 $l_i$  – довжина ділянки лінії, що розраховується, км;

$S$  – площа поперечного перерізу проводів,  $\text{мм}^2$ ;  
 $K_+$  – температурний коефіцієнт

Отже, підставивши значення маємо:

$R_{l_1} = 31,4 \frac{0,01}{16} \times 1,18 = 0,023 \text{ Ом};$   
 $R_{l_2} = 31,4 \frac{0,005}{16} \times 1,18 = 0,011 \text{ Ом},$

$R_{l_3} = 31,4 \frac{0,002}{16} \times 1,18 = 0,0046 \text{ Ом}.$   
 Загальний активний та реактивний опори лінії матимуть значення:  
 $\sum R_n = 0,023 + 0,011 + 0,0046 + (3 \times 0,003 + 0,015 + 0,01) = 0,153 \text{ Ом}$

$\sum X_n = 0,3777 \times 0,01 \times 2 + 0,6 \times 3 \times 0,01 = 0,025 \text{ Ом}.$   
 $Z_n = \sqrt{0,153^2 + 0,025^2} = 0,1550 \Omega$   
 Визначаємо струм при однофазного короткого замикання:

**НУБІП України**

$$I_{\text{к.з.}} = \frac{U_n}{Z_n} = \frac{220}{0,162 + 0,155} = 694 \text{ А.}$$

$$\text{відс.} = 3 \times I_{\text{розг.}} = 3 \times 694 = 189 \text{ А.}$$

$$694 \text{ А} > 189 \text{ А}$$

Умова виконується, тобто автоматичний вимикач ВА51-25 обрано правильно.

Перевірямо обрані апарати захисту на спрацювання при трифазному короткому замиканні. Перевіряємо автоматичний вимикач QF2 типу ВА51-25

$$I_{\text{р.н.}} = 80 \text{ А}; I_{\text{гр.вим.}} = 3 \text{ кА} \text{ за умовою:}$$

**НУБІП України**

$$I_{\text{к.з.}} \leq I_{\text{гр.вим.}}$$

Розрахунок струму трьох фазного короткого замикання виконуємо згідно рівняння:

**НУБІП України**

$$I_{\text{к.з.}} = \frac{U_n}{\sqrt{3} Z_n} \quad (5.18)$$

де  $\sum R_n$  та  $\sum X_n$  – активний та реактивні опори трьохфазного замикання, Ом.

**НУБІП України**

$$\sum R_n = R_t + R_\phi, \text{ Ом,} \quad (5.20)$$

$$\sum X_n = X'_t + X'_\phi, \text{ Ом} \quad (5.21)$$

де  $R_t$  і  $X'_t$  – активні та реактивні опори трансформатора, Ом;

**НУБІП України**

$$R_\phi \text{ і } X'_\phi \text{ – активний та реактивний опори фазного проводу, Ом.}$$

$$X_t = \sqrt{Z^2 - R_t^2}, \text{ Ом} \quad (5.22)$$

$$Z_t = \frac{U_{\text{к.з.}} \cdot U_n^2}{100 \cdot S_n}; \text{ Ом} \quad (5.23)$$

**НУБІП України**

$$R_t = \frac{\Delta P_{\text{к.з.}} \cdot U_n^2}{S_n^2}, \text{ Ом} \quad (5.24)$$

**НУБІП** України

$$Z_t = \frac{4,5 \cdot 400^2}{100 \cdot 160 \cdot 10^3} = 0,045 \Omega_m$$

$$R_t = \frac{3700 \cdot 400^2}{160000^2} = 0,023 \Omega_m$$

Звідси розраховуємо:

**НУБІП** України

$$\sum R_n = 0,023 + 0,4x0,28 + (0,02 - 0,015) = 0,17 \text{ Ом}$$

$$\sum X_n = 0,023 + 0,068 = 0,091 \text{ Ом.}$$

**НУБІП** України

Визначаємо струм трифазного короткого замикання:

$$I_{k.z}^{(3)} = \frac{400}{\sqrt{3} \cdot \sqrt{0,17^2 + 0,091^2}} = 1212A$$

**НУБІП** України

Встановлений автоматичний вимикач ВА51-25 задовільняє умову:  
 $3000A > 1212A$

Вибір захисного обладнання виконано вірно.

**НУБІП** України

**НУБІП** України

**НУБІП** України

# НУБІП Україні

## РОЗДІЛ 6.

### ОБСЛУГОВУВАННЯ І РЕМОНТ ЕНЕРГЕТИЧНОГО ОБЛАДНАННЯ

#### 6.1. Розрахунок об'єму робіт з обслуговування енергетичного обладнання.

При розрахунках необхідно враховувати умови використання обладнання, сезонність експлуатації, кількість робочих змін. Результати розрахунків заносимо в таблицю (табл. 6. 1).

Визначаємо необхідну кількість електромонтерів для обслуговування обладнання пташника:

$$N = A / 100 = 26,27 / 100 = 0,26 \text{ одиниць.} \quad (5.1)$$

Передбачалося, те що електрообладнання всієї ферми обслуговує 2 електромонтери 3-го розряду.

Об'єму робіт по обслуговуванню електрообладнання (ум. О.)					Таблиця 6.1
	Найменування електрообладнання	Одиниця виміру	Кількість облад.	Кількість ум. одиниць на одиницю електрообладнання	Всього
	Електроприводи до 1 кВт	шт.	360	0,67	241,2
	1,1...11 кВт	шт.	120	0,92	110,4
	12...40 кВт	шт.	1	1,13	1,13
	0,38 кВ	км	0,04	3,93	1,18
	Світильники	на 10 шт.	400	0,91	364
	Всього				717,91

## 6.2. Розрахунок річних трудозатрат на проведення ТО і ПР електротехнічного обладнання.

Трудозатрати на ТО та ПР електрообладнання протягом року визначають на основі нормативних значень періодичності та трудомісткості технічного обслуговування та поточного ремонту по кожному виду електрообладнання.

Кількість запланованих на рік ТО та ПР визначаємо із урахуванням сезонності використання обладнання, а для електродвигунів – періодичності роботи.

Трудоемність технічних обслуговувань в піки сезонних робіт приймається на 15% вище звичайного. Річні затрати праці на ТО і ПР визначаємо:

$$Q_{\text{то}} = n_1 \times q_1 \times m_1 + n_2 \times q_2 \times m_2 + \dots n_n \times q_n \times m_n ; \quad (6.2)$$

$$Q_{\text{тр}} = n_1 \times q'_1 \times m'_1 + n_2 \times q'_2 \times m'_2 + \dots n_n \times q'_n \times m'_n ; \quad (6.3)$$

де  $q_1, q_n \text{ і } q'_1, q'_n$  – затверджені нормативні значення трудомісткості ТО і ПР для різних типів обладнання;

$n_1, n_n$  – кількість обладнання різних видів;

$m_1 \dots m_n \text{ і } m'_1 \dots m'_n$  – планова кількість ТО і ПР для кожного виду обладнання.

$$Q_{\text{загальне}} = Q_{\text{то}} + Q_{\text{тр}} \quad (6.4)$$

Результати розрахунків річних затрат праці представлено в таблиці 6.2

Таблиця 6.2

### Розрахунок трудозатрат на виконання ТО та ПР електротехнічного обладнання

Найменування електрообладнання	Технічна характеристика	Кількість для проводок, м.	Трудові затрати			
			ТО		ПР	
			На 1 од. Обладнання	Всього люд/год	На 1 од. обладнання	Всього люд/год
Двигуни до 1,1 кВт	0,37кВт	2	0,3	0,6	4,1	8,2
Двигуни	1,5кВт	5	0,4	2	4,0	20

	до 3 кВт	2,2кВт 3,0кВт	5 1	0,4 0,4	2 0,4	4,3 4,4	21,5 4,4
Двигуни до 5,5 кВт	4,0кВт	3	0,5	1,5	4,8	14,4	
	5,5кВт	3	0,5	1,5	4,8	14,4	
Двигуни до 11 кВт	11кВт		0,6	0,6	5,6	5,6	
Двигуни до 40 кВт	37кВт		0,7	0,7	7,4	7,4	
Автоматичні вимикачі різних типів	до50А	19	0,25	4,75	1,75	33,25	
	до100А		0,3	0,3	2,0	2,0	
	до260А		0,35	0,35	2,5	2,5	
Магнітні пускачі різних типів	До10А	19	0,26	4,94	1,50	28,5	
	До25А		0,28	0,28	1,58	1,58	
	До50А		0,3	0,3	1,81	1,81	
	До100А		0,3	0,3	2,1	2,1	
Ел. нагрівачі	53кВт	1	1,4	1,4	9,6	9,6	
Світильники	21шт	21	2,1	2,1	0,25	5,25	
Кнопки управління		30	0,02	0,6	-	-	
Силові щити	7гр	2	5,4	1,08	8,1	16,2	
Освітлювальni щити	6гр	1	0,36	0,36	5,4	5,4	
Силові електромережі	2,5 мм <sup>2</sup>	50	10	0,5	150	7,5	
	4 мм <sup>2</sup>	30	4,8	0,144	72	2,16	
Освітлювальнi електромережі	2,5ММ <sup>2</sup>	200	4,8	0,96	72	14,4	
Всього: Річні трудозатрати Qзаг				27,07	254,34	227,27	

6.3. Планування технічного обслуговування та ремонту  
**НУБІЙ України**  
 електрообладнання в пташнику.

**Надійна робота електрообладнання забезпечується вчасним та якісним проведенням технічного контролю та обслуговування.** Технічне обслуговування це система планово-попереджувального ремонту електроустановок, яка являє собою сукупність організаційних і технічних заходів.

**Для планування технічного обслуговування та ремонту електрообладнання складають річний та квартальний графіки проведення ПР та обслуговування.**

Для квартального графіку інтервал часу ТО приймають декаду, тобто 10 днів чи тиждень, для річного графіка проведення ПР приймають місяць.

**Виконання робіт, що входять в планові ТО та ПР, розраховують на ланку електромонтерів, до якої на птаховермі входить 2-3 чол.**

Таблиця 6.3

#### **Графік поточного ремонту електрообладнання пташника на 2021 рік.**

Найменування обладнання	Норм. кількість ПР врік	Трудомісткість прац. люд./год		Виконання ПР по місяцям											
		На одиницю	Всього	1	2	3	4	5	6	7	8	9	10	11	12
Електродвигуни:															
0,37 кВт	16	4,1	64,6									X			
1,5кВт	1	4,0	20									X			
2,5кВт	4	4,3	17,5									X			
3,3кВт	6	4,4	26,4									X			
6,6кВт	1	4,8	14,4									X			
Автоматичні вимикачі:															
до 50 А	1	1,75	33,25									X			
до 100А	1	2,0	2,0									X			
Магнітні пускачі:													X		
до10А		1,5	28,5									X			
до25А		1,58	1,58									X			
до50А		1,81	1,81									X			
до 100А		2,1	2,1									X			
Нагрівачі:	4	9,6	38,6									X			

	Кнопки управління							X		
	Освітлювачі		0,25	5,25				X		
	Силова збірка освітлювальна		7,2	7,2				X		
	Щитки		5,4	5,4				X		
	Силові електропроводи		150	7,5				X		
	Освітлювальні електропроводи	1	72	144				X		

Таблиця 6.4

**Графік технічного обслуговування електрообладнання пташника**

Найменування обладнання	К-сть ТО за рік	Трудомісткість ТО люд/год	Виконання ТО по місяцям і дням								
			На од. бло	Всю до	10.15	11.15	12.15	01.16	02.16	03.16	04.16
Двигуни											
-0,37кВт	5	0,3	1,5		5-20		-10	0-28		5-20	
-2,5кВт	5	0,4	2,0		5-20		-10	0-28		5-20	
3,3кВт	5	0,4	2,0		5-20		-10	0-28		5-20	
-4,0кВт	5	0,5	2,5		5-20		-10	0-28		5-20	
-6,6кВт	5	0,5	2,5		5-20		-10	0-28		5-20	
Автоматичні вимикачі											
-до50А	4	0,25	2,0		5-30		5-30		5-31		5-30
-до100А	4	0,3	1,2		5-30		5-30		5-31		5-30

	Магнітні пускачі										
-до10А	4	0,26	4,94	5-30	5-30	5-31	5-30				
-до25А	4	0,28	0,28	5-30	5-30	5-31	5-30				
-до50А	4	0,3	0,3	5-30	5-30	5-31	5-30				
-до100А	4	0,3	0,3	5-30	5-30	5-31	5-30				
Нагрівачі	4	1,4	1,4	5-30	-6	5-30	-6	5-31	-6	5-30	-6
Світильники	4	0,1	2,1	5-30	-6	5-30	-6	5-31	-6	5-30	-6
Кнопки управління	4	0,02	0,6	5-30	5-30	5-31	5-30				
Силовий щит	3	0,48	0,48		-6		4-28				-6
Освітлювальний щит	3	0,36	0,36		-6		4-28				-6
Силові мережі	2	10	0,5		-3				-2		
	2	4,8	0,14		-3				-2		
Освітлювальні мережі	2	4,8	0,96		-3				-2		
Всього:				1,1 2	,34	2,7	3,6	1,8	4,4	2,7	2,8
Всього за рік	113,14 люд-год										

# НУБІП України

7.1. Аналіз стану безпеки праці в господарстві.  
На птахофермі функціонує служба охорони праці очолювана інженером з охорони праці.

Періодично проводяться різні види інструктажу: ввідний, первинний, повторний, позаплановий та поточний. Ввідний інструктаж проводять фахівці підприємства по своєму галузям. На робочому ж місці інструктаж проводять безпосередні керівники конкретних цехів.

Заходи із підтримання безпеки праці на птахофермі проводяться на згідно річного плану затверджених заходів. Ведуться журнали санітарно - технічного стану, журнал інструктажу по техніці безпеки. На працюючих місцях знаходяться інструкції з техніки безпеки.

Таблиця 7.1

Показники виробничого травматизму		2017	2018
Кількість працюючих	С	221	207
Кількість отриманих травм	Т	3	2
Втрати працевлашності	Д	8	4
Частота травматизму	Кч=Т·1000/С	13,5	9,7
Тяжкість травм	Кт=Д/Т	2,6	2
Показники травматизму	Кп=Кч·Кт	35,1	19,4

Проектований об'єкт відноситься до будівель із підвищеною небезпекою. При проведенні монтажі електрообладнання на птахофермі необхідно:

- застосовувати герметичне пylonепроникне обладнання;
- все металеве обладнання та корпуси, в яких прокладена електропроводка

та водопровідні труби мають бути надійно заземлені;

-у всіх щитах передбачається загальний вимикач чи закритий рубильник.

## 7.2. Організаційні та технічні заходи щодо усунення небезпечних та виробничих факторів.

Для запобігання дії небезпечних та шкідливих факторів розроблено ряд технічних та організаційних заходів.

Обслуговуючий персонал має бути одягнений в спецодяг та забезпечений засобами індивідуального захисту.

Під час проведення ремонтних робіт на щитах управління вивішуються

плакати: „Не вмикати – працюють люди”

В разі немаєстичних випадків у диспетчерському приміщенні передбачено два комплекти медичних аптечок.

### 7.3. Вибір індивідуальних заходів захисту.

Для забезпечення гідних умов безпеки праці при обслуговуванні електроустановок передбачено забезпечення персоналу засобами захисту.

Необхідна кількість засобів індивідуального захисту у відповідності з вимогами ПТБ та ПТЕ. розрахована в таблиці 7.2.

Таблиця 7.2

#### Засоби захисту обслуговуючого персоналу

Найменування	Марка	Од.вим.	К-сть.	Примітка
1. Штанга оперативна		шт	2	
2. Кліщі вимірювальні	НІОУ10У1	шт	2	засоби
3. Індикатор напруги	К-1000	шт	1	захисту
4. Кліщі вимірювальні	УНН-Г	шт	2	зберігаються в
5. Монтажний інструмент	Ц-91	ком	2	шафі
6. Рукавиці діел.		пар	2	диспетчерської
7. Боти діелектричні	КСН4-2	пар	3	
8. Переносні заземлювачі 0,4 кВ		шт	4	
9. Килимок діелектр.		шт	3	
10. Плакати і знаки безпеки		шт	5	

### 7.4. Розрахунок заземлюючого пристрою.

Проектом передбачається розрахунок та монтаж заземлюючого приладу на ТП 10/0,4 кВ.

Вихідними даними для виконання розрахунків:

потужність підстанції 10/0,4 кВ, Stп = 630 кВа;

кількість ліній;

необхідна кількість повторних заземлювачів 12;

питомий опір верхнього шару землі,  $r_1 = 270 \text{ Ом} \cdot \text{м}$ ;

питомий опір нижнього шару землі,  $r_2 = 140 \text{ Ом} \cdot \text{м}$ ;

товщина верхнього шару землі,  $h_1 = 3,5 \text{ м}$ ;

довжина повітряної лінії високої напруги 10 кВ,  $L_p = 75 \text{ км}$ ;

довжина кабельної лінії 10 кВ,  $L_k = 11 \text{ км}$ ;

площа природного заземлювача – фундамент будівлі ( $50 \text{ м}^2$ ),

переріз горизонтальних електродів  $40 \times 4 \text{ мм}$ ;

переріз вертикальних електродів  $l = 5 \text{ м}$ ;  $d = 0,012 \text{ м}$ .

Креслимо схему заміщення мережі 0,38 кВ

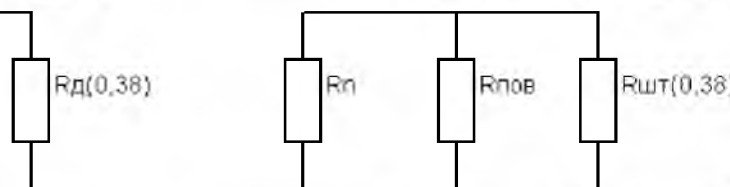


Рис. 7.1. Схема заміщення лінії 0,38 кВ.

Для розрахунків величини опору заземлюючого пристрою враховуємо

еквівалентний питомий опір двошарового ґрунту і відповідно:

$$p_{\text{екв}} = \frac{p_1 \cdot p_2 \cdot k}{p_1(t + k \cdot l - h_1) + p_2(h - t)} \quad (7.1)$$

де  $k$  – коефіцієнт, який рівний 1 при  $p_1 > p_2$ ;

$t$  – глибина розміщення електрода,  $t = 0,8 \text{ м}$ .

$$p_{\text{екв}} = \frac{270 \cdot 140 \cdot 1 \cdot 5}{270(0,8 + 1 \cdot 5 - 3) + 140(3,1 - 0,8)} = 219,5 \text{ Ом} \cdot \text{м}$$

# НУБІП України

Тоді величина опору заземлюючого пристроя складе:

$$R_d(0,38) = 0,04 \cdot r_{ekv} = 0,04 \cdot 249,51 = 8,7 \text{ Ом.}$$

Розраховуємо величину опору який забезпечує залізобетонний фундамент споруди:

$$R_n = 0,5 \cdot \frac{r_{ekv, \phi}}{\sqrt{S_c}}, \quad (7.2)$$

де  $r_{ekv, \phi}$  – еквівалентний питомий опір фундаменту, Ом·м.

Значення  $r_{ekv, \phi}$  визначаємо згідно рівняння:

$$r_{ekv, \phi} = p_1 \left( 1 - \frac{\alpha}{\ell \sqrt{S_c}} \right) + p_2 \left( 1 - \frac{\beta \sqrt{S_c}}{\ell} \right), \quad (7.3)$$

де  $\alpha = 3,6$ ,  $\beta = 0,1$ , якщо  $p_1 > p_2$ .

Ось результат розрахунку:

$$R_n = \frac{0,5 \cdot 284,2}{\sqrt{50}} = 21,68 \text{ Ом}$$

Тоді природний опір рівний,

Опір  $R_d(0,38) = 9,2 \text{ Ом}$  згідно схеми заміщення забезпечується природним заземлювачем,  $R_n$ , штучним заземлювачем  $R_{шт}$  та опором усіх повторних заземлювальів ЛЕП 0,38 кВ.

$$\frac{1}{R_d(0,38)} = \frac{1}{R_n} + \frac{1}{R_M} + \frac{1}{R_{шт}}. \quad (7.4)$$

Для розрахунку опору повторних заземлювачів складаємо схему ЛЕП 0,38 кВ.

Величина сумарного опору усіх заземлювачів повітряної лінії 0,38 кВ не має перевищувати 23 Ом.

Розраховуємо загальний опір заземлюючів пристрів на лінії 1:

**НУБІП**  $\frac{1}{R_{n1}} = \frac{1}{R_{11}} + \frac{1}{R_{12}} + \frac{1}{R_{13}} + \frac{1}{R_{14}}$ , **України**

Оскільки  $R_{11} = R_{12} = R_{13} = R_{14}$ , то

$$R_{n1} = \frac{R_{n3}}{n_{E1}} = \frac{30}{4} = 7.5 < 23 \text{ Ом},$$

**НУБІП** **України**  
де  $n_{E1}$  – число повторних заземлювачів.

Аналогічно:

**НУБІП**  $R_{n2} = \frac{R_{n3}}{n_{E2}} = \frac{30}{3} = 10 < 23 \text{ Ом};$  **України**

$R_{n3} = \frac{R_{n3}}{n_{E3}} = \frac{30}{5} = 6 < 23 \text{ Ом}.$

Тоді сумарний опір всіх заземлювачів на ЛЕП 0,38 кВ складе:

**НУБІП**  $R_{\text{пов}} = \frac{R_{n1} \cdot R_{n2} \cdot R_{n3}}{R_{n1} + R_{n2} + R_{n3}} = \frac{7.5 \cdot 10 \cdot 6}{7.5 + 10 + 6} = 2,50 \text{ Ом}$  (7.5) **України**

За відомими значеннями  $R_n$  та  $R_{\text{пов}}$ , визначаємо сумарне значення:

**НУБІП**  $R_{\text{екв}} = \frac{R_n \cdot R_{\text{нов}}}{R_n + R_{\text{нов}}} = \frac{20,09 \cdot 2,5}{20,09 + 2,5} = 2,22 \text{ Ом}$  (7.6) **України**

Оскільки згідно вимог  $R_{\text{екв}} < R_d$ , то  $R_{\text{шт}}(0,38)$  вибираємо максимальне

допустиме за ПУЕ: **НУБІП**  $R_{\text{шт}}(0,38) = 30 \text{ Ом} \cdot R_{\text{екв}} = 64 \text{ Ом}$  **України**

Величину опору заземлюючого приладу визначаємо за рівнянням:

**НУБІП** **України**

**НУБІП України**

$$R_{\partial 10} = \frac{12,5}{100 \Omega_m}, \quad (7.7)$$

$$I_3 = \frac{U(L_n + 35L_k)}{350}, \quad (7.8)$$

де  $I_3$  – струм замикання на землю, А;  
 $L_n, L_k$  – протяжність повітряної і кабельної лінії електропередач напругою  
 10 кВ, км.

$$I_3 = \frac{10(200 + 35 \cdot 12,5)}{350} = 20,71 \text{ kA},$$

Відповідно,

$$R_{\partial 10} = \frac{12,5}{20,71} = 0,604 \text{ } 10 \text{ } \Omega_m.$$

Оскільки  $R_n < R_{\partial 10}$ , то величина опору штучного контуру заземлення  $R_{\text{шт.}10}$

визначаємо за схемою заміщення (рис. 7.2.) за формулою:

$$R_{\text{шт.}10} = \frac{R_n \cdot R_{\partial 10}}{R_n - R_{\partial 10}} = \frac{21,68 \cdot 0,604}{21,68 - 0,604} = 8,68 \text{ } \Omega_m. \quad (7.9)$$

Після проведення розрахунків та порівнявши отримані значення  $R_{\text{шт.}10}(0,38)$   
 і  $R_{\text{шт.}10}$ , для подальших розрахунків приймаємо значення  $R_{\text{шт.}10} = 8,68 \text{ } \Omega_m$ .

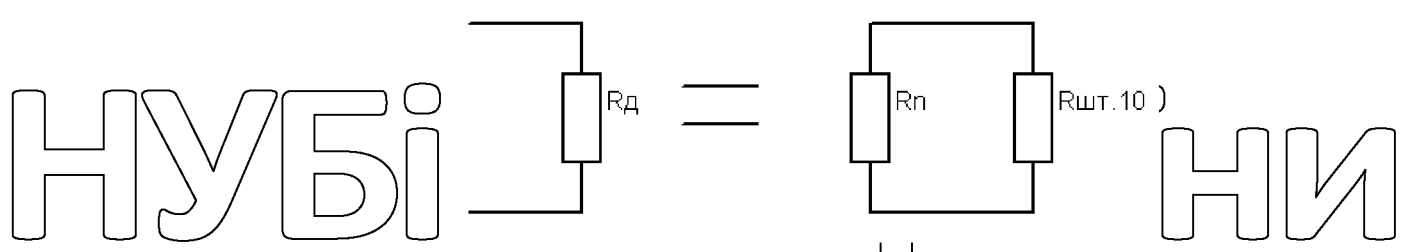


Рис. 7.2. Схема заміщення лінії 10 кВ.

Розраховуємо опори вертикальних та горизонтальних елементів контуру заземлення. Опір одного вертикального елементу визначаємо згідно рівняння:

$$R_e = \frac{K_c \cdot R_{екв}}{2\pi l} \left( \ln \frac{2l}{d} + \frac{1}{2} \ln \frac{4h + l}{2h - l} \right), \quad (7.10)$$

де  $d$  – діаметр стержня,  $d = 0,012 \text{ м}$ ;

$h$  – відстань від поверхні землі до середини стержня, м;

$$h = t + 0.5l = 0.8 + 0.5 \cdot 5 = 3.3 \text{ м}; \quad (7.11)$$

$K_c$  – коефіцієнт, що характеризує коливання опору в сезонності,  $K_c = 1,15$ .

$$R_e = \frac{1,5 \cdot 219,51}{0,2 \cdot 3,14 \cdot 5} \left( \ln \frac{25}{0,012} + \frac{1}{2} \ln \frac{4 \cdot 3,1 + 5}{4 \cdot 3,1 - 5} \right) = 78,498 \text{ Ом.}$$

Провідність розраховується згідно рівняння:

$$g = \frac{1}{R_e}, \quad (7.12)$$

$$g = \frac{1}{78,498} = 0,0127 \text{ Ом}.$$

Проводиться попередній розрахунок кількості вертикальних стержнів без

врахування екранивання між ними:

$$n = \frac{R_e}{R_{sum}} = \frac{78,498}{8,64} = 9,08. \quad (7.13)$$

Для рівномірності розміщення приймаємо 12 стержнів.

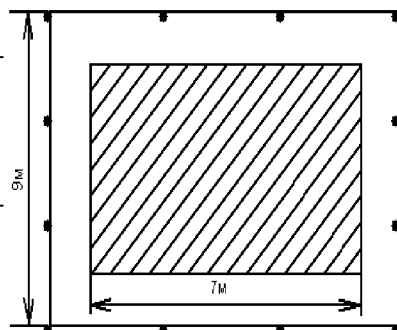


Рис. 7.3. Схема контуру заземлення

Довжина однієї сторони контуру заземлювача складає 9 м, тобто загальна довжина горизонтальних елементів складе  $l/2 = 36$  м.  
Для розрахунку опору горизонтальних елементів визначаємо еквівалентний опір поверхневого шару ґрунту  $r_a$ .

$\frac{p_1}{p_2} = \frac{1.88}{5}$ ;  $h = 3.4$  м;  $l_2 = 36$  м;  $l_2 = 30$  м;  $l_2 = 40$  м;

$$\frac{p_{e2}}{p_e} = 1.5 - \frac{1.5 - 1.48}{40} (36 - 30) = 1.488.$$

$\frac{p_1}{p_2} = 5$ ;  $h = 3$  м;  $l_2 = 36$  м; між  $l_2 = 30$  м і  $l_2 = 40$  м:

$$\frac{p_{e2}}{p_2} = 3.83 - \frac{3.83 - 3.74}{40 - 30} (36 - 30) = 3.776.$$

$3.776 = 3.776 - \frac{3.776 - 1.488}{5 - 1} (1.88 - 1) = 1.99$ .

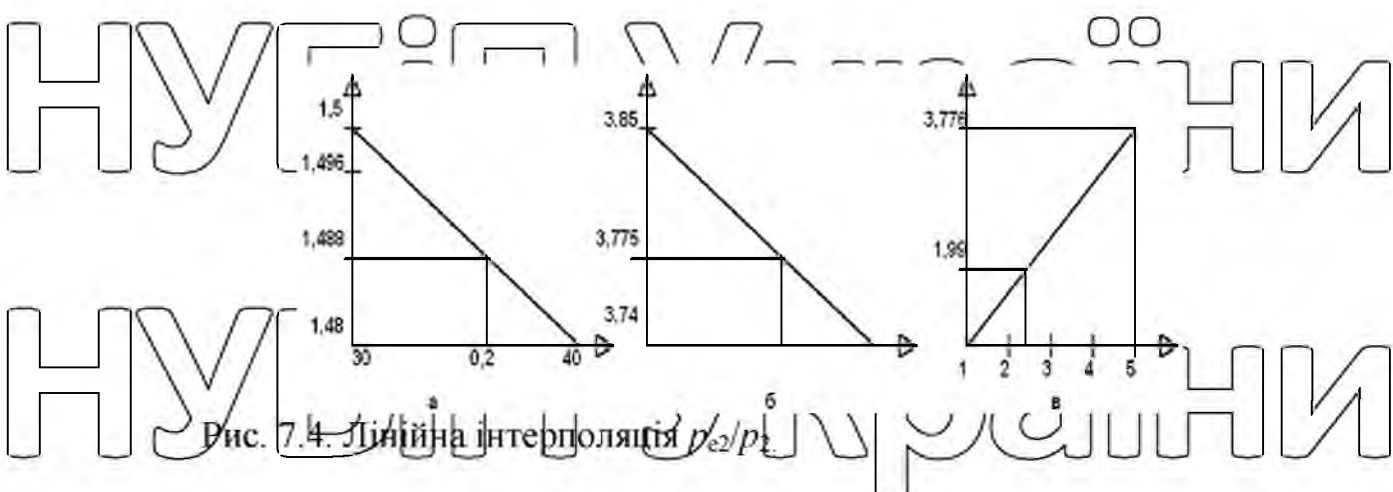


Рис. 7.4. Лінійна інтерполяція  $p_{e2}/p_e$

Опір горизонтального елементу заземлюючого контуру буде рівним:

$$R_1 = \frac{k_e \cdot p_m}{2\pi} \cdot \ln \frac{2\ell_1}{B \cdot t} = \frac{2.0 \cdot 257.1}{6.28 \cdot 3.6} \cdot \ln \frac{2 \cdot 36}{0.04 \cdot 0.8} = 25.70 \text{ м} \quad (7.14)$$

Провідність горизонтальних елементів складе:

**НУБІН України**

$$g_p = \frac{1}{R_r} = 0.0389 \text{ Ом}^{-1}$$

Значення коефіцієнта використання приймаємо з довідкових таблиць,

**НУБІН України**

$$a/1 = 1,8; p1/p2 = 7; n = 4;$$

$$1. \quad p1/p2 = 3; n = 4; h1/1 = 0,5; a/1 = 1 \text{ і } a/1 = 2;$$

$$n = 0.631 + \frac{0.670 - 0.631}{(1.8 - 1)} (1.8 - 1) = 0.662.$$

**НУБІН України**

$$2. \quad p1/p2 = 3; n = 4; h1/1 = 0,5; a/1 = 1,6 \text{ між } a/1 = 1 \text{ і } a/1 = 2;$$

$$n = 0.607 + \frac{0.655 - 0.607}{2.0 - 1} (1.8 - 1) = 0.645.$$

$$3. \quad p1/p2 = 3; n = 4; a/1 = 1,6; h1/1 = 0,6 \text{ між } h1/1 = 0,5 \text{ і } h1/1 = 1;$$

**НУБІН України**

$$4. \quad p1/p2 = 10; n = 4; h1/1 = 0,5; a/1 = 1,8 \text{ між } a/1 = 1 \text{ і } a/1 = 2;$$

$$n = 0.739 + \frac{0.79 - 0.739}{(1.8 - 1)} (1.8 - 1) = 0.78.$$

**НУБІН України**

$$5. \quad p1/p2 = 10; n = 4; h1/1 = 1,0; a/1 = 1,8 \text{ між } a/1 = 1 \text{ і } a/1 = 2;$$

$$n = 0.722 + \frac{0.761 - 0.722}{2 - 1} (1.8 - 1) = 0.753.$$

$$6. \quad p1/p2 = 10; n = 4; a/1 = 1,8; h1/1 = 0,6 \text{ між } h1/1 = 0,5 \text{ і } h1/1 = 1;$$

**НУБІН України**

$$7. \quad n = 4; h1/1 = 0,6; a/1 = 1,8; p1/p2 = 7 \text{ між } p1/p2 = 3 \text{ і } p1/p2 = 10;$$

$$n = 0.658 + \frac{0.775 - 0.658}{(7 - 3)} (7 - 3) = 0.725.$$

**НУБІН України**

Загальний опір штучного контуру заземлення трансформаторою

підстанції буде рівний:

$$R_{\text{зм}} = \frac{1}{n(p_3 \cdot p_n)} = \frac{1}{0.725} \cdot \left( \frac{12 \cdot 0.0366 \cdot 0.0389}{8,640 \Omega} \right) = 7.44 \Omega \quad (7.15)$$

Загальний опір заземлюючого контура із врахуванням природного заземлювача та повторних заземлювачів повітряної лінії складе:

$$\frac{1}{R_3} + \frac{1}{R_n} + \frac{1}{R_{шTn}} + \frac{1}{R_{шов}} = \frac{1}{21.68} + \frac{1}{7.44} + \frac{1}{2.5} = 0.5960 \Omega$$

Тоді  $R_3 = 1,71 < 4 \Omega$ , що відповідає вимогам ПУЕ.

**7.5. Пожежна безпека.**  
В приміщенні птахоферми передбачається установка протипожежного щита з комплектом необхідного інвентаря.

Найкращими заходами попередження пожежі є своєчасне виявлення пошкодженої ізоляції електрообладнання, будь-яких неполадок електрообладнання чи інших пошкоджень.  
Головне пам'ятати, що розпочинати гасіння електроустановок дозволяється лише після знецурмлення ліній та лише вуглекислотними чи порошковими вогнегасниками.

**НУБІП України**

**НУБІП України**

**НУБІП України**

# РОЗДІЛ 8.

## ТЕХНІКО-ЕКОНОМІЧНА ОЦІНКА ІНЖЕНЕРНИХ РІШЕНЬ.

У загальним показником ефективності капітальних вкладень в розвиток та оновлення електротехнічного обладнання є зведені розрахункові витрати,

які враховують додаткові річні експлуатаційні витрати та частку капітальних вкладень за один рік експлуатації:

Зведені витрати визначають за рівнянням:

$$Z_{\text{зв}} = e_n K + C, \quad (8.1)$$

де  $Z_{\text{зв}}$  - зведені витрати, грн./рік;

$e_n$  - нормативний коефіцієнт ефективності,  $\% = 0,15 \text{ рік}^{-1}$ ;

$K$  - капітальні витрати за розрахунковий період, грн.;

$C$  - витрати на експлуатацію протягом року, грн./рік.

Капітальні витрати на встановлення системи автоматичного

регулювання швидкості обертання вентиляторів:

$$K = K_3 + K_{TT} + K_M + K_I \quad (8.2)$$

де  $K_3$  - вартість технічних засобів системи, грн.;

$K_{TT}$  - торгівельні, транспортні та складські витрати, грн.;

$K_M$  - вартість монтажних робіт, грн.;

$K_I$  - інші непередбачені капітальні витрати, грн.

Вартість технічних засобів визначають за довідковою літературою при

цьому вони включають:

$$K_3 = K_{ДАТ} + K_P + K_{ДОЗ} + K_{ДВ}, \quad (8.3)$$

де  $K_{ДАТ}$  - вартість датчика,  $K_{ДАТ} = 400$  грн.;

$K_P$  - вартість частотного регулятора FR-S520S-0.75K,  $K_P = 4800$  грн.;

$K_{\text{доз}}$  - вартість вентилятора,  $K_{\text{доз}} = 2400$  грн.;  
 $K_{\text{дв}}$  - вартість двигуна,  $K_{\text{дв}} = 600$  грн.

# НУБІП України

Вартість технічних засобів складає:

$$K_3 = 400 + 4800 + 2400 + 600 = 8200 \text{ грн.}$$

# НУБІП України

Торгівельні та транспортні витрати приймають рівними 11% від вартості технічних засобів:

$$K_{TT} = 0,11 K_3 = 0,11 \cdot 8200 = 902 \text{ грн.}$$

# НУБІП України

(8.4) (7.4)

Витрати на монтажні роботи потрібно визначати за діючими кошторисами на монтажні роботи. Витрати на монтаж складають 15...20% від вартості технічних засобів, що потрібно встановити.

$$K_M = 0,17 K_3 = 0,17 \cdot 8200 = 1394 \text{ грн.}$$

# НУБІП України

(8.5)

(7.5)

Інші ненередбачені витрати приймають 2% від вартості технічних засобів:

$$K_I = 0,02 K_3 = 0,02 \cdot 8200 = 164 \text{ грн.}$$

# НУБІП України

(8.6)

# НУБІП України

(7.6)

Величина капітальних витрат складає:

$$K=8200+902+1396+64=10660 \text{ грн}$$

Річні витрати на експлуатацію складають:

НУБІП України

$$C = C_3 + C_4 + C_{\text{пр}} + C_E + C_I$$

(8.7)

# НУБІП України

(7.7)

НУБІП України

де:  $C_3$  - оплата праці обслуговуючого персоналу, грн./рік;

$C_A$  - відрахування на амортизацію (включаючи на капітальний ремонт),  
грн./рік;

НУБІП України

$C_{\text{пр}}$  - витрати на поточний ремонт, грн./рік;

$C_E$  - оплата електроенергії, грн./рік;

$C_I$  - інші непередбачені витрати, грн./рік.

Додаткова оплата роботи персоналу, яка пов'язана із експлуатацією  
системи автоматичного регулювання, не передбачається. Обслуговування

# НУБІП України

даного виду обладнання закріплено за існуючим штатом працівників.

Витрати на амортизацію визначають:

$$C_A = 0,142K = 0,142 \cdot 10660 = 1514 \text{ грн. / рік.}$$

(8.8)

НУБІП України

(7.8)

НУБІП України

Витрати на ремонт можуть скласти:

$$C_{TP} = 0,18K = 0,18 \cdot 10660 = 1918 \text{ грн. / рік.}$$

(8.9)

НУБІП України

(7.9)

НУБІП України

Витрати на енергоресурси:

$$C_B = P_{УСТ.Б} \cdot P_{ЦЕ}$$

(8.10)

НУБІП України

НУБІП України

(7.10)

де  $P_{УСТ.Б}$  - потужність привода вентилятора,  $P_{УСТ.Б} = 0,37 \text{ кВт}$ ;  
 $\Gamma$  - тривалість годин роботи,  $\Gamma = 300 \cdot 8 = 2400 \text{ год.}$ ,  
 $Ц_E$  - вартість електроенергії,  $Ц_E = 2,05 \text{ грн./кВт}\cdot\text{год.}$ .

Інші непередбачені витрати складають:

**НУБІП України**

$$C_I = 0,01(C_A + C_{ПР}) = 0,01(1514 + 1918) = 34 \text{ грн./рік.}$$
(8.11)

Таким чином річні експлуатаційні витрати становитимуть:

**НУБІП України**

$$C = 1514 + 1918 + 34 = 3466 \text{ грн./рік.}$$

Загальні зведені витрати складають:

(8.12)

$$Z_{3B} = 0,15 \cdot 10660 + 3466 = 5065 \text{ грн./рік.}$$

**НУБІП України**

Прибуток отримується за рахунок економії електричної енергії:

$$\Pi = P_{УСТ} Ц_E \Delta T = 15,5 \cdot 2400 \cdot 2,05 \cdot 0,2 = 15252 \text{ грн./рік.}$$
(8.12)

де:  $P_{УСТ}$  - установлена потужність вентиляційної установки, кВт;

$\Delta T$  - економія часу енергоспоживання при автоматизації,  $\Delta T = 20\%$ .

Термін окупності буде рівним:

$$T_{OK} = \frac{K}{\Pi} = \frac{10660}{15252} = 0,69 \text{ року.}$$
(8.13)

**НУБІП України**

Розраховуємо коефіцієнт ефективності капіталовкладень:

$$e_p = \frac{1}{T_{OK}} = \frac{1}{0,69} = 1,45.$$
(8.14)

**НУБІП України**

Виконуємо порівняння розрахункового коефіцієнта  $e_p$  з нормативним

 $e_n$

У випадку якщо розрахунковий коефіцієнт більший від нормативного, впровадження даних технічних засобів є ефективним:

**НУБІП України**

$$e_p = 1,45 > e_n = 1,15. \quad (8.15)$$

**НУБІП України**

Що й потрібно було визначити.

**НУБІП України**

**НУБІП України**

#### **Висновки.**

Під час виконання магістерської роботи розраховано та обрано сучасне електрообладнання, яке використовується для забезпечення виконання технологічних процесів на птахофермі, а саме видалення гною, годівля, вентиляція та опалення приміщення, водопостачання, освітлення.

Обладнання, яке забезпечують виконання перелічених технологічних процесів максимально автоматизовані та мінімізує втручання робочого персоналу в технологічний процес. Впровадження новітнього обладнання та технологій дозволяє заощадити значні кошти, знизити собівартість продукції та підвищити прибутки підприємства.

Під час виконання роботи було обрано електродвигуни для електроприводів, пуско-захисну апаратуру, проведено розрахунок освітлення і обрано необхідне освітлювальне обладнання, проведено розрахунок електропостачання будівлі. Розроблено автоматизована система керування освітленням із забезпечення сучасних вимог підтримання світлових режимів у пташинку. Для забезпечення ефективного управління системою освітлення використовується багатофункціонального реле РЕВ-302.01.

Передбачено заходи з технічного обслуговування та поточного ремонту електрообладнання. Розроблено заходи захисту персоналу та створення комфортних умов праці.

Техніко-економічними розрахунками підтверджено, що впровадження сучасних новітніх технологій у виробництво дозволяє значно інтенсифікувати процеси та підвищити економічну ефективність виробництва.

# НУБІП України

# НУБІП України

# НУБІП України

## Список використаної літератури.

1. Марченко О.С. „Механізація та автоматизація у тваринництві і птахівництві” О. С. Марченко. К.: Урожай, 1995.

2. Іноземцев Г.Б. „Дипломне проектування енергетичних та електротехнічних систем в агропромисловому комплексі”. Навчальний посібник / Г.Б. Іноземцев, В.В. Козирський, М.Т. Лут, І.П. Радько, О.Ю. Синявський -2-е вид., перероб. і доп. – К.: Аграр Медіа Груп, 2014. – 526 с..

3. Гевент І.О., Проектування механізованих технологічних процесів тваринницьких підприємств ”: Навчальний посібник для студентів вищих аграрних закладів освіти 3-4 рівнів акредитації. За редакцією І. І. Гевента. К.: Урожай, 1999.

4. Єрмолаєв С.О. „Експлуатація енергообладнання.” С. О. Єрмолаєв, В. О. Мунтян. К.: Мета, 2003.

5. Єрмолаєв С. О. Проектування систем електропостачання в АПК / С.О. Єрмолаєв, В.Ф. Яковлєв, В.О. Мунтян. – Мелітополь.: Люкс, 2009. – 568 с.

6. Притака І. П. „Електрообладнання сільського господарства”. Притака І. П.

7. Пістун І.Н. “Охорона праці в галузі сільського господарства” . Навчальний посібник І.П. Пістун А.П. Березовецький С.А. Березовецький / Вид-во: ВТД “Університетська книга” - 2009. – 368 с.
8. Ревенко І. І. Механізація і автоматизація тваринництва / І.І. Ревенко. – К.. Віща освіта, 2004. – 399 с.
9. Марченко, О.С. Довідник по монтажу і налагодженню електрообладнання в сільському господарстві [Текст] О.С. Марченко.-К.: Урожай, 1994. – 238 с.
10. Червінський Л.С., Електричне освітлення та спромінення Л.С. Червінський, Л.О. Сторожук. – К.: «Аграр Медіа Груп», 2014. – 214 с.
11. Правила технічної експлуатації електроустановок споживачів – Вид. офіц. – К., 2013.
12. Козловская В.Б. Электрическое освещение: Справочник / В.Б. Козловская, В.Н. Радкевич, В.И. Сапукеевич. – Минск: Технопресстика, 2007. – 255с.
13. Трисвятский Л. А. Хранение зерна. – М.: Колос, 1966. – 408 с.
14. Іноземцев Г. Б. Дипломне проектування енергетичних та електротехнічних систем в АПК / Г.Б. Іноземцев, В.В. Козирський, М.Т. Лут. – К.: «Аграр Медіа Груп», 2014. – 526 с.
15. Г.Б. Іноземцев Фізико-технологічні та електрофізичні властивості сільськогосподарських продуктів і матеріалів: Навч. Посібник / Г.Б. Іноземцев, Л.С. Червінський, О.М. Берека, О.В. Окушко; За ред.. Г.Б. Іноземцева. 2-е вид., доп. I перероб. – К: Аграр Медіа Груп, – 2012 – 190 с.
16. О.М Берека, “Знезаражуюча обробка води в електричному полі високої напруженості”. О.М. Берека, С.М. Усенко. – К.: ЦНКОМПРИНТ, 2014 – 190с.
17. Alporov R. S. The linear oscillating elektrodrive with improved technology – ecological indicitz R. S. Alporov, N. A. Belova, A. M. Pugin // Proceedingz of international scientific-technical conference on Unconventional Electromechanical and Electrotechnical Systems. – Szczecin, 1995. – Р. 35 – 40.
18. Pugin A. M. Elaboration of ozonation systems for rendering harmless multiparametrik technological processes with regard for disturbing effects (on the example of poultry breeding technological processes) / A. M. Pugin, V.N. Golovanov // International conference of the european-african-australasian group in conjunction with ecwatech. – M. : Russia, 1998. – Р. 467 – 483.